

Probleme actuale în studiul funcției zeta Igusa

Denis Ibadula¹

¹This paper is supported by the Sectorial Operational Programme Human Resources Development (SOP HRD), financed from the European Social Fund and by the Romanian Government under the contract number SOP HRD/89/1.5/S/62988. 2010 *Mathematics Subject Classification.* 11D79 11S80 14B05 14E15

Key words. Funcția zeta Igusa p -adică; designuri eşalon

Cuprins

1	Rezumatul lucrării	7
1.1	Prezentare generală a rezultatelor obținute în cadrul proiectului	7
1.2	Prima direcție de cercetare: Studiul funcției zeta Igusa locale și aplicații	11
1.3	A doua direcție de cercetare: Studiul designurilor eşalon . . .	22
2	Rezumatul lucrării	33
3	Stadiul actual	41
3.1	Introducere	41
3.2	Inelul \mathbb{Z}_p și corpul \mathbb{Q}_p	50
3.2.1	Definiții generale	50
3.2.2	Proprietățile inelului \mathbb{Z}_p	51
3.2.3	Corpul \mathbb{Q}_p	54
3.3	Grupul multiplicativ al corpului \mathbb{Q}_p	54
3.3.1	Filtrarea grupului unităților	55
3.3.2	Structura grupului $U_1 := 1 + p\mathbb{Z}_p$	58
3.3.3	Structura grupului multiplicativ \mathbb{Q}_p^*	60
3.3.4	Patrate în \mathbb{Q}_p^*	61
3.4	Lema lui Hensel și aplicații	63

3.5	Măsura Haar pe \mathbb{Q}_p	66
4	Funcția zeta Igusa	69
4.1	Funcția zeta a lui Igusa și seria Poincaré - definiții generale . .	69
4.2	Formula fazei staționare	72
4.2.1	Calculul unei integrale bine-cunoscute folosind Lema lui Hensel	72
4.2.2	Formula Fazei staționare	77
4.2.3	Exemple	79
4.3	Corpuri locale. Structura grupului multiplicativ al unui corp local.	82
5	Rezultate fundamentale	85
5.1	Prezentarea rezultatelor fundamentale urmărite	85
5.2	Rezultate cheie obținute și contribuții personale	87
5.2.1	Evidențierea contribuțiilor proprii la determinarea po- lilor funcției zeta Igusa pentru curbe	87
5.2.2	Contribuția unei curbe excepționale	92
5.2.3	Concluzii finale: Polii funcției zeta Igusa p -adice	105
6	Rezultate fundamentale	111
6.1	Designuri eșalon: definiții, exemple	117
6.1.1	Definiții echivalente pentru designurile eșalon în di- mensiune m	117
6.1.2	Designurile eșalon în dimensiune 2	117
6.1.3	Baze Gröbner pentru designurile eșalon	120
6.2	Cocluzii finale	122
6.2.1	Polinomul Hilbert asociat unui design eșalon în dimen- siune doi	122

6.2.2	Fracții ale unui design eşalon	125
-------	------------------------------------------	-----

Bibliografie		130
---------------------	--	------------

Capitolul 1

Rezumatul lucrării în limba română

1.1 Prezentare generală a rezultatelor obținute în cadrul proiectului

Funcțiile zeta locale sunt obiecte matematice relativ noi. Primele teoreme cu caracter general au fost demonstrate între anii 1968-1973. De atunci, și în special în ultimii 20 ani, au fost obținute rezultate remarcabile pe această temă.

Pentru un număr prim p , notăm cu \mathbb{Q}_p corpul numerelor p -adice și cu \mathbb{Z}_p inelul întregilor p -adici.

Funcția zeta Igusa locală asociată unui polinom $F(x) = F(x_1, \dots, x_n) \in \mathbb{Z}_p[x_1, \dots, x_n]$ se definește ca fiind $Z_F(s) = \int |F(x)|^s |dx|$, integrala după x în $(\mathbb{Z}_p)^n$, pentru s număr complex, cu $\Re(s) > 0$, unde cu $|dx|$ am notat măsura Haar pe $(\mathbb{Q}_p)^n$ normalizată astfel încât $(\mathbb{Z}_p)^n$ are măsura 1, iar $|x| = p^{-v(x)}$, unde $v(x)$ a p -adică a lui x .

Proprietăți profunde ale unor obiecte matematice (corpuri de numere algebrice, varietăți algebrice, algebre, grupuri, etc) sunt codificate de anumite funcții analitice și serii formale specifice (funcții zeta, serii Hilbert, serii Poincaré). Studiul unor astfel de funcții constituie o temă de mare actualitate a Matematicii contemporane și datorită aplicațiilor acestora în studiul diverselor modele din economie. Menționăm că în ultimii ani problematica legată de funcția zeta Igusa și seriile Poincaré asociate unei varietăți algebrice (analitice) definite peste un corp de numere p -adice a cunoscut o puternică dezvoltare (Igusa, Denef, Veys, Zuniga-Galindo, Segers). Aflat la granița dintre teoria numerelor și geometria algebrică, cu aplicații în studiul diverselor probleme din economie, studiul funcției zeta Igusa are un caracter interdisciplinar.

În anii '80 fizicienii au propus folosirea numerelor p -adice în anumite modelări ale unor fenomene fizice, iar recent la acestea s-au adăugat modele economice, financiare și cele din data-mining care utilizează intens numerele p -adice. Mai mult, funcțiile zeta locale sunt folosite în studiul ecuațiilor pseudo-diferențiale de tip parabolic care au aplicații în economie și finanțe. Wilson Zuniga-Galindo ([Zuniga-Galindo W.A., "Parabolic Equations and Markov Processes over p -adic Fields", *Potential Anal.*28, (2008), p.185-200]) a demonstrat că soluția fundamentală (the heat kernel) a unei anumite probleme Cauchy este o densitate de tranziție a unui proces Markov având spațiul stărilor \mathbb{Q}_p^n (Teorema 4 din articolul menționat).

Obiectivul general al prezentului proiect de cercetare îl constituie studiul funcției zeta Igusa. Având în vedere importanța funcției zeta Igusa în teoria numerelor, aritmetică, geometria algebrică, algebra combinatorială, teoria aranjamentelor de hiperplane, aplicațiile acesteia în studiul diverselor probleme din aceste domenii, strânsa legătură dintre calculul funcției zeta Igusa și

criptografie la care se adaugă conexiunea între seria Poincaré (și deci implicit funcția zeta Igusa) și cifrurile pe flux, ne-am propus și am reușit să extindem rezultatele cunoscute pentru funcția zeta Igusa locala asociată unei curbe și să determinăm polii funcției zeta Igusa pentru curbe. Rezultatele obținute **au fost publicate în două lucrări la reviste din străinătate, dintre care una ISI, cu factor de impact mare:**

- Denis Ibadula, Dirk Segers, "*Determination of the real poles of the Igusa zeta functions for curves*", Revista Matematica Complutense, vol. 25, no. 2, July 2012, pages 581-597; Impact factor - 0.739;

precum și în lucrarea

- Denis Ibadula, Dirk Segers, *Convex proofs of some inequalities*, The Mathematical Gazette, November 2012, pages 15-17;

O altă parte importantă a rezultatelor obținute în această direcție de cercetare fac parte din lucrarea următoare, **trimisă spre publicare în noiembrie 2011 la o revista ISI foarte bună, în proces de recenzie în momentul actual:**

- Denis Ibadula, Dirk Segers, Edwin Leon Cardenal, *Poles of the Igusa local zeta function of some hybrid polynomials*, Finite Fields and Applications, submitted; Impact factor - 0.674; Scor relativ de influență - 1,16634

Mai mult, în cadrul acestui proiect am abordat și o altă direcție de cercetare în care am studiat designurile eșalon, subiect care aparține Statisticii matematice. Designul experimentelor este o ramură importantă a Statisticii care are ca subiect important de studiu designurile full-factorial. În cadrul

acestui proiect ne-am propus și am reușit să folosim metode ale Algebrei Comutative pentru a explora probleme relevante (cum ar fi bazele Gröbner, fracțiile, polinomul Hilbert) ale designurilor eșalon, o mulțime \mathcal{E} de puncte experimentale având anumite proprietăți speciale.

Designurile eșalon generalizează designurile full factorial investigate în [CPRW], [CR], [R], [RR]. Pe scurt, contribuția noastră în acest domeniu constă într-o demonstrație originală a existenței unei baze Gröbner pentru un ideal design $\mathcal{I}(\mathcal{E})$. Mai mult, rezultatul nostru generalizează Teorema 2.18 a lui Robbiano [L.Robbiano, *Gröbner Bases and Statistics*, Gröbner Bases and Applications, London Mathematical Society Lecture Note Series 251, Edited by Bruno Buchberger & Franz Winkler, Cambridge University Press, 2001, pp.179-204]. În plus, am obținut caracterizarea polinomului Hilbert polynomial asociat unui design eșalon și am introdus și studiat fracții ale designurilor eșalon. Rezultatele din teoremele pe care le-am obținut extind Teoremele 4.5 și 5.6 din [L.Robbiano, *Gröbner Bases and Statistics*, Gröbner Bases and Applications, London Mathematical Society Lecture Note Series 251, Edited by Bruno Buchberger & Franz Winkler, Cambridge University Press, 2001, pp.179-204] de la cazul designurilor full factorial la cazul designurilor eșalon. Rezultatele obținute au fost **trimise spre publicare la o revistă din străinătate cotate ISI:**

- Denis Ibadula, Corina Birghila, *Echelon Designs and Groebner Bases*, Acta Mathematicae Applicatae Sinica, English Series; Impact factor -0.289 ; Scor relativ de influență - 0.21795

Vom prezenta în continuare pe scurt **rezumatul rezultatelor obținute în cele două mari direcții de cercetare abordate.**

1.2 Prima direcție de cercetare: Studiul funcției zeta Igusa locale și aplicații

Funcțiile zeta locale au apărut în matematica ca un instrument de a calcula soluțiile fundamentale ale unor ecuații cu derivate parțiale cu coeficienți reali sau complecși. Mai mult, în studiul acestui tip de ecuații anumite integrale oscilatorii joacă un rol central (Teorema 1, [Zuniga-Galindo W.A., "Parabolic Equations and Markov Processes over p -adic Fields", *Potential Anal.* 28, (2008), p.185-200]). Igusa fost cel care a dezvoltat o metoda de estimare a unei largi clase de integrale oscilatorii ([J.-I. Igusa, "Lectures on forms of higher degree", *Lectures on mathematics and physics*, Tata Institute of Fundamental Research, vol.59, Springer-Verlag, 1978], [J. Igusa, *An introduction to the Theory of Local Zeta Functions*, AMS, 2002]), iar metodele de lucru recente în domeniu sunt cele folosite de Zuniga-Galindo în lucrarea mai sus menționată și au la bază studiul funcțiilor zeta locale pentru polinoame semi-cvasiisomogene ([Zuniga-Galindo W.A., "Igusa's Local Zeta Function of semiquasihomogeneous polynomials", *Trans.Amer.Math.Soc.* 353 (2001), p.3193-3207]).

Faptul remarcabil este ca ecuațiile pseudo-diferențiale p -adice de tip parabolic descriu drumuri aleatoare (random walks) în fractali (\mathbb{Q}_p este un fractal) și acest tip de ecuații stau la baza unor modele matematice noi din finanțe. Studiul acestui tip de ecuații folosește intens idei și metode din teoria funcțiilor zeta locale.

Așa cum am menționat, există modele în economie, finanțe și în data mining care folosesc numerele p -adice. De asemenea, pentru a răspunde la diverse întrebări legate de starea și dinamica unui ecosistem de afaceri, este important de analizat care este cantitatea de bani pe care o anumită societate

economică o va avea la un moment de timp dat. Dependența de momentul de timp ales (sau în general dependența de viitor) pune în evidență faptul că este necesară utilizarea unei parametrizări p -adice a timpului. Această abordare este propusă prima dată în lucrarea [V.S.Vladimirov, I.V.Volovich, E.I.Zelenov, *p-Adic Analysis and Mathematical Physics*, World Scientific, 2002], unde autorii definesc noțiunea de stare a societății economice într-un moment de timp dat și propun folosirea corpurilor de numere p -adice într-o astfel de abordare.

Pentru a modela dinamica ecosistemului de afaceri, este studiată starea unei organizații într-un moment dat. Pentru a descrie acesteia, este necesar să fie cunoscută probabilitatea plăților care se fac în cadrul diverselor contracte, lucru care de fapt depinde de comportamentul viitor al agenților economici parteneri în aceste contracte pe piața. Intervin în acest context metodele de analiză p -adică care se folosesc pentru a studia aceste fenomene.

Pe de altă parte, se asociază ecuații diferențiale p -adice pentru a descrie evoluția unei societăți economice. Există o teorie a proceselor stochastice în timp p -adic ([V.S.Vladimirov, I.V.Volovich, E.I.Zelenov, *p-Adic Analysis and Mathematical Physics*, World Scientific, 2002]) care se folosesc pentru a dezvolta modele Black-Scholes p -adice ([F.Black, M.Scholes, *the Pricing of Options and Corporate Liabilities*, *Journal of Political Economy*, 81, 1973, p. 637-654] și [Jennifer Trelewicz, Igor Volovich, *Analysis of Business Connections Utilizing Theory of Topology of Random Graphs*, *p-adic Mathematical Physics*, Eds. A.Yu. Khrennikov, Z.Rakic and I.V. Volovich, *AIP Conf.Proc.826*, pp.330-344, (Melville, New York, 2006)]) care se folosesc pentru a formula din punct de vedere matematic ideea dependenței de timp a evoluției unei societăți economice folosind corpuri de numere p -adice.

Așadar, funcțiile zeta locale, în particular funcția zeta Igusa locală, au

aplicații în studiul ecuațiilor pseudo-diferențiale p -adice, iar astfel de ecuații apar în modele fizice, economice și financiare noi.

Un alt domeniu în care funcția zeta Igusa are aplicații este criptografia, unde una dintre problemele fundamentale este stabilirea existenței funcțiilor one-way. O funcție one-way este o funcție F pentru care pentru fiecare x din domeniul de definiție al lui F , calculul lui $F(x)$ se face în timp polinomial, dar pentru un y dat din codomeniul lui F găsirea unui x astfel încât $y = F(x)$ este, în general, o problemă intractabilă. La sfârșitul anilor 90, Anshel și Goldfeld au propus o nouă clasă de candidați pentru funcții one-way având la bază funcții zeta ([Anshel, M., and Goldfeld, D., Zeta functions, one-way functions and pseudorandom number generators, Duke Math. J., 88, 2 (1997), 371-390]). De asemenea, seria Poincaré (și deci implicit funcția zeta Igusa) are aplicații în studiul cifrurilor pe flux bazate pe LFSR-uri, care stau la baza criptografiei cu chei simetrice.

O problemă extrem de actuală de studiu unde am obținut rezultate în cadrul acestui proiect publicate într-o revista ISI o reprezintă polii funcției zeta Igusa. Studiul acestora prezintă un interes special atât pentru faptul că influențează în mod direct numărul de soluții al congruențelor polinomiale modulo o putere a unui număr prim p (polii cu partea reală cea mai mare au contribuția cea mai mare la coeficienții N_i ai seriei Poincaré) cât și pentru că sunt subiectul unei importante conjecturi din matematică cunoscută sub numele de Conjectura Monodromiei.

O serie de matematicieni au obținut rezultate parțiale legate de determinarea polilor reali ai funcției zeta Igusa pentru curbe. În această cercetare am determinat polii reali pentru un polinom arbitrar f în două variabile care este definit peste un corp p -adic. Interesul pentru polii funcției zeta Igusa $Z_f(s)$ este justificat pe de o parte de faptul că aceștia determină compor-

tamentul asimptotic al numărului de soluții al congruențelor polinomiale, iar pe de alta parte deoarece aceștia sunt subiectul unei renumite conjeturi matematice: conjetura momodromiei (vezi de exemplu [Den91]).

Cronologic, au fost considerate la început curbe absolut analitic ireductibile. Rezultate parțiale au fost obținute de Igusa [Ig1] și Strauss [St]. Meuser [Me] a determinat polii reali, dar nu a considerat polul candidat -1 . În 1985 Igusa [Ig2] a rezolvat problema complet. El a demonstrat polii candidați asociați unei transformări stricte ale lui f sunt poli cand domeniul de integrare este suficient de mic. Mai mult, un alt pol candidat al unei rezoluții minimale scufundate ale lui f este pol dacă și numai dacă este asociat unei curbe excepționale care este intersectată de alte trei componente ireductibile ale pull back-ului lui f . Am incorporat o generalizare a acestui rezultat în Propoziția 5.7.

În cazul general, Loeser [Lo] a demonstrat că o curbă excepțională E_i nu contribuie la polii lui $Z_f(s)$ dacă E_i este intersectat o dată sau de două ori de alte componente ale pull back-ului lui f și dacă nu sunt alte puncte de intersecție peste o închidere algebrică. Acest lucru a fost demonstrat pentru prima dată de Strauss în cazul absolut analitic ireductibil, caz în care ultima condiție este automat satisfăcută.

Următoarea lucrare pe care vrem să o menționăm este [Ve1] a lui Veys. El a considerat polinoame f în două variabile peste un corp de numere F și a luat o rezoluție minimală scufundată a lui f peste o închidere algebrică a lui F . Acest context i-a permis să folosească formula [De1] lui Denef pentru $Z_f(s)$, valabilă pentru aproape toți completații p -adici ai lui F . Veys a presupus de asemenea ca toate punctele de intersecție ale componentelor ireductibile ale pull-back-ului lui f sunt definite peste F . În aceste condiții, el a demonstrat reciproca rezultatului lui Loeser pentru poli candidați reali

și pentru aproape toți complețaii p -adici ai lui F . Mai mult, el a considerat și problema unei posibile simplificări ale mai multor contribuții la același pol candidat real.

În demonstrațiile rezultatelor menționate mai sus este nevoie de anumite relații dintre invarianții numerici asociați unei rezoluții scufundate. Aceste relații au fost obținute în [St], [Me] și [Ig2] pentru curbe absolut analitic ireductibile. De asemenea, Loeser [Lo] a demonstrat relația necesară în cazul general. Igusa [Ig2] și Loeser [Lo] au folosit formula lui Langlands [La] pentru a calcula contribuția unei curbe excepționale la reziduul lui $Z_f(s)$ în cazul unui pol candidat de ordin unu.

Pe scurt, **ideea noastră de lucru** este următoarea. Fie K un corp p -adic, adică o extindere finită a lui \mathbb{Q}_p . Fie R inelul de valuare al lui K , P idealul maximal al lui R și q cardinalul corpului rezidual R/P . Pentru $z \in K$, notăm cu $\text{ord } z \in \mathbb{Z} \cup \{+\infty\}$ valuarea lui z și cu $|z| = q^{-\text{ord } z}$ valoarea absolută (p -adică) a lui z .

Fie $f(x_1, x_2) \in K[x_1, x_2]$ un polinom în două variabile peste K . Fie $x = (x_1, x_2)$. Fie X o submulțime deschisă și compactă a lui K^2 . În acest context, **funcția zeta Igusa p -adică a lui f** este definită de

$$Z_f(s) = \int_X |f(x)|^s |dx|$$

pentru $s \in \mathbb{C}$, $\text{Re}(s) > 0$, unde $|dx|$ este măsura Haar K^2 , normalizată astfel încât R^2 are măsura 1. Igusa a demonstrat că $Z_f(s)$ este o funcție rațională în q^{-s} folosind o rezoluție scufundată a lui f . Aceasta se extinde prin urmare la o funcție meromorfică $Z_f(s)$ pe \mathbb{C} care se numește tot funcția zeta Igusa p -adică asociată lui f .

Fie $g : Y \rightarrow X$ o rezoluție scufundată a lui f . Aici, Y este o K -varietate analitică. Despre rezoluția scufundată a lui f mai multe detalii sunt prezentate în [Ig3, Section 3.2]. Fie $g = g_1 \circ \dots \circ g_t : Y = Y_t \rightarrow X = Y_0$ o compunere

de blowing-up-uri $g_i : Y_i \rightarrow Y_{i-1}$, $i \in T_e := \{1, \dots, t\}$. Curba excepțională lui g_i și transformarea strictă a acestei curbe sunt notate cu E_i . Subvarietățile lui Y de codimensiune unu reprezentate de zerourile transformării stricte ale unui factor ireductibil f din $K[x, y]$ sunt notate cu E_j , $j \in T_s$. Transformările corespunzătoare în Y_i , $i \in \{0, \dots, t-1\}$ sunt notate analog. Atenție aici și la noțiunea de ireductibil, deoarece X este total disconex ca spațiu topologic. Fie $T = T_e \cup T_s$. Pentru $i \in T$, fie N_i și respectiv $\nu_i - 1$ multiplicitățile lui $f \circ g$ și respectiv g^*dx în E_i . Perechea (N_i, ν_i) reprezintă **invarianții numerici** ai lui E_i .

Dacă calculăm integrala de definiție a lui $Z_f(s)$ pe Y cu formula de definiție

$$Z_f(s) = \int_X |f(x)|^s |dx| = \int_Y |f \circ g|^s |g^*dx|,$$

și considerăm b un punct arbitrar al lui Y , sunt posibile următoarele **trei situații**.

Primul caz este cel în care sunt două varietăți E_i și E_j , cu $i, j \in T$, care trec prin b . Considerăm o vecinătate V a lui b și coordonatele analitice (y_1, y_2) în V astfel încât y_1 reprezintă ecuația lui E_i , y_2 este ecuația lui E_j ,

$$f \circ g = \varepsilon y_1^{N_i} y_2^{N_j} \quad \text{și} \quad g^*dx = \eta y_1^{\nu_i-1} y_2^{\nu_j-1} dy$$

pe V , unde ε și η sunt funcții K -analitice pe V . Putem presupune că $y(V) = P^{k_1} \times P^{k_2}$, cu $k_1, k_2 \in \mathbb{Z}_{\geq 0}$, și că $|\varepsilon|$ și $|\eta|$ sunt constante pe V . Obținem

$$\begin{aligned} \int_V |f \circ g|^s |g^*dx| &= \int_{P^{k_1} \times P^{k_2}} |\varepsilon|^s |\eta| |y_1|^{N_i s + \nu_i - 1} |y_2|^{N_j s + \nu_j - 1} |dy| \\ &= |\varepsilon|^s |\eta| \left(\frac{q-1}{q} \right)^2 \frac{q^{-k_1(N_i s + \nu_i)}}{1 - q^{-(N_i s + \nu_i)}} \frac{q^{-k_2(N_j s + \nu_j)}}{1 - q^{-(N_j s + \nu_j)}}. \end{aligned}$$

Să observăm că am obținut o funcție rațională în q^{-s} .

În cel de-al doilea caz, să considerăm situația în care există o varietate E_i , $i \in T$, care trece prin b . Considerăm o varietate V a lui b și coordonatele

analitice (y_1, y_2) pe V astfel încât y_1 este ecuația lui E_i ,

$$f \circ g = \varepsilon y_1^{N_i} \quad \text{și} \quad g^* dx = \eta y_1^{\nu_i-1} dy$$

pe V , unde ε și η sunt funcții K -analitice pe V . Putem presupune că $y(V) = P^{k_1} \times P^{k_2}$, cu $k_1, k_2 \in \mathbb{Z}_{\geq 0}$, și că $|\varepsilon|$ și $|\eta|$ sunt constante pe V . Obținem

$$\begin{aligned} \int_V |f \circ g|^s |g^* dx| &= \int_{P^{k_1} \times P^{k_2}} |\varepsilon|^s |\eta| |y_1|^{N_i s + \nu_i - 1} |dy| \\ &= |\varepsilon|^s |\eta| q^{-k_2} \frac{q-1}{q} \frac{q^{-k_1(N_i s + \nu_i)}}{1 - q^{-(N_i s + \nu_i)}}. \end{aligned}$$

În cea de-a treia situație, nu există nici o varietate E_i , $i \in T$, care tece prin b . Fie V o vecinătate a lui b și fie (y_1, y_2) coordonate analitice pe V astfel încât $f \circ g = \varepsilon$ și $g^* dx = \eta dy$ pe V , unde ε și η sunt funcții K -analitice pe V . Putem presupune că $y(V) = P^{k_1} \times P^{k_2}$, cu $k_1, k_2 \in \mathbb{Z}_{\geq 0}$, și că $|\varepsilon|$ și $|\eta|$ sunt constante pe V . Obținem

$$\int_V |f \circ g|^s |g^* dx| = |\varepsilon|^s |\eta| q^{-k_1 - k_2}.$$

Rezultă atunci că $Z_f(s)$ este o funcție rațională în q^{-s} deoarece putem partiționa mulțimea Y în submulțimi V de forma de mai sus.

Din cele de mai sus rezultă și că orice pol al lui $Z_f(s)$ este de forma

$$-\frac{\nu_i}{N_i} + \frac{2k\pi\sqrt{-1}}{N_i \log q},$$

cu $k \in \mathbb{Z}$ și $i \in T$. Aceste valori se numesc poli candidați ai lui $Z_f(s)$. Pentru un $i \in T$ fixat, valorile $-\nu_i/N_i + (2k\pi\sqrt{-1})/(N_i \log q)$, $k \in \mathbb{Z}$, se numesc **polii candidați** ai lui $Z_f(s)$ asociați lui E_i . Deoarece polii proveniți din $1/(1 - q^{-N_i s - \nu_i})$ au ordinul unu, definim **ordinul posibil** (ordinul candidat) al unui pol candidat s_0 ca fiind cel mai mare număr de curbe excepționale E_i care au drept pol candidat pe s_0 . Evident, **ordinul (efectiv)** lui s_0 este întotdeauna mai mic sau cel mult egal cu ordinul candidat al lui s_0 . De

asemenea, este clar și faptul că un pol candidat de ordin n este pol dacă și numai dacă reziduul lui $Z_f(s)$ calculat în s_0 este diferit de 0.

Obiectivul fundamental al cercetării a fost să determinăm când un pol candidat este pol (efectiv) și când nu. Pentru aceasta am folosit o varianta îmbunătățită a rezultatului demonstrat în [Se1]. Pe scurt, dată o rezoluție minimală scufundată scisă ca o compunere de blow-ing-up-uri, Segers a obținut modalitatea în care se poate calcula aceasta contribuție la reziduu exact în momentul în care curba excepțională este creată.

Un prim rezultat important obținut de noi în această direcție de cercetare este Propoziția 5.1 de mai jos în care analizăm când această contribuție este zero și când nu.

Ipotezele de lucru sunt următoarele: fie $f \in K[x_1, x_2]$ și fie X o submulțime deschisă și compactă a lui K^2 . Fie $g : Y \rightarrow X$ o rezoluție scufundată a lui f . Fie $g = g_1 \circ \dots \circ g_t : Y = Y_t \rightarrow X = Y_0$ compunerea blowing-up-urilor $g_i : Y_i \rightarrow Y_{i-1}$, $i \in T_e := \{1, \dots, t\}$. Curba excepțională a lui g_i și transformarea strictă a lui sunt notate cu E_i . Fie $r \in T_e$. Curba excepțională E_r este obținută prin blowing-up în punctul $P \in Y_{r-1}$. Fie (y_1, y_2) coordonatele locale ale lui Y_{r-1} centrate în P . Putem atunci scrie aceste coordonate locale sub forma

$$f \circ g_1 \circ \dots \circ g_{r-1} = d \left(\prod_{i \in S} (a_{i2}y_1 - a_{i1}y_2)^{M_i} \right) \left(\prod_{i \in S'} h_i^{M_i}(y_1, y_2) \right) + \\ + \text{termeni de grad mai mare,}$$

unde factorii $a_{i2}y_1 - a_{i1}y_2$ și h_i sunt polinoame esențialmente diferite peste K (în sensul definit mai sus), și în plus polinoamele h_i sunt polinoame omogene ireductibile de grad mai mare sau egal cu doi, iar $M_i \geq 1$ pentru orice

$i \in S \cup S'$, iar $d \in K^\times$. Fie de asemenea

$$(g_1 \circ \cdots \circ g_{r-1})^* dx = \left(e \prod_{i \in S} (a_{i2}y_1 - a_{i1}y_2)^{\mu_i - 1} + \right. \\ \left. + \text{termeni de grad mai mare} \right) dy,$$

cu $\mu_i \geq 1$ pentru toți $i \in S$ și $e \in K^\times$.

Putem acum să enunțăm primul rezultat din această direcție:

Propoziția 1.1. *Fie $s_0 := -\nu_r/N_r$ polul real candidat al lui $Z_f(s)$ asociat curbei E_r . Scriem α_i sub forma $\alpha_i := \mu_i + s_0 M_i \neq 0$ pentru orice $i \in S$.*

Fie \mathcal{R} contribuția curbei excepționale E_r la reziduul lui $Z_f(s)$ în punctul s_0 . Atunci, $\mathcal{R} \neq 0$ dacă și numai dacă $|S| \geq 3$ sau $|S'| \geq 1$.

Mai mult, dacă $\mathcal{R} \neq 0$, atunci

1. $\mathcal{R} > 0$ dacă și numai dacă $\alpha_i > 0$ pentru toți $i \in S$ și
2. $\mathcal{R} < 0$ dacă și numai dacă există $i \in S$ (și acesta este unic) astfel încât $\alpha_i < 0$.

Pentru demonstrația rezultatului de mai sus, a fost nevoie de idei noi. Ceea ce am făcut în lucrarea ISI publicată nu a fost doar o generalizare directă a unor rezultate cunoscute deja, ci am analizat cazurile în care contribuțiile la același pol candidat se anulează sau nu una pe alta. Pentru aceasta, am construit graful dual al rezoluției scufundate și am arătat că acesta este un arbore ordonat.

Să prezentăm în continuare notațiile și ipozele principale de demonstrație din **rezultatul fundamental din această direcție de cercetare**, Teorema 5.11.

Fie $f \in K[x_1, x_2]$ și fie X o submulțime deschisă și compactă a lui K^2 . Să presupunem că f_{red} are doar un punct singular P_0 în X . Fie $g : Y \rightarrow X$ o rezoluție scufundată a lui f . Fie $g = g_1 \circ \cdots \circ g_t : Y = Y_t \rightarrow X = Y_0$ o

compunere de blowing-up-uri $g_i : Y_i \rightarrow Y_{i-1}$, $i \in T_e := \{1, \dots, t\}$, centrată în $P_{i-1} \in Y_{i-1}$. Curba excepțională a lui g_i și transformarea strictă a acestei curbe sunt notate cu E_i . Subvarietățile închise ale lui Y de codimensiune unu care reprezintă zerourile transformării sticte ale unui factor ireductibil al lui f în $K[x, y]$ le notăm cu E_j , $j \in T_s$.

Transformările corespunzătoare în Y_i , $i \in \{0, \dots, t-1\}$, le notăm similar. Fie $T = T_e \cup T_s$.

În graful (dual) al rezoluției scufundate al lui f în P_0 , se asociază fiecărei curbe excepționale un vârf (reprezentat printr-un punct) și fiecărei intersecții dintre curbe excepționale din Y o muchie, care leagă vârfurile corespunzătoare.

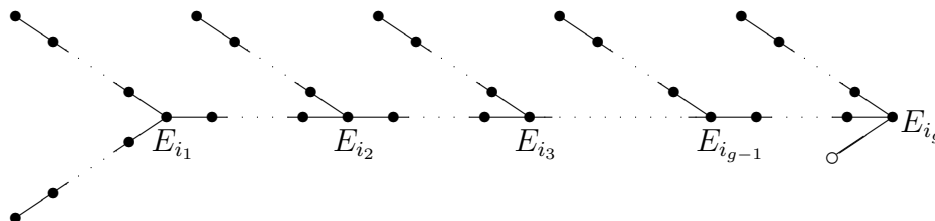
Asociem de asemenea fiecărei componente analitic ireductibile a transformării stricte a lui f în P_0 un vârf (reprezentat de un cerc), și unicului său punct de intersecție cu o curbă excepțională în Y muchia corespunzătoare. Este clar din construcție că acest graf este un arbore finit, conex.

În continuare, fiecărui vârf al grafului rezoluției scufundate îi asociem raportul corespunzător ν_i/N_i . Acest fapt transformă graful rezoluției scufundate într-un arbore ordonat. Mai precis, vârfurile pentru care numărul asociat este egal cu $\min_{i \in T} \nu_i/N_i$, împreună cu muchiile corespunzătoare, formează o componentă conexă \mathcal{M} a grafului rezoluției scufundate. Dacă începem cu un vârf terminal a părții minimale \mathcal{M} , numerele ν_i/N_i sunt strict crescătoare de-a lungul oricărui drum din arbore, exceptând \mathcal{M} .

Acest fapt rezultă din relația (5.2) și din marginea pentru α -uri, lucru care implică de exemplu că există cel mult un E_j care intersectează un E_r dat, cu $r \in T_e$, în Y cu $\nu_j/N_j < \nu_r/N_r$. Construcția de mai sus este una nouă, originală. În Teorema 3.3 [Ve2], Veys a făcut o construcție analoagă, dar el a lucrat peste \mathbb{C} , iar noi am genelizat construcția peste un corp arbitrar K . **Această construcție este un alt rezultat original din această direcție**

de cercetare.

Exemplul 1.2. Dacă f este absolut analitic ireductibilă în P_0 cu g exponenți Puiseux diferiți, atunci graful rezoluției este de forma



Aici, partea minimală \mathcal{M} constă doar din E_{i_1} (vezi [St, Corolarul 2.1] sau [Ve2, Propozitia 3.6]).

Rezultatul de bază din această direcție de cercetare este calculul polilor reali ai funcției zeta Igusa locale pentru curbe din teorema următoare. Noutatea rezultatului constă în faptul că am reușit să determinăm polii reali ai funcției zeta Igusa locale pentru curbe pentru un număr prim p arbitrar fixat. Rezultatul lui Veys din lucrarea menționată [Ve1] este valabil doar pentru un număr prim p suficient de mare. Mai mult, ideea de demonstrație nu este o simplă generalizare a rezultatului lui Veys: fixând un număr prim $p \gg 0$ (i.e. suficient de mare), Veys a putut folosi formula lui Denef din [De1]. Fixând un număr prim p arbitrar, acest rezultat nu mai poate fi folosit și a fost nevoie de idei noi de demonstrație.

Teorema 5.11[Calculul polilor reali ai funcției zeta Igusa locale] În ipotezele din primul paragraf al acestei secțiuni, avem:

1. un număr real s_0 este pol de ordin doi dacă și numai dacă există $i, j \in T$ cu $s_0 = -\nu_i/N_i = -\nu_j/N_j$ astfel încât E_i și E_j se intersectează în Y . Mai mult, $Z_f(s)$ are cel mult un pol real de ordin doi, iar dacă există un pol de ordin doi, acesta este polul cel mai apropiat de origine.

2. un număr real $s_0 \in \{-\nu_i/N_i \mid i \in T_e\} \setminus \{-\nu_i/N_i \mid i \in T_s\}$ care nu este pol de ordin doi este pol de ordin întâi dacă și numai dacă există cel puțin un $i \in T_e$ cu $s_0 = -\nu_i/N_i$ astfel încât $f \circ g_1 \circ \cdots \circ g_{i-1}$ este dat în coordonate locale centrate în P_{i-1} de o serie de puteri a cărei componentă de grad cel mai mic este un polinom omogen care nu este o putere a unui polinom liniar (de grad unu) sau un produs de două astfel de puteri
3. un număr real $s_0 \in \{-\nu_i/N_i \mid i \in T_s\}$ care nu este pol de ordin doi este pol de ordin unu pentru o vecinătate deschisă și compactă X a lui P_0 suficient de mică.

1.3 A doua direcție de cercetare: Studiul de- signurilor eşalon

Designul experimentelor este o ramură importantă a Statisticii care are ca subiect important de studiu designurile full-factorial. În cadrul acestui proiect ne-am propus și am reușit să folosim metode ale Algebrei Comutative pentru a explora probleme relevante (cum ar fi bazele Gröbner, fracțiile, polinomul Hilbert) ale designurilor eşalon, adică ale unei mulțimi \mathcal{E} de puncte experimentale având anumite proprietăți speciale.

Designurile eşalon generalizează designurile full factorial investigate în [CPRW], [CR], [R], [RR]. Pe scurt, contribuția noastră în acest domeniu constă într-o demonstrație originală a existenței unei baze Gröbner pentru un ideal design $\mathcal{I}(\mathcal{E})$. Mai mult, rezultatul nostru generalizează Teorema 2.18 a lui Robbiano [L.Robbiano, *Gröbner Bases and Statistics*, Gröbner Bases and Applications, London Mathematical Society Lecture Note Series 251,

Edited by Bruno Buchberger & Franz Winkler, Cambridge University Press, 2001, pp.179-204]. În plus, am obținut caracterizarea polinomului Hilbert asociat unui design eşalon și am introdus și studiat fracții ale designurilor eşalon. Rezultatele din teoremele pe care le-am obținut extind Teoremele 4.5 și 5.6 din [L.Robiano, *Gröbner Bases and Statistics*, Gröbner Bases and Applications, London Mathematical Society Lecture Note Series 251, Edited by Bruno Buchberger & Franz Winkler, Cambridge University Press, 2001, pp.179-204] de la cazul designurilor full factorial la cazul designurilor eşalon.

În ultimii ani, “Statistica Algebrică” s-a dezvoltat la granița dintre Algebra Comutativă și Statistică. Teoria și rezultatele din Algebra Comutativă au ajutat în procesul de înțelegere a unor diverse ramuri din statistică, cum ar fi Designul Experimentelor (DoE-Design of Experiments). Această interacțiune este ilustrată în direcția de cercetare pe care am abordat-o, în care demonstrăm proprietăți importante pentru designurile eşalon.

Mai precis, folosim metode de Algebra Comutativă pentru a studia probleme referitoare la designurile eşalon care provin din DoE. Pentru a înțelege mai bine eficiența și importanța studiului designurilor eşalon în studiul și analiza unor modele economice cu aplicații practice, vom prezenta un exemplu.

Un magazin care comercializează echipamente de calcul are o anumită strategie de aprovizionare, bazată pe diverse considerente economice, cu laptopuri de-a lungul unui an. Astfel, în prima perioadă (lunile ianuarie-aprilie) magazinul are în stoc următoarele modele de laptopuri: Allview, Acer, HP, Asus, Lenovo, Samsung, Toshiba și Dell. În următoarea perioadă (lunile mai-august), magazinul are în stoc mărcile Allview, Acer, HP, Asus și Lenovo, iar în ultima perioadă (lunile septembrie-decembrie), din anumite motive, are în stoc doar Allview, Acer și HP.

Această strategie poate fi văzută ca o mulțime de puncte din \mathbb{Z}_+^2 , notate (L, M) , unde M reprezintă marca (brand-ul) laptopului, iar L reprezintă luna. Variabila M poate lua una dintre valorile 0,1,2,3,4,5,6 sau 7, care au semnificația: 0=Allview, 1=Acer, 2=HP, 3=Asus, 4=Lenovo, 5=Samsung, 6=Toshiba și 7=Dell. Valoarea pentru variabila L poate fi una din mulțimea $\{0, 1, 2, 3, 4, 5, 6, 7, 8, 9, 10, 11\}$, unde 0=ianuarie, 1=februarie, . . . , 11=decembrie.

Prin urmare, această mulțime de puncte împreună cu restricțiile date de disponibilitatea brand-ului într-o anumită lună, formează un design eșalon. Se poate observa că vectorii dominanți, adică vectorii care mărginesc designul eșalon, sunt $(0, 8)$, $(4, 5)$, $(8, 3)$ și $(12, 0)$. Astfel, de exemplu punctul $(3, 3)$ care se găsește în design arată că în luna aprilie brand-ul Asus este disponibil în magazin.

Departamentul de marketing al magazinului din acest exemplu dorește să analizeze profitul obținut din această strategie de aprovizionare. În acest scop, își formează un grup de potențiali cumpărători cărora le cere să facă un rating, adică să noteze pe o scară de la 0 la 10 diversele posibilități, i.e. diversele puncte ale designului eșalon. În acest rating, cumpărătorii trebuie să ia în considerație bugetul lor într-o anumită perioadă de timp și preferința lor pentru un anumit brand. În acest fel, fiecărui punct al designului îi putem asocia o anumită valoare, de exemplu media notelor acordate de subiecții chestionarului. Obținem astfel o funcție care are ca domeniu de definiție punctele designului. Din Corolarul 2.14 din lucrarea lui Robiano [L.Robiano, *Gröbner Bases and Statistics*, Gröbner Bases and Applications, London Mathematical Society Lecture Note Series 251, Edited by Bruno Buchberger & Franz Winkler, Cambridge University Press, 2001, pp.179-204], rezultă că orice funcție definită pe o mulțime finită cu valori într-un corp arbitrar este o funcție polinomială și se numește în Statistica Algebrică modelul polinomial al de-

signului. Această funcție polinomială furnizează multe informații care pot fi folosite pentru a îmbunătăți strategia de marketing a magazinului.

În afară de exemplul prezentat mai sus, există în mod evident numeroase alte exemple din domeniul economic care pot fi modelate folosind designurile experimentale.

Revenind la exemplul prezentat mai sus, este clar că nici un potențial client nu va dori să noteze toate punctele din design, fiind, în general, mult prea multe posibilități. Din acest motiv, se folosesc modele care vin din fracții (anumite submulțimi) ale designului. Aceste modele pot fi apoi folosite pentru a obține o reconstrucție cât mai fidelă a modelului din problema de marketing prezentată.

Dat un design eșalon \mathcal{E} , o fracție \mathcal{F} a designului este o submulțime a acestei mulțimi de puncte, dar din punct de vedere algebric, descrierea fracției nu este deloc una canonică. Este clar că idealul de definiție $\mathcal{I}(\mathcal{F})$, care definește fracția dată \mathcal{F} , conține $\mathcal{I}(\mathcal{E})$ care reprezintă idealul de definiție al eșalonului \mathcal{E} . Acest lucru are o explicație algebrică simplă: orice polinom care se anulează pe toate punctele din \mathcal{E} automat se anulează pe toate punctele din \mathcal{F} . Mai multe detalii despre aceste fracții, pentru a vedea cum pot fi convenabil alese aceste fracții și cum pot fi ele folosite în teoria generației a DoE, recomandăm lucrarea lui Robiano, [L.Robiano, *Gröbner Bases and Statistics*, Gröbner Bases and Applications, London Mathematical Society Lecture Note Series 251, Edited by Bruno Buchberger & Franz Winkler, Cambridge University Press, 2001, pp.179-204].

Pentru a putea face un rezumat al principalelor rezultate obținute în această direcție de cercetare, începem prin a reaminti definiția unui design eșalon.

Definiția 1.3. Fie k un corp și fie $m \in \mathbb{N}^* = \mathbb{N} \setminus \{0\}$. Un **design** \mathcal{D} este o

mulțime finită de puncte distincte din k^m .

Se numește **idealul designului** \mathcal{D} idealul $I(\mathcal{D})$ care conține toate polinoamele din $k[x_1, \dots, x_m]$ care se anulează în toate punctele lui \mathcal{D} .

Pe scurt, rezultatele obținute în această direcție de cercetare sunt următoarele.

Un prim rezultat fundamental al cercetării în această direcție îl constituie teorema în care am obținut o bază Gröbner pentru idealul $\mathcal{I}(\mathcal{E})$, unde \mathcal{E} este un design eşalon, teoremă pe care o vom enunța mai jos după ce vom defini designul eşalon. Rezultatul obținut de noi generalizează Teorema 2.18 din lucrarea amintită a lui Robiano.

Am considerat apoi polinomul asociat unui design $\mathcal{D} \subset \mathbb{Z}_+^m$ definit de

$$H_{\mathcal{D}}(t) = \sum_{i \geq 0} a_i t^i,$$

unde $a_i = \#\{a = (a_1, \dots, a_m) \in \mathcal{D} \mid a_1 + \dots + a_m = i\}$. Polinomul $H_{\mathcal{D}}(t)$ se numește polinomul Hilbert al designului \mathcal{D} .

Al doilea rezultat principal al acestei cercetări în reprezintă caracterizarea polinoamelor cu coeficienți întregi care pot fi polinoame Hilbert ale unui design eşalon.

De asemenea, am studiat și fracțiile unui design eşalon și am obținut aici **alte două rezultate principale** pe care le vom detalia mai jos. Cele două teoreme referitoare la fracțiile unui design eşalon extind Teoremele 4.5 și Teorema 5.6 din lucrarea lui Robiano la cazul designurilor eşalon.

Prezentăm în rezumat rezultatele enunțate mai sus.

Să definim pentru început designurie eşalon în dimensiune m .

Pentru $\alpha = (\alpha_1, \dots, \alpha_m) \in \mathbb{N}^m$, fie $\mathbf{x}^\alpha = x_1^{\alpha_1} \dots x_m^{\alpha_m} \in k[x_1, \dots, x_m]$.

Definiția 1.4. Fie $a = (a_1, \dots, a_m)$ și $b = (b_1, \dots, b_m)$ două puncte din \mathbb{Z}_+^m . Spunem că a **domină** pe b dacă $a_i \leq b_i$, pentru orice $i = 1, \dots, m$.

În termeni de monoame, a **domină pe** b dacă $\mathbf{x}^a | \mathbf{x}^b$. Evident, dacă a domină pe b , atunci \mathbf{x}^a domină orice multiplu al lui \mathbf{x}^b .

Definiția 1.5. Fie $K \in \mathbb{N}^*$ și fie $\alpha^{(1)}, \dots, \alpha^{(K)}$ vectori cu componente întregi din \mathbb{Z}_+^m astfel încât nici un $\mathbf{x}^{\alpha^{(i)}}$ nu domină nici un $\mathbf{x}^{\alpha^{(j)}}$ pentru toți $1 \leq i \neq j \leq K$. **Designul eșalon** $\mathcal{E} \subset \mathbb{Z}_+^m$ determinat de vectorii $\alpha^{(1)}, \dots, \alpha^{(K)}$ este mulțimea tuturor punctelor $b \in \mathbb{Z}_+^m$ cu proprietatea că \mathbf{x}^b nu este divizibil cu $\mathbf{x}^{\alpha^{(i)}}$, pentru orice $1 \leq i \leq K$. Cu alte cuvinte, design-ul eșalon definit de vectorii $\alpha^{(1)}, \dots, \alpha^{(K)}$ este mulțimea de puncte din \mathbb{Z}_+^m care nu sunt dominate de $\alpha^{(1)}, \dots, \alpha^{(K)}$.

Vectorii $\alpha^{(1)}, \dots, \alpha^{(K)}$ se numesc **vectori dominanți (sau de definiție)** ai eșalonului \mathcal{E} . Monomul $\mathbf{x}^{\alpha^{(i)}}$, pentru $1 \leq i \neq j \leq K$, se numește **monomul dominant (sau de definiție)** al lui \mathcal{E} .

Exemplul 1.6. Fie $m = 2$ și $\alpha^{(1)} = (0, 4)$, $\alpha^{(2)} = (1, 3)$, $\alpha^{(3)} = (3, 1)$, $\alpha^{(4)} = (5, 0)$ vectorii dominanți care definesc eșalonul $\mathcal{E} \subset \mathbb{Z}_+^2$. Să observăm că nici un $\mathbf{x}^{\alpha^{(i)}}$ nu divide nici un $\mathbf{x}^{\alpha^{(j)}}$ pentru orice $1 \leq i \neq j \leq 4$.

Monoamele de definiție sunt prin urmare x_2^4 , $x_1x_2^3$, $x_1^3x_2$ și x_1^5 . Conform Definiției 6.3, designul $\mathcal{E} \subset \mathbb{Z}_+^2$ este format din toate punctele din \mathbb{Z}_+^2 care nu sunt dominate de $\alpha^{(1)}, \dots, \alpha^{(4)}$, și anume din punctele $(0, 0)$, $(0, 1)$, $(0, 2)$, $(0, 3)$, $(1, 0)$, $(1, 1)$, $(1, 2)$, $(2, 0)$, $(2, 1)$, $(2, 2)$, $(3, 0)$ și $(4, 0)$; vezi Figura 1.1.

Este nu foarte dificil de văzut că un design eșalon de dimensiune m poate fi definit și astfel:

Definiția 1.7. Un design $\mathcal{E} \subset \mathbb{Z}_+^m$ este design eșalon dacă și numai dacă fiecare punct (d_1, \dots, d_m) din eșalon are proprietatea că toate punctele de forma (y_1, \dots, y_m) cu $0 \leq y_j \leq d_j$, pentru orice $j = 1, \dots, m$ se găsesc în designul \mathcal{E} .

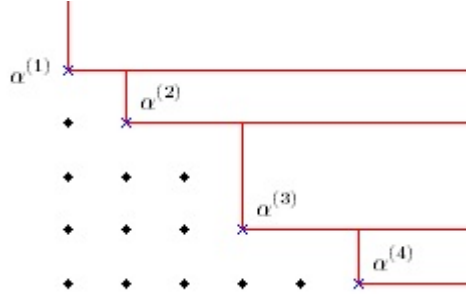


Figura 1.1: Un design eşalon definit prin vectorii dominanți

Exemplul 1.8. În designul eşalon \mathcal{E} din Exemplul 6.4, cum punctele $(0, 3)$, $(1, 2)$, $(2, 0)$, $(3, 0)$ și $(4, 0)$ se găsesc în designul \mathcal{E} , toate aceste puncte împreună cu cele care se află “mai jos” de ele, adică $(0, 0)$, $(0, 1)$, $(0, 2)$, $(1, 0)$, $(1, 1)$, $(2, 1)$, $(2, 0)$ sunt toate punctele designului.

Fie $\mathcal{E} \subset \mathbb{Z}_+^m$ un design eşalon definit de vectorii dominanți $\alpha^{(1)}, \dots, \alpha^{(K)} \in \mathbb{Z}_+^m$.

Fiecărui vector $\alpha = (\alpha_1, \dots, \alpha_m) \in \mathbb{Z}_+^m$ îi asociem un polinom $f_\alpha \in k[x_1, \dots, x_m]$ definit astfel:

$$f_\alpha = \prod_{i=1}^m x_i(x_i - 1) \dots (x_i - \alpha_i + 1).$$

În raport cu orice ordonare monomială $<$ pe $k[x_1, \dots, x_m]$, avem

$$\text{in}_<(f_\alpha) = x_1^{\alpha_1} \dots x_m^{\alpha_m},$$

unde cu $\text{in}_<(f)$ am notat monomul inițial al lui f relativ la $<$. Fie $f_{\alpha^{(1)}}, \dots, f_{\alpha^{(K)}}$ polinoamele asociate vectorilor $\alpha^{(1)}, \dots, \alpha^{(K)}$ ale lui $\mathcal{E} \subset \mathbb{Z}_+^m$. Rezultă atunci că $f_{\alpha^{(i)}} \in I(\mathcal{E})$, pentru orice $1 \leq i \leq K$, și deci pentru orice ordonare monomială $<$ pe $k[x_1, \dots, x_m]$ avem

$$(\text{in}(f_{\alpha^{(1)}}), \dots, \text{in}(f_{\alpha^{(K)}})) \subset \text{in}(I(\mathcal{E})),$$

unde cu $\text{in}(\mathcal{I}(\mathcal{E}))$ am notat idealul inițial al lui $\mathcal{I}(\mathcal{E})$ relativ la ordonarea monomială $<$.

Primul nostru rezultat din această cercetare este următoarea teoremă care stabilește o bază Gröbner a lui $I(\mathcal{E})$ relativ la orice ordonare monomială pe $k[x_1, \dots, x_m]$.

Teorema 1.9. *Teorema Fie $\mathcal{E} \subset \mathbb{Z}_+^m$ un design eșalon definit de vectorii $\alpha^{(1)}, \dots, \alpha^{(K)} \in \mathbb{Z}_+^m$. Atunci mulțimea $G = \{f_{\alpha^{(1)}}, \dots, f_{\alpha^{(K)}}\}$ este o bază Gröbner a lui $I(\mathcal{E})$ relativ la orice ordonare monomială pe $k[x_1, \dots, x_m]$.*

Definiția 1.10. *Dat un design arbitrar $\mathcal{D} \subset \mathbb{Z}_+^m$, definim **polinomul Hilbert asociat designului \mathcal{D}** ca fiind:*

$$H_{\mathcal{D}}(t) = \sum_{i \geq 0} a_i t^i,$$

unde $a_i = \#\{a = (a_1, \dots, a_m) \in \mathcal{D} \mid a_1 + \dots + a_m = i\}$.

Vom nota $H_{\mathcal{D}}$ polinomul Hilbert asociat designului \mathcal{D} .

Al doilea rezultat din această direcție de cercetare îl reprezintă teorema următoare care caracterizează polinomul Hilbert al unui design eșalon în dimensiune 2.

Teorema 1.11. *Fie $H \in \mathbb{Z}[t]$ un polinom cu coeficienți întregi ne-negativi. Atunci H este polinomul Hilbert al unui design eșalon în dimensiune doi dacă și numai dacă există un întreg $i \geq 0$ astfel încât*

$$H(t) = 1 + 2t + 3t^2 + \dots + (i+1)t^i + a_{i+1}t^{i+1} + \dots + a_d t^d,$$

cu $d \geq 0$ și $i+1 \geq a_{i+1} \geq \dots \geq a_d$.

Dat un design eșalon \mathcal{E} , o **fracție a eșalonului** este o submulțime proprie $\mathcal{F} \subset \mathcal{E}$. În mod clar, idealul său de definiție $I(\mathcal{F})$ conține idealul $I(\mathcal{E})$.

Definiția 1.12. Fie $\mathcal{E} \subset \mathbb{Z}_+^m$ un design eșalon definit de vectorii dominanți $\alpha^{(1)}, \dots, \alpha^{(K)} \in \mathbb{Z}_+^m$. Fiecărui astfel de vector $\alpha = (\alpha_1, \dots, \alpha_m) \in \mathbb{Z}_+^m$ îi asociem un polinom $f_\alpha \in k[x_1, \dots, x_m]$ definit astfel:

$$f_\alpha = \prod_{i=1}^m x_i(x_i - 1) \dots (x_i - \alpha_i + 1).$$

Polinoamele $f_{\alpha^{(1)}}, \dots, f_{\alpha^{(K)}}$ le-am numit **polinoamele canonice** ale designului eșalon \mathcal{E} .

Definiția 1.13. Orice submulțime de polinoame care, adăugate polinoamelor canonice ale unui design eșalon \mathcal{E} , generează idealul unei fracții \mathcal{F} , se numesc **polinoame confounding** ale lui \mathcal{F} în \mathcal{E} .

Definiția 1.14. Fie \mathcal{E} un design eșalon și fie \mathcal{F} o fracție a acestuia. Se numește **polinomul caracteristic al lui $\mathcal{F} \subset \mathcal{E}$** polinomul f cu proprietatea că $f(P) = 0$ pentru orice $P \in \mathcal{F}$ și $f(P) = 1$ pentru orice $P \in \mathcal{E} \setminus \mathcal{F}$.

Dacă aplicăm Teorema 6.9 și Proposition 4.4 din lucrarea menționată a lui Robiano, obținem:

Propoziția 1.15. Fie \mathcal{E} un design eșalon și fie $\mathcal{F} \subset \mathcal{E}$ o fracție a acestuia. Fie f polinomul caracteristic al lui \mathcal{F} . Atunci

$$I(\mathcal{F}) = (f_{\alpha^{(1)}}, \dots, f_{\alpha^{(K)}}, f).$$

Al treilea rezultat din această direcție de cercetare este dat în următoarea teoremă:

Teorema 1.16. Fie $<$ o ordonare monomială pe $k[x_1, \dots, x_m]$, $\mathcal{E} \in \mathbb{Z}_+^m$ un design eșalon, $f_{\alpha^{(1)}}, \dots, f_{\alpha^{(K)}}$ polinoamele canonice ale lui \mathcal{E} și fie $\mathcal{F} \subset \mathcal{E}$ o fracție a designului \mathcal{E} .

Există atunci un unic polinom caracteristic f al lui \mathcal{F} în \mathcal{E} astfel încat $\text{in}(f)$ nu este dominat de nici un $\text{in}_<(f_{\alpha^{(i)}})$, $1 \leq i \leq n$.

Definiția 1.17. Fie $\mathcal{E} \subset k^m$ un design eşalon. Notăm cu $\mathcal{O}(\mathcal{E})$ mulțimea de monoame $\{x_1^{\alpha_1} x_2^{\alpha_2} \dots x_m^{\alpha_m} \mid (\alpha_1, \alpha_2, \dots, \alpha_m) \in \mathcal{E}\}$.

Definiția 1.18. Fie $\mathcal{O} \subseteq \text{Mon}(\mathcal{S})$. Spunem că \mathcal{O} este o **mulțime standard de monoame** dacă $T \in \mathcal{O}$ și T' divide T implică $T' \in \mathcal{O}$, i.e. toți divizorii unui element din \mathcal{O} sunt de asemenea în \mathcal{O} .

Definiția 1.19. Date n variabile x_1, x_2, \dots, x_m , fie $\mathcal{E} \subset \mathbb{Z}_+^2$ un design eşalon și fie $\mathcal{O} \subset \mathcal{O}(\mathcal{E})$ o mulțime standard de monoame. Atunci, din Lema lui Dickson, vezi [HH] rezultă că există o unică mulțime minimală, $\text{Min}(\mathcal{O})$, de monoame care generează $\text{Mon}(\mathcal{S}) \setminus \mathcal{O}$. Adică, fiecare element din $\text{Mon}(\mathcal{S}) \setminus \mathcal{O}$ este un multiplu al unui element din $\text{Min}(\mathcal{O})$. Mulțimea de monoame din $\text{Min}(\mathcal{O})$, care nu se găsesc printre termenii dominanți ai polinoamelor canonice ale lui \mathcal{E} , se notează cu $\text{CutOut}(\mathcal{O})$.

Definiția 1.20. Date n variabile x_1, x_2, \dots, x_m , fie $\mathcal{E} \subset \mathbb{Z}_+^2$ un design eşalon și fie $\mathcal{O} \subset \mathcal{O}(\mathcal{E})$ o mulțime standard de monoame. Atunci, din Lema lui Dickson, vezi [HH] rezultă că există o unică mulțime minimală, $\text{Min}(\mathcal{O})$, de monoame care generează $\text{Mon}(\mathcal{S}) \setminus \mathcal{O}$. Adică, fiecare element din $\text{Mon}(\mathcal{S}) \setminus \mathcal{O}$ este un multiplu al unui element din $\text{Min}(\mathcal{O})$. Mulțimea de monoame din $\text{Min}(\mathcal{O})$, care nu se găsesc printre termenii dominanți ai polinoamelor canonice ale lui \mathcal{E} , se notează cu $\text{CutOut}(\mathcal{O})$.

Înainte de a da **cel de-al patrulea rezultat din această direcție de cercetare**, să reamintim o definiție introdusă de L. Robbiano, în [R].

Definiția 1.21. Fie K un corp infinit, $T := x_1^{a_1} x_2^{a_2} \dots x_n^{a_n}$ și fie $\alpha_1, \alpha_2, \dots, \alpha_n$ n șiruri de elemente din corpul de bază K , unde $\alpha_r = (\alpha_{r,i})_{i \in \mathbb{N}}$, pentru $r := 1, 2, \dots, n$ și $\alpha_{r,i} \neq \alpha_{r,j}$, dacă $i \neq j$. Polinomul

$$D(T) := \prod_{i=1}^{a_1} (x_1 - \alpha_{1,i}) \prod_{i=1}^{a_2} (x_2 - \alpha_{2,i}) \cdots \prod_{i=1}^{a_n} (x_n - \alpha_{n,i})$$

se numește **distragerea (the disytraction)** lui T relativ la $\alpha_1, \alpha_2, \dots, \alpha_n$.

Cel de-al patrulea rezultat din această direcție de cercetare este următorul rezultat:

Teorema 1.22. *Fie \mathcal{E} un design eșalon definit de vectorii dominanți $\alpha^{(1)}, \alpha^{(2)}, \dots, \alpha^{(K)} \in \mathbb{Z}_+^m$. Fie $\mathcal{I}(\mathcal{E}) := (f_{\alpha^{(1)}}, f_{\alpha^{(2)}}, \dots, f_{\alpha^{(K)}})$ idealul său de definiție, unde $f_{\alpha^{(j)}}$ sunt polinoamele canonice, pentru $j = 1, \dots, K$. Fie $\mathcal{O}(\mathcal{E})$ mulțimea standard de monoame corespunzătoare și fie $\mathcal{O} \subset \mathcal{O}(\mathcal{E})$ o mulțime standard de monoame. Să presupunem că $\{T_1, T_2, \dots, T_h\} = \text{CutOut}(\mathcal{O})$ și fie $D(T_1), D(T_2), \dots, D(T_h)$ distragea lui T_1, T_2, \dots, T_h .*

Atunci, pentru orice ordonare monomială pe $k[x_1, x_2, \dots, x_n]$, mulțimea

$$\{f_{\alpha^{(1)}}, f_{\alpha^{(2)}}, \dots, f_{\alpha^{(K)}}, D(T_1), D(T_2), \dots, D(T_h)\}$$

este o bază Gröbner neredusă pentru idealul $\mathcal{I}(\mathcal{F})$, unde $\mathcal{F} \subset \mathcal{E}$ este o fracție a eșalonului \mathcal{E} astfel încât $\mathcal{O}(\mathcal{F}) = \mathcal{O}$.

Capitolul 2

Rezumatul lucrării în limba engleză

Several mathematicians have already obtained partial results about the determination of the poles of Igusa's p -adic zeta function for curves. In this paper, we will determine the real poles for an arbitrary polynomial f in two variables which is defined over a p -adic field. People are interested in the poles of Igusa's p -adic zeta function $Z_f(s)$ because they determine the asymptotic behaviour of the number of solutions of polynomial congruences and because they are the subject of the monodromy conjecture (see for example [Den91]).

Historically, one considered first only curves which are absolutely analytically irreducible. Partial results were obtained by Igusa [Ig1] and Strauss [St]. Meuser [Me] determined the real poles, but she did not consider the candidate pole -1 . In 1985 Igusa [Ig2] solved that problem completely. He proved that the candidate poles associated to the strict transform of f are poles when the domain of integration is small enough. Moreover, another candidate pole of the minimal embedded resolution of f is a pole if and only if it is associated to an exceptional curve which is intersected by three

other irreducible components of the pull-back of f . We have incorporated a generalization of this result (Proposition 2).

In the general case, Loeser [Lo] obtained that an exceptional curve E_i does not contribute to the poles of $Z_f(s)$ if E_i is intersected one or two times by other components of the pull-back of f and if there are no other intersection points over an algebraic closure. This was first proved by Strauss in the absolutely analytically irreducible case, where the last condition is automatically satisfied.

The next paper we want to mention is [Ve1] of Veys. He considers a polynomial f in two variables over a number field F and takes the minimal embedded resolution of f over an algebraic closure of F . This setup allowed him to use a formula [De1] of Denef for $Z_f(s)$, which is valid for almost all p -adic completions of F . He supposes that all intersection points of irreducible components of the pull-back of f are defined over F . Under this condition, he proves the converse of the result of Loeser for real candidate poles and for almost all p -adic completions of F . Moreover, he deals with the problem of a possible cancellation of several contributions to the same real candidate pole.

In the proofs of the mentioned vanishing and non-vanishing results, one needed certain relations between the various numerical data of the embedded resolution. They were systematically derived in [St], [Me] and [Ig2] for absolutely analytically irreducible curves and finally, Loeser [Lo] obtained the necessary relations in the general case. Igusa [Ig2] and Loeser [Lo] used a formula of Langlands [La] to calculate the contribution of an exceptional curve to the residue of $Z_f(s)$ at a candidate pole of candidate order one. We will use a slight variant of this formula which was obtained in [Se1]. Given an embedded resolution written as a composition of blowing-ups, the second

author explained there how to calculate this contribution to the residue at the stage where the exceptional curve is created. In Proposition 1, we determine when this contribution is zero and when not. For this, we need new ideas. It is not at all a straightforward generalization of what was already known. Finally in Section 4, we will prove that contributions to the same candidate pole will not cancel out. For this, we use that the dual embedded resolution graph is an ordered tree. This was obtained in [Ve2] when the base field is algebraically closed.

Let K be a p -adic field, i.e., an extension of \mathbb{Q}_p of finite degree. Let R be the valuation ring of K , P the maximal ideal of R and q the cardinality of the residue field R/P . For $z \in K$, let $\text{ord } z \in \mathbb{Z} \cup \{+\infty\}$ denote the valuation of z and $|z| = q^{-\text{ord } z}$ the absolute value of z .

Let $f(x_1, x_2) \in K[x_1, x_2]$ be a polynomial in two variables over K and put $x = (x_1, x_2)$. Let X be an open and compact subset of K^2 . Igusa's p -adic zeta function of f is defined by

$$Z_f(s) = \int_X |f(x)|^s |dx|$$

for $s \in \mathbb{C}$, $\text{Re}(s) > 0$, where $|dx|$ denotes the Haar measure on K^2 , normalised so that R^2 has measure 1. Igusa proved that $Z_f(s)$ is a rational function of q^{-s} by calculating the integral on an embedded resolution of f . Therefore, it extends to a meromorphic function $Z_f(s)$ on \mathbb{C} which is also called Igusa's p -adic zeta function of f .

Let $g : Y \rightarrow X$ be an embedded resolution of f . Here, Y is a K -analytic manifold. The meaning of embedded resolution in our context is explained in [Ig3, Section 3.2]. Write $g = g_1 \circ \dots \circ g_t : Y = Y_t \rightarrow X = Y_0$ as a composition of blowing-ups $g_i : Y_i \rightarrow Y_{i-1}$, $i \in T_e := \{1, \dots, t\}$. The exceptional curve of g_i and also the strict transforms of this curve are denoted by E_i . The closed submanifolds of Y of codimension one which are the zero locus of the strict

transform of an irreducible factor of f in $K[x, y]$ are denoted by E_j , $j \in T_s$. The corresponding transforms in Y_i , $i \in \{0, \dots, t-1\}$, are denoted in the same way. Note that we had to be careful with the notion of irreducible, because X is totally disconnected as a topological space. Put $T = T_e \cup T_s$. For $i \in T$, let N_i and $\nu_i - 1$ be the multiplicities of respectively $f \circ g$ and $g^* dx$ along E_i . The (N_i, ν_i) are called the numerical data of E_i .

Let us recall Igusa's proof of the rationality of $Z_f(s)$. As we already said, we calculate the defining integral on Y :

$$Z_f(s) = \int_X |f(x)|^s |dx| = \int_Y |f \circ g|^s |g^* dx|.$$

Let b be an arbitrary point of Y . There are three cases. In the first case, there are two varieties E_i and E_j , with $i, j \in T$, that pass through b . We take a neighborhood V of b and analytic coordinates (y_1, y_2) on V such that y_1 is an equation of E_i , y_2 is an equation of E_j ,

$$f \circ g = \varepsilon y_1^{N_i} y_2^{N_j} \quad \text{and} \quad g^* dx = \eta y_1^{\nu_i-1} y_2^{\nu_j-1} dy$$

on V for non-vanishing K -analytic functions ε and η on V . We may suppose that $y(V) = P^{k_1} \times P^{k_2}$, with $k_1, k_2 \in \mathbb{Z}_{\geq 0}$, and that $|\varepsilon|$ and $|\eta|$ are constant on V . We get

$$\begin{aligned} \int_V |f \circ g|^s |g^* dx| &= \int_{P^{k_1} \times P^{k_2}} |\varepsilon|^s |\eta| |y_1|^{N_i s + \nu_i - 1} |y_2|^{N_j s + \nu_j - 1} |dy| \\ &= |\varepsilon|^s |\eta| \left(\frac{q-1}{q} \right)^2 \frac{q^{-k_1(N_i s + \nu_i)}}{1 - q^{-(N_i s + \nu_i)}} \frac{q^{-k_2(N_j s + \nu_j)}}{1 - q^{-(N_j s + \nu_j)}}. \end{aligned}$$

Note that this is a rational function of q^{-s} . In the second case, there is one variety E_i , $i \in T$, that passes through b . We take a neighborhood V of b and analytic coordinates (y_1, y_2) on V such that y_1 is an equation of E_i ,

$$f \circ g = \varepsilon y_1^{N_i} \quad \text{and} \quad g^* dx = \eta y_1^{\nu_i-1} dy$$

on V for non-vanishing K -analytic functions ε and η on V . We may suppose that $y(V) = P^{k_1} \times P^{k_2}$, with $k_1, k_2 \in \mathbb{Z}_{\geq 0}$, and that $|\varepsilon|$ and $|\eta|$ are constant on V . We get

$$\begin{aligned} \int_V |f \circ g|^s |g^* dx| &= \int_{P^{k_1} \times P^{k_2}} |\varepsilon|^s |\eta| |y_1|^{N_i s + \nu_i - 1} |dy| \\ &= |\varepsilon|^s |\eta| q^{-k_2} \frac{q-1}{q} \frac{q^{-k_1(N_i s + \nu_i)}}{1 - q^{-(N_i s + \nu_i)}}. \end{aligned}$$

In the third case, there is no variety E_i , $i \in T$, that passes through b . We take a neighborhood V of b and analytic coordinates (y_1, y_2) on V such that $f \circ g = \varepsilon$ and $g^* dx = \eta dy$ on V for non-vanishing K -analytic functions ε and η on V . We may suppose that $y(V) = P^{k_1} \times P^{k_2}$, with $k_1, k_2 \in \mathbb{Z}_{\geq 0}$, and that $|\varepsilon|$ and $|\eta|$ are constant on V . We get

$$\int_V |f \circ g|^s |g^* dx| = |\varepsilon|^s |\eta| q^{-k_1 - k_2}.$$

It follows now that $Z_f(s)$ is a rational function of q^{-s} because we can partition Y into sets V of the above form.

We obtain also from this calculation that every pole of $Z_f(s)$ is of the form

$$-\frac{\nu_i}{N_i} + \frac{2k\pi\sqrt{-1}}{N_i \log q},$$

with $k \in \mathbb{Z}$ and $i \in T$. These values are called the candidate poles of $Z_f(s)$. If $i \in T$ is fixed, the values $-\nu_i/N_i + (2k\pi\sqrt{-1})/(N_i \log q)$, $k \in \mathbb{Z}$, are called the candidate poles of $Z_f(s)$ associated to E_i . Because the poles of $1/(1 - q^{-N_i s - \nu_i})$ have order one, we define the expected order of a candidate pole s_0 as the highest number of E_i 's with candidate pole s_0 and with non-empty intersection. The order of s_0 is of course less than or equal to its expected order and a candidate pole s_0 of expected order one is a pole if and only if the residue of $Z_f(s)$ at s_0 is different from 0.

Let us explain the formula for the residue that we will use. Let s_0 be a candidate pole of E_i , $i \in T$, and suppose that s_0 is not a candidate pole of any E_j , with $j \in T$ and $j \neq i$, which intersects E_i in Y . Let U be an open and compact subset of E_i . The contribution of U to the residue of $Z_f(s)$ at s_0 is by definition the contribution to the residue of $Z_f(s)$ at s_0 of an open and compact subset V of Y which satisfies $V \cap E_i = U$ and which is disjoint from every other E_j with candidate pole s_0 . Suppose that U already exists in Y_r and if $i \in T_s$ we also suppose that it is non-singular in Y_r . Suppose that W is an open and compact subset of Y_r for which $W \cap E_i = U$ and that (z_1, z_2) are analytic coordinates on W such that $z_1 = 0$ is an equation of U on W . Write

$$f \circ g_1 \circ \cdots \circ g_r = \gamma z_1^{N_i} \quad \text{and} \quad (g_1 \circ \cdots \circ g_r)^* dx = \delta z_1^{\nu_i - 1} dy$$

on W , for K -analytic functions γ and δ on W . Then, the contribution of U to the residue of $Z_f(s)$ at s_0 is equal to

$$\frac{q-1}{qN_i \log q} \left[\int_U |\gamma|^s |\delta| |dz_2| \right]_{s=s_0}^{\text{mc}}, \quad (2.1)$$

where $[\cdot]_{s=s_0}^{\text{mc}}$ denotes the evaluation in $s = s_0$ of the meromorphic continuation of the function between the brackets. This formula was obtained by Langlands [La] in the case $r = t$ and in general by the second author in [Se1, Section 2.6].

We explain now the relations that we will need. Fix $r \in T_e$. The exceptional curve E_r is obtained by blowing-up at a point $P \in Y_{r-1}$. Let $y = (y_1, y_2)$ be local coordinates on Y_{r-1} centered at P . Write in these local coordinates

$$f \circ g_1 \circ \cdots \circ g_{r-1} = d \left(\prod_{i \in S} (a_{i2} y_1 - a_{i1} y_2)^{M_i} \right) \left(\prod_{i \in S'} h_i^{M_i}(y_1, y_2) \right) + \text{terms of higher degree,}$$

where all factors $a_{i2}y_1 - a_{i1}y_2$ and h_i are essentially different (i.e. no factor is equal to another multiplied by an element of K^\times) polynomials over K , where the h_i are irreducible homogeneous polynomials of degree at least two, where $M_i \geq 1$ for every $i \in S \cup S'$ and where $d \in K^\times$. Write also

$$(g_1 \circ \cdots \circ g_{r-1})^* dx = \left(e \prod_{i \in S} (a_{i2}y_1 - a_{i1}y_2)^{\mu_i - 1} + \text{terms of higher degree} \right) dy,$$

where $\mu_i \geq 1$ for every $i \in S$ and $e \in K^\times$. Let $s_0 = -\nu_r/N_r + (2k\pi\sqrt{-1})/(N_r \log q)$ be an arbitrary candidate pole of $Z_f(s)$ associated to E_r . We advise the reader to specialize everything what follows in this section to the case $k = 0$.

Put $\alpha_i := \mu_i + s_0 M_i$ for every $i \in S$. Because

$$N_r = \sum_{i \in S} M_i + \sum_{i \in S'} (\deg h_i) M_i \quad \text{and} \quad \nu_r = \sum_{i \in S} (\mu_i - 1) + 2,$$

it is straightforward to check that

$$\sum_{i \in S} (\alpha_i - 1) + \sum_{i \in S'} s_0 (\deg h_i) M_i = -2 + \frac{2k\pi\sqrt{-1}}{\log q}. \quad (2.2)$$

We now give another description of the α_i . Let F_i be the point on E_r which has coordinates $(a_{i1} : a_{i2})$ with respect to the homogenous coordinates $(y_1 : y_2)$ on $E_r \subset Y_r$. Let j be the unique element of $T \setminus \{r\}$ such that E_j passes through F_i in Y . Let ρ be the number of blowing-ups among g_r, \dots, g_t which are centered at F_i . Then, the announced description is $\alpha_i = \nu_j + s_0 N_j - (2\rho k\pi\sqrt{-1})/(\log q)$. The second author proved this in [Se1, Section 2.7] in the case $k = 0$, and the general case is treated in a similar way. It follows that $\text{Re}(\alpha_i) < 0$ if and only if $-\nu_r/N_r < -\nu_j/N_j$. One checks also easily that s_0 is a candidate pole of $E_j \iff \nu_j + s_0 N_j$ is a multiple of $2\pi\sqrt{-1}/(\log q) \iff \alpha_i$ is a multiple of $2\pi\sqrt{-1}/(\log q)$.

It is proved in [Lo, Proposition II.3.1] that $\text{Re}(\alpha_i) < 1$. Together with (5.2), this implies that $\text{Re}(\alpha_i) \geq -1$ and that there is at most one $i \in S$ with $\text{Re}(\alpha_i) < 0$.

The numerical data of an embedded resolution determine the candidate poles of Igusa's p -adic zeta function. We have determined in complete generality which real candidate poles are actual poles in the curve case.

Capitolul 3

Stadiul actual al cercetării în domeniu

3.1 Introducere

Proprietăți profunde ale unor obiecte matematice (corpuri de numere algebrice, varietăți algebrice, algebre, grupuri, etc) sunt codificate de anumite funcții analitice și serii formale specifice (funcții zeta, serii Hilbert, serii Poincaré). Studiul unor astfel de funcții constituie o temă de mare actualitate a Matematicii contemporane.

Funcțiile zeta locale sunt obiecte matematice relativ noi. Primele teoreme cu caracter general au fost demonstrate între anii 1968-1973. De atunci, și în special în ultimii 20 ani, au fost obținute rezultate remarcabile pe aceasta temă. Menționăm că în ultimii ani problematica legată de funcția zeta Igusa și seriile Poincaré asociate unei varietăți algebrice (analitice) definite peste un corp de numere p -adice a cunoscut o puternică dezvoltare (Igusa, Denef, Veys, Zuniga-Galindo, Segers). Aflat la granița dintre teoria numerelor și geometria algebrică, studiul funcției zeta Igusa are un caracter interdisci-

plinar, un rol important în aceste cercetări revenind și logicii matematice și teoriei modelelor (în special tehnicilor de eliminare a cuantificatorilor) dar și aritmeticii.

Obiectivul general al prezentului proiectului de cercetare îl constituie studiul funcției zeta Igusa. Având în vedere importanța funcției zeta Igusa în teoria numerelor, aritmetică, geometria algebrică, algebra combinatorială, teoria aranjamentelor de hiperplane, aplicațiile acesteia în studiul diverselor probleme din aceste domenii, strânsa legătură dintre calculul funcției zeta Igusa și criptografie la care se adaugă conexiunea între seria Poincaré (și deci implicit funcția zeta Igusa) și cifrurile pe flux, ne-am propus să extindem rezultatele cunoscute pentru funcția zeta Igusa locală asociată unei curbe și să determinăm polii funcției zeta Igusa pentru curbe.

Ținând cont de relevanța studiului polilor funcției zeta Igusa în comportarea numărului de soluții al unor congruențe polinomiale și de faptul că partea reală a polilor este subiectul Conjecturii monodromiei care a preocupat și preocupă matematicienii de marca, intenționăm să determinăm polinoamele omogene pentru care funcția zeta Igusa asociată are un pol cu partea reală $-2/n$ și, mai mult, să determinăm polii reali ai funcției zeta Igusa locale atașată curbelor definite peste un corp p -adic.

Pentru un număr prim p , notăm cu \mathbb{Q}_p corpul numerelor p -adice și cu \mathbb{Z}_p inelul întregilor p -adici.

Funcția zeta Igusa locală asociată unui polinom $F(x) = F(x_1, \dots, x_n) \in \mathbb{Z}_p[x_1, \dots, x_n]$ se definește ca fiind $Z_F(s) = \int |F(x)|^s |dx|$, integrala după x în $(\mathbb{Z}_p)^n$, pentru s număr complex, cu $\Re(s) > 0$, unde cu $|dx|$ am notat măsura Haar pe $(\mathbb{Q}_p)^n$ normalizată astfel încât $(\mathbb{Z}_p)^n$ are măsura 1, iar $|x| = p^{-v(x)}$, cu $v(x)$ valuarea p -adică a lui x .

În legătură directă cu numărul de soluții ale congruenței $F(x) \equiv 0 \pmod{p^m}$,

$m = 1, 2, 3 \dots$ apare seria Poincaré (se mai numește și seria Poincaré-Igusa) asociată polinomului $F(x)$ definită ca $P(t) = \sum N_e(p^{-nT})e$, suma după $e = 0, 1, \dots, \infty$, unde $N_0 := 1$, iar pentru $e \geq 1$, am notat cu N_e cardinalul multiplii $\{(x_1, \dots, x_n) \in (\mathbb{Z}/p^e\mathbb{Z})^n \mid F(x) = 0 \pmod{p^e}\}$. Calcularea seriei Poincaré este echivalentă cu calcularea funcției zeta Igusa locale, relația de legătură dintre cele două fiind $P(t) = (1 - tZF(s))/(1 - t)$, unde $t = p^s$.

Borevici și Safarevici au conjecturat raționalitatea seriei Poincaré $P(t)$ în cartea lor *Number Theory* publicată în limba rusă în 1964 și apoi în 1966 în limba engleză. Raționalitatea acesteia a fost demonstrată în 1974, când Igusa a introdus funcția zeta Igusa locală și a arătat că aceasta este rațională. Demonstrația acestui fapt a fost făcută folosind analiză p-adică și rezoluția singularităților a lui Hironaka în caracteristică 0. O demonstrație complet diferită a fost dată de contemporanul nostru Jan Denef folosind descompunerea celulară p-adică și teorema lui Angus Macintyre de eliminare a cuantificatorilor. Pentru a calcula explicit, pentru un polinom dat F , $ZF(s)$ și a determina polii acestuia este, în cea mai mare parte a cazurilor, o problemă dificilă. O serie de rezultate (le vom menționa doar pe cele mai importante publicate după anul 2000) au fost obținute de Igusa în cazul în care F este un invariant al unui spațiu vectorial preomogen (vezi [J. Igusa, *An introduction to the Theory of Local Zeta Functions*, AMS, 2002, Teorema 6.3.1, p.91]), la care se adaugă rezultatele lui Jan Denef, Kathleen Hoornaert, Wilson Zuniga-Galindo și Marcelo Jos Saia în cazul în care F este polinom nedegenerat relativ la poliedrul Newton asociat ([J. Denef, K.Hoornaert, *Newton polyhedra and Igusa's local zeta function*, *J.Number Theory*, 89: 31-64, 2001], [Zuniga-Galindo W.A., *Local Zeta Functions and Newton Polyhedra*, *Nagoya Math. J.*, Vol 172 (2003), 31-58], [Saia M. J., Zuniga-Galindo, W.A., *Local Zeta Functions for Curves, Non-degeneracy Conditions and Newton Polygons*,

Trans. Amer. Math. Soc. 357 (2005), no. 1, 59-88]), ale lui Margaret Robinson și Diane Meuser privind calculul funcției zeta Igusa pentru curbe eliptice ([D. Meuser, M. Robinson, Igusa Local Zeta Functions of Elliptic Curves, Mathematics of Computation, 71 (2001), no. 238, 815-823]), ale lui Wilson Zuniga-Galindo privind forma explicită a funcției zeta Igusa locale pentru așa-numitele polinoame semi-cvasiomogene ([W.A. Zuniga-Galindo, Igusa's Local Zeta Function of semiquasihomogeneous polynomials, Trans. Amer. Math. Soc. 353 (2001), pp. 3193-3207]), ale lui Dirk Segers referitoare la polii funcției zeta Igusa asociată curbelor ([D. Segers, On the smallest poles of Igusa's p-adic zeta functions, Mathematische Zeitschrift 252 (2006), 429-455], [D. Segers, Lower bound for the poles of Igusa's p-adic zeta functions, Mathematische Annalen 336 (2006), 659-669]), la care se adaugă [Denis Ibadula, The Classification of the Non-Degenerated Plane Cubics over \mathbb{Q}_p From the Point of View of the Associated Igusa Local Zeta Function, Bulletin Mathématique Soc. Sci. Math. Roumanie, Tome 49(97), No.3, 2006, pg 253-277], [Denis Ibadula, The Igusa Zeta Functions of the $GL_2(\mathbb{Q}_p)$ -orbit of Fermat's Binary Form, Contemporary Mathematics, vol. 502, American Mathematical Society, Providence, RI, 2009, 59-72] precum și rezultatele lui Mircea Mustață referitoare la polii funcției zeta Igusa asociată unui ideal monomial ([Jason Howald; Mircea Mustata; Cornelia Yuen, On Igusa zeta functions of monomial ideal, Amer. Math. Soc. 135 (2007), 3425-3433]) și preprintul foarte recent al lui Nero Budur, Morihiko Saito, Sergey Yuzvinsky, On the local zeta functions and the b-functions of certain hyperplane arrangements. Să mai adăugăm aici că unul dintre cele mai importante rezultate în domeniu este formula lui Jan Denef de calcul a funcției zeta Igusa locale $ZF(s)$ când F satisface așa-numitele de "bună-reducere mod p " ("good reduction mod p "), pentru un prim p suficient de mare ([J. Denef, On the degree of Igusa's local

zeta function , Amer.J.Math., 109: 991-1008, 1987]). Metodele de studiu a funcției zeta Igusa locală au un caracter interdisciplinar și se situează la confluența dintre teoria numerelor, geometria algebrică, la care se adaugă mai nou și teoria grupurilor (cele mai importante rezultate în această direcție sunt cele referitoare la studiul funcțiilor tip zeta Igusa pentru grupuri și inele infinite - Christopher Voll, Marcus du Sautoy și studenții acestora), algebră comutativă (vezi rezultatele lui Mircea Mustata și a colaboratorilor lui) și aranjamentele de hiperplane (Marcelo Saito, Nero Budur, Morihiko Saito, Sergey Yuzvinsky). Funcțiile zeta Igusa sunt interesante nu numai pentru a lucra cu ele, dar și pentru că au și numeroase aplicații în teoria numerelor și, mai mult, din perspectiva soluțiilor pe care le pot oferi în criptografie, una dintre principalele direcții ale cercetării științifice economice actuale. Mai mult, polii funcției zeta Igusa sunt unei conjecturi foarte interesante (conjectura monodromiei) care a preocupat și preocupa pe mulți matematicieni. Voi prezenta în continuare pe scurt câteva informații care să releve caracterul multidisciplinar al abordărilor, dar și importanța subiectului propus. Așa cum am menționat mai sus, cea mai importantă aplicație în teoria numerelor este calculul numărului de soluții al unor congruențe polinomiale (codificate de seria Poincaré) care se reduce la calculul funcției zeta Igusa locale. La sfârșitul anilor 90, Anshel și Goldfeld au arătat că există o foarte strânsă legătură între calculul funcțiilor zeta și criptografie [Anshel, M., and Goldfeld, D., Zeta functions, one-way functions and pseudorandom number generators, Duke Math. J., 88, 2 (1997), 371-390.]. Într-adevăr, cei doi au propus o nouă clasă de candidați pentru funcții one-way având la bază funcții zeta globale. O funcție one-way este o funcție F pentru care pentru fiecare x din domeniul de definiție al lui F , este ușor de calculat $F(x)$, dar pentru aproape toți y din domeniul lui F , este o problemă intractabilă găsirea unui x

astfel încât $y=F(x)$. Funcțiile one-way au un rol foarte important, atât practic cât și teoretic, în criptografia modernă. Există o strânsă legătură între seria Poincaré (și deci implicit funcția zeta Igusa) și cifrurile pe flux pe care o vom explica pe scurt în continuare. Pentru orice număr întreg $r \geq 0$ și r elemente fixate $q_i, i=1, \dots, r$, din corpul finit cu p^n elemente \mathbb{F}_p^n , un LFSR (Linear Feedback Shift Register) de lungime r constă din r celule al căror conținut inițial este $a_i \in \mathbb{F}_p^n, i=1, \dots, r$; pentru orice $n \geq r$, dacă conținutul curent al celulelor este $(a_{n-1}, \dots, a_{n-r})$, atunci a_n este determinat prin relația de recurență $a_n = \sum_{i=1}^r q_i a_{n-i}$, suma făcându-se după i de la 1 la r . Sistemul are drept output elementul cel mai din dreapta al sirului a_n și shift-eaza toate celule cu o unitate la dreapta, reinițializând apoi cu a_n cea mai din stânga celulă. Se știe de exemplu că seria Poincaré $g(x) = \sum_{i \geq 0} a_i x^i$, cu suma după $i \geq 0$ asociată unui șir obținut după procedeul descris mai sus (numită și funcția generatoare a șirului) este o funcție rațională peste \mathbb{F}_p^n de forma $g(x) = L(x)/R(x)$, unde $L(x), R(x) \in \mathbb{F}_p[x]$, $\deg(R(x)) = r$ și că există o corespondență bijectivă între LFSR-urile de lungime r cu $q_i \in \mathbb{F}_p$ și funcțiile raționale de forma $L(x)/R(x)$, cu $\deg(R(x)) = r$ și $\deg(L(x)) < r$. Legătura dintre seria Poincaré-Igusa și LFSR este acum evidentă: pentru un număr prim p fixat și pentru orice număr natural u , aplicația $F_{u,p}$ care asociază fiecărei serii Poincaré-Igusa șirul finit de numere întregi N_0, N_1, \dots, N_u (cu N_i coeficienții seriei Poincaré-Igusa) sunt LFSR-uri (sau cifrurilor pe flux) peste \mathbb{Z} . Criptografia cu chei simetrice se referă la metode de criptare în care atât trimitorul cât și receptorul folosesc aceeași cheie (sau, mai rar, în care cheile sunt diferite, dar într-o relație ce la face ușor calculabile una din cealaltă). Acest tip de criptare a fost singurul cunoscut publicului larg până în 1976 [Whitfield Diffie și Martin Hellman, "New Directions in Cryptography", IEEE Transactions on Information Theory, vol. IT-22, Nov. 1976, pp: 644-654.]. Studiul modern al cifrurilor cu

chei simetrice se leagă mai ales de studiul cifrurilor pe blocuri și al cifrurilor pe flux și al aplicațiilor acestora. Cifrurile pe flux de date, în contrast cu cele pe blocuri, creează un flux arbitrar de material-cheie, care este combinat cu textul clar, bit cu bit sau caracter cu caracter. Așa cum am explicat mai sus, într-un cifru pe flux de date, fluxul de ieșire este creat pe baza unei stări interne care se modifică pe parcursul operării cifrului. O serie de matematicieni au obținut rezultate parțiale în problema determinării polilor funcției zeta Igusa locale atașată curbilor. Studiul polilor funcției zeta Igusa locale prezintă un interes special de studiu atât pentru faptul că influențează în mod direct numărul de soluții al congruențelor polinomiale modulo o putere a unui număr prim p (polii cu partea reală cea mai mare au contribuția cea mai mare la coeficienții N_i ai seriei Poincaré $P(t)$) cât și pentru că sunt subiectul unei importante coniecturi din matematica cunoscută sub numele de Conjectura Monodromiei. Această coniectură, formulată pentru prima dată de J. Igusa pentru funcția zeta Igusa locală și apoi extinsă de Denef și Loeser pentru funcția zeta topologică asociată unei hipersuprafețe și, mai recent, pentru aranjamente de hiperplane, afirmă o remarcabilă legătură între proprietăți din sfera teoriei numerelor și proprietăți geometrice/topologice asociate unui polinom. Pe scurt, Conjectura Monodromiei afirmă că dacă s_0 este pol al funcției zeta locale topologice asociată unei hipersuprafețe (se include aici și cazul funcției zeta Igusa locale), atunci $\exp(2\pi i s_0)$ este o valoare proprie a monodromiei coomologiei fibrei Milnor. Forma tare a coniecturii spune că partea reală a oricărui pol al funcției zeta Igusa locală asociată unui polinom F este rădăcină a polinomului Bernstein-Sato (b -polinomului) b_F asociat polinomului F . Această coniectură a suscitat de-a lungul timpului interesul multor matematicieni, dintre care menționăm doar rezultatele cele mai recente: demonstrarea coniecturii în cazul funcției zeta Igusa asociată

unui ideal monomial (Jason Howald; Mircea Mustata; Cornelia Yuen, On Igusa zeta functions of monomial ideal, Amer. Math. Soc. 135 (2007), 3425-3433), demonstrarea conjecturii în forma ei slabă pentru cazul funcției zeta locale topologice asociată aranjamentelor de hiperplane (Nero Budur, Mircea Mustată Zach Teitler, The Monodromy Conjecture for Hyperplane Arrangements, preprint 2010) la care se adaugă un al preprint extrem de recent Nero Budur, Morihiko Saito, Sergey Yuzvinsky, On the local zeta functions and the b-functions of certain hyperplane arrangements, în care autorii demonstrează conjectura în forma ei tare pentru anumite aranjamente de hiperplane, inclusiv pentru cazul aranjamentelor reduse de hiperplane în spațiul afin 3-dimensional. Inițial, în studiul polilor funcției zeta Igusa locale, au fost considerate curbe absolut analitic ireductibile (adică curbe ireductibile în $\mathbb{Q}[x_1, x_2]$). Rezultate parțiale au fost obținute de Igusa ([J. Igusa, On the first terms of certain asymptotic expansions, Complex Analysis and Algebraic Geometry, Iwanami Shoten (1977), 357-368]) și Strauss ([L. Strauss, Poles of a two-variable p-adic complex power, Trans. Amer. Math. Soc. 278, 1983, 481-493]). Diane Meuser ([D. Meuser, On the Poles of a Local Zeta Function for Curves, Invent. Math. 73 (1983), 445-465]). În 1985 Igusa ([J. Igusa, Complex powers of irreducible algebroid curves, Geometry today, Roma 1984, Progress in Math. 60, Birkhauser, 1985, pp. 207-230]) a rezolvat complet problema pentru o curbă F absolut analitic ireductibilă. El a demonstrat că potențialii poli asociați unei transformări stricte ale lui F sunt poli atunci când domeniul de integrare este suficient de mic. De asemenea, un alt posibil pol asociat unei rezoluții minimale scufundate (minimal embedded resolution) asociate lui F este pol dacă și numai dacă polul este asociat unei curbe excepționale (exceptional curve) care se intersectează cu alte trei componente ireductibile ale pull-back-ului lui F . Pentru cazul gen-

eral al unui polinom arbitrar F în două nedeterminate, Loeser (F. Loeser, Fonctions d'Igusa p -adiques et polynomes de Bernstein, Amer. J. Math. 110, (1988), 1-21) a demonstrat că o curbă excepțională E_i nu contribuie la polii funcției zeta Igusa locale $ZF(s)$ dacă E_i se intersectează o dată sau de două ori cu alte componente ale pull-back-ului lui F și dacă nu există alte puncte de intersecție într-o închidere algebrică arbitrară. Acest rezultat a fost demonstrat și de Strauss în cazul absolut analitic ireductibil, caz în care ultima condiție este automat satisfăcută. Un alt rezultat remarcabil în această direcție este datorat lui Wim Veys (W. Veys, On the poles of Igusa's local zeta function for curves, J. London Math. Soc. 41 (1990), 27-32). Acesta a considerat un polinom F în două variabile peste un corp de numere (number field??) K și o rezoluție minimală a lui F peste o închidere algebrică a lui K . Situația în acest context i-a permis să folosească o formulă a lui Denef (J. Denef, On the degree of Igusa's local zeta function, Amer. J. Math. 109 (1987), 991-1008.) care se poate aplica pentru aproape toți completările p -adice ai corpului K și pentru polinoame F cu "bună reducere mod p ". În aceste ipoteze, Veys a determinat polii funcției zeta Igusa pentru orice număr prim p suficient de mare folosind următoarea construcție. Fie K o extindere de grad finit a lui \mathbb{Q}_p , $F(x)=F(x_1, \dots, x_n)$ un polinom în n variabile din $K[x]$, fie $\pi : X \rightarrow K^n$ o rezoluție scufundată (embedded resolution) pentru $F=0$ astfel încât π este proiectivă și $\pi^{-1}(F^{-1}(0))$ are numai intersecții normale (normal crossing) în X (existența (X, π) este asigurată de teorema lui Hironaka referitoare la existența unei rezoluții a singularităților ??). Fie (N_j, π_j) , cu $j=1, \dots, r$ caracteristicile numerice asociate rezoluției (X, π) a lui F . Cu aceste notații, un rezultat cunoscut în domeniul următor: din demonstrația dată de Igusa raționalității funcției zeta Igusa locale folosind teorema lui Hironaka de existență a unei rezoluții a singularităților că o compunere de blowing-up-

uri, rezultă ca orice posibil pol real al lui $Z_F(s)$ poate fi exprimat sub forma $s_0 = -j/Nj$, cu $j \in \mathbb{T}$. Vom numi această listă drept lista posibililor poli reali ai funcției zeta Igusa locale. Pentru determinarea polilor lui $Z_F(s)$ Veys a eliminat din această listă falșii posibili poli folosind pentru calculul funcției zeta Igusa locale formula lui Jan Denef de calcul a funcției zeta Igusa pentru polinoame cu o "bună reducere mod p " ("good reduction mod p ") și pentru un prim p suficient de mare.

3.2 Inelul \mathbb{Z}_p și corpul \mathbb{Q}_p

3.2.1 Definiții generale

Fie p un număr prim fixat. Pentru orice n număr natural $n \geq 1$ fie $A_n := \mathbb{Z}/p^n\mathbb{Z}$ inelul claselor de resturi mod p^n . Unui element din A_n îi asociem un element din A_{n-1} prin aplicația

$$\begin{aligned} \phi_n : A_n &\rightarrow A_{n-1} \\ \phi_n(x \bmod p^n) &= x \bmod p^{n-1}, \end{aligned}$$

care este un morfism surjectiv de inele având nucleul $p^{n-1}A_n$.

Șirul

$$\dots \rightarrow A_n \rightarrow A_{n-1} \rightarrow \dots \rightarrow A_2 \rightarrow A_1$$

formează un sistem proiectiv de inele comutative unitare indexat de întregi ≥ 1 .

Definiția 3.1. *Inelul întregilor p -adici \mathbb{Z}_p este limita proiectivă a sistemului proiectiv $(A_n, \phi_n)_{n \geq 1}$ definit mai sus.*

Prin definiție, un element din $\mathbb{Z}_p = \varprojlim_{n \geq 1} (A_n, \phi_n)$ este un șir $x = (x_n)_{n \geq 1}$, cu $x_n \in A_n$ și $\phi_n(x_n) = x_{n-1}$, pentru $n \geq 2$. Adunarea și înmulțirea în \mathbb{Z}_p se definesc pe componente: dacă $x, y \in \mathbb{Z}_p$, cu $x = (x_n)_{n \geq 1}$ și $y = (y_n)_{n \geq 1}$, atunci

$$x + y : = (x_n + y_n)_{n \geq 1} \in \mathbb{Z}_p$$

$$x \cdot y : = (x_n \cdot y_n)_{n \geq 1} \in \mathbb{Z}_p.$$

Prin urmare, \mathbb{Z}_p este un subinel al inelului produs $\prod_{n \geq 1} A_n$.

3.2.2 Proprietățile inelului \mathbb{Z}_p

Fie $\epsilon_n : \mathbb{Z}_p \rightarrow A_n$ proiecția canonică: ϵ_n asociază unui întreg p -adic $x = (x_n)_{n \geq 1}$ componenta sa de pe poziția n , x_n .

Propoziția 3.2. Pentru orice $n \geq 1$, șirul

$$0 \rightarrow \mathbb{Z}_p \xrightarrow{p^n} \mathbb{Z}_p \xrightarrow{\epsilon_n} A_n \rightarrow 0,$$

este un șir exact de grupuri abeliene, unde aplicația $\mathbb{Z}_p \xrightarrow{p^n} \mathbb{Z}_p$ este înmulțirea cu p^n . În particular,

$$\mathbb{Z}_p/p^n \mathbb{Z}_p \cong \mathbb{Z}/p^n \mathbb{Z}.$$

Demonstrație: Înmulțirea cu p (prin urmare și înmulțirea cu p^n) este o aplicație injectivă în \mathbb{Z}_p . Într-adevăr, dacă $x = (x_n)_{n \geq 1}$ este un întreg p -adic astfel încât $px = 0$, rezulta că $px_{n+1} = 0$ pentru orice n din \mathbb{N} și x_{n+1} este de forma $p^n y_{n+1}$, cu $y_{n+1} \in A_{n+1}$. Din $x_n = \phi_{n+1}(x_{n+1})$ rezulta că x_n este divizibil cu p^n și, prin urmare, este zero.

Morfismul ϵ_n este, în mod evident, surjectiv. Să mai verificăm că nucleul lui ϵ_n coincide cu imaginea lui \mathbb{Z}_p prin prima aplicație, adică cu $p^n\mathbb{Z}_p$. Este clar că nucleul lui ϵ_n conține $p^n\mathbb{Z}_p$; reciproc, dacă $x = (x_n)_{n \geq 1}$ este un element din $\ker(\epsilon_m)$, rezultă că $x_m \equiv 0 \pmod{p^n}$, pentru orice $m \geq n$, ceea ce înseamnă că există un element y_{m-n} în A_{m-n} astfel încât imaginea sa prin izomorfismul $A_{m-n} \rightarrow p^n\mathbb{Z}/p^m\mathbb{Z} \subset A_m$ satisface $x_m \equiv p^n \pmod{y_{m-n}}$. y_i definește astfel un element y din $\mathbb{Z}_p = \varprojlim A_i$ și se verifică imediat ca $p^n y = x$, ceea ce încheie demonstrația propoziției. \square

Propoziția 3.3. a) *Un element din \mathbb{Z}_p (respectiv A_n) este inversabil dacă și numai dacă nu este divizibil cu p .*

b) *Dacă notăm cu U grupul elementelor inversabile din \mathbb{Z}_p (i.e. $U = \mathbb{Z}_p^\times$) atunci orice element nenul din \mathbb{Z}_p poate fi scris în mod unic sub forma $p^n u$, cu $u \in U$ și $n \geq 0$. (Un element din U se numește **unitate p -adică**).*

Demonstrație: **a)** Este suficient să verificăm a) pentru A_n , afirmația pentru \mathbb{Z}_p rezultând imediat din acesta. Fie $x \in A_n$ un element care nu se găsește în pA_n . Atunci imaginea sa în $A_1 = \mathbb{F}_p$ este un element inversabil (fiind diferit de zero): exista $y, z \in A_n$ astfel încât $xy = 1 - pz$, de unde

$$xy(1 + pz + \dots + p^{n-1}z^{n-1}) = 1,$$

ceea ce arată că x este inversabil.

b) Pe de altă parte, dacă $x \in \mathbb{Z}_p$ este diferit de zero, există un cel mai mare număr natural n astfel încât $x_n = \epsilon_n(x)$ este zero. Atunci $x = p^n u$ și u nu este divizibil cu p , adică $u \in U$, conform cu a). Unicitatea scrierii este clară. \square

Notăție: Fie x un element din \mathbb{Z}_p diferit de zero care se scrie sub forma $x = p^n u$, cu $u \in U$. Numărul natural n se numește **valuarea p -adică a lui**

x și se notează $v_p(x)$.

Prin convenție, $v_p(0) = +\infty$. Sunt adevărate relațiile:

$$\begin{aligned} v_p(xy) &= v_p(x) + v_p(y), \\ v_p(x+y) &\geq \min\{v_p(x), v_p(y)\}. \end{aligned}$$

Din aceste formule rezultă imediat că \mathbb{Z}_p este un domeniu de integritate.

Propoziția 3.4. *Idealele proprii ale inelului \mathbb{Z}_p sunt idealele de forma $p^n\mathbb{Z}_p$, cu $n \in \mathbb{N}_{\geq 1}$.*

Demonstrație: Fie \underline{a} un ideal propriu al lui \mathbb{Z}_p și x un element nenul din \underline{a} de forma $p^n u$, cu $u \in U$ astfel încât $v_p(x) = n$ este minimă. Vom arăta că $\underline{a} = p^n\mathbb{Z}_p$.

Incluziunea $p^n\mathbb{Z}_p \subseteq \underline{a}$ este clară. Reciproc, fie y un element din idealul \underline{a} de forma $p^m z$, cu $z \in U$. Atunci, deoarece $m \geq n$, y se poate scrie sub forma $y = p^n(p^{m-n}z) \in p^n\mathbb{Z}_p$, ceea ce încheie demonstrația propoziției.

□

Propoziția 3.5. *Topologia pe \mathbb{Z}_p se definește prin distanța*

$$d(x, y) := p^{-v_p(x-y)}.$$

Inelul \mathbb{Z}_p este un spațiu metric complet în care \mathbb{Z} este dens.

Demonstrație: Idealele $p^n\mathbb{Z}_p$ formează o bază de vecinătăți a lui 0. Deoarece $x \in p^n\mathbb{Z}_p$ este echivalent cu faptul că $v_p(x) \geq n$, topologia pe \mathbb{Z}_p este definită prin distanța $d(x, y) := p^{-v_p(x-y)}$. Deoarece \mathbb{Z}_p este compact, este complet. De asemenea, dacă $x = (x_n)_{n \geq 1}$ este un element din \mathbb{Z}_p , și dacă $y_n \in \mathbb{Z}$ astfel încât $y_n \equiv x_n \pmod{p^n}$, atunci $\lim y_n = x$, ceea ce arată că \mathbb{Z} este dens în \mathbb{Z}_p .

□

3.2.3 Corpul \mathbb{Q}_p

Definiția 3.6. *Corpul numerelor p -adice, notat cu \mathbb{Q}_p , este corpul de fracții al lui inelului \mathbb{Z}_p .*

Se observă că $\mathbb{Q}_p = \mathbb{Z}_p[\frac{1}{p}]$. Orice element x din \mathbb{Q}_p^\times poate fi scris în mod unic sub forma $p^n u$, cu $n \in \mathbb{Z}$, $u \in U$. Aici n se numește **valuarea p -adica** a lui x și se notează $v_p(x)$. Dacă $v_p(x) \geq 0$, atunci x se găsește în \mathbb{Z}_p . Altfel, dacă $v_p(x)$ este număr negativ,

$$v_p(p^{-v_p(x)}x) = -v_p(x) + v_p(x) = 0,$$

ceea ce arată că $p^{-v_p(x)}x \in \mathbb{Z}_p$.

Propoziția 3.7. *Corpul \mathbb{Q}_p , cu topologia definită de $d(x, y) := p^{-v_p(x-y)}$, este local compact și \mathbb{Z}_p este un subinel al său. Corpul \mathbb{Q} este dens în \mathbb{Q}_p .*

Demonstrație: Evident. □

Observația 3.8. *Se mai poate defini \mathbb{Q}_p (respectiv \mathbb{Z}_p) ca fiind completatul lui \mathbb{Q} (respectiv \mathbb{Z}) în raport cu distanța p -adică d .*

3.3 Grupul multiplicativ al corpului \mathbb{Q}_p

Pentru a descrie tipurile de izomorfism peste \mathbb{Q}_p ale formelor cubice binare peste \mathbb{Q}_p avem nevoie, pentru început, de structura grupului multiplicativ \mathbb{Q}_p^* .

3.3.1 Filtrarea grupului unitaților

Fie $U := \mathbb{Z}_p^*$ grupul unitaților p -adice. Pentru $n \geq 1$, notăm cu U_n următorul subgrup al lui U :

$$U_n := 1 + p^n \mathbb{Z}_p := \{1 + p^n x \mid x \in \mathbb{Z}_p\}.$$

Sa remarcăm faptul că U_n este nucleul morfismului de grupuri

$$\begin{aligned} \epsilon_n : U &\rightarrow (\mathbb{Z}/p^n \mathbb{Z})^* \\ \epsilon_n(u) &\equiv u \pmod{p^n \mathbb{Z}_p}, \text{ pentru orice } u \in U. \end{aligned}$$

În particular, pentru $n = 1$, obținem șirul exact:

$$1 \rightarrow U_1 \rightarrow U \xrightarrow{\epsilon_1} (\mathbb{Z}/p\mathbb{Z})^* \rightarrow 1;$$

prin urmare, $U/U_1 \cong (\mathbb{Z}/p\mathbb{Z})^* \cong \mathbb{Z}/(p-1)\mathbb{Z}$ este un grup ciclic de ordin $p-1$.

Subgrupurile U_n , pentru $n \geq 1$, formează un șir descrescător de subgrupuri deschise ale lui U :

$$U := U_0 \geq U_1 \geq U_2 \geq \dots \geq U_n \geq \dots,$$

iar $U = \varprojlim_{n \geq 1} U/U_n$, întrucât

$$U = \mathbb{Z}_p^* = \left(\varprojlim_{n \geq 1} \mathbb{Z}/p^n \mathbb{Z} \right)^* \cong \varprojlim_{n \geq 1} (\mathbb{Z}/p^n \mathbb{Z})^* \cong \varprojlim_{n \geq 1} U/U_n.$$

Propoziția 3.9. *Cu notațiile de mai sus, pentru orice $n \geq 1$, aplicația:*

$$\begin{aligned} U_n &\rightarrow \mathbb{Z}/p\mathbb{Z} \\ 1 + p^n x &\mapsto x \pmod{p}, \quad \forall x \in \mathbb{Z}_p, \end{aligned}$$

induce izomorfismul

$$U_n/U_{n+1} \xrightarrow{\sim} \mathbb{Z}/p\mathbb{Z}.$$

Demonstrație: Pentru x și x_2 în \mathbb{Z}_p ,

$$(1 + p^n x)(1 + p^n x_2) = 1 + p^n(x + x_2) + p^{2n}xx_2 \equiv 1 + p^n(x + x_2) \pmod{p^{n+1}},$$

întrucât $2n \geq n + 1$.

Morfismul este surjectiv, iar nucleul său este, în mod evident, U_{n+1} . \square

Corolar 3.10. Pentru orice $n \geq 1$, grupul factor U_1/U_n are ordinul p^{n-1} .

Demonstrație: Inducție după n . Pentru $n = 1$ afirmația este verificată. Să presupunem că $(U_1 : U_n) = p^{n-1}$. Cum

$$U_{n+1} \leq U_n \leq U_1,$$

rezultă, ținând cont și de propoziția precedentă, că

$$(U_1 : U_{n+1}) = (U_1 : U_n) \cdot (U_n : U_{n+1}) = p^{n-1} \cdot p = p^n$$

\square

Lema 3.11. Fie

$$0 \longrightarrow A \longrightarrow E \longrightarrow B \longrightarrow 0$$

un șir exact de grupuri abeliene finite (notate aditiv), cu $(A : 0) = a$, $(B : 0) = b$ și $(a, b) = 1$.

Fie B' mulțimea acelor $x \in E$ pentru care $bx = 0$.

Atunci grupul E este suma directă a grupurilor A și B' . Mai mult, B' este unicul subgrup al lui E izomorf cu B .

Demonstrație: Deoarece a și b sunt prime între ele, există $r, s \in \mathbb{Z}$ astfel încât $ar + bs = 1$. Fie acum $x \in A \cap B'$; rezulta că $ax = bx = 0$. Atunci

$$x = 1 \cdot x = (ar + bs)x = arx + bsx = 0,$$

deci $A \cap B' = 0$. De asemenea,

$$x = 1 \cdot x = \underbrace{bsx}_{\in A} + \underbrace{arx}_{\in B'} :$$

din $bB' = 0$, rezulta $bE \subset A$, deci $bsx \in A$; pe de altă parte, din $barx = 0$, obținem $arx \in B'$. Am demonstrat astfel că $E = A \oplus B'$.

Este clar faptul că B' este un subgrup al lui E izomorf cu B . Să arătăm că este singurul. Fie B'' un alt subgrup al lui E izomorf cu B . Atunci $bB'' = 0$ și deci $B'' \subset B'$. Dar B' și B'' , fiind ambele izomorfe cu B , au același cardinal. Rezulta $B'' = B'$. \square

Propoziția 3.12. Pentru $U := \mathbb{Z}_p^*$ și $U_1 = 1 + p\mathbb{Z}_p$, avem:

$$U = V \times U_1,$$

unde $V = \{x \in U \mid x^{p-1} = 1\}$ este unicul subgrup al lui U izomorf cu \mathbb{F}_p^* .

Demonstratie: Pentru a demonstra această propoziție, vom aplica lema precedentă șirului exact:

$$0 \longrightarrow U_1/U_n \longrightarrow U/U_n \longrightarrow \mathbb{F}_p^* \longrightarrow 0,$$

lucru care este posibil datorită faptului că ordinul lui U_1/U_n este p^{n-1} , ordinul lui \mathbb{F}_p^* este $p-1$ și $(p^{n-1}, p-1) = 1$. Conform lemei, $V_n = \{x \in U/U_n \mid x^{p-1} = 1\}$ este unicul subgrup al lui U/U_n izomorf cu \mathbb{F}_p^* . Proiecția $U/U_{n+1} \rightarrow U/U_n$ duce V_{n+1} în V_n . Fie $V := \varprojlim_{n \geq 1} V_{n+1} = \{x \in U \mid x^{p-1} = 1\}$. Cum $U = \varprojlim_{n \geq 1} U/U_n$ obținem, prin trecere la limită, că V este unicul subgrup al lui U izomorf cu \mathbb{F}_p^* . Rezultă că $U = V \times U_1$, iar unicitatea lui V rezultă din unicitatea lui V_n . \square

Din teorema precedentă rezultă imediat următorul corolar:

Corolar 3.13. Corpul \mathbb{Q}_p conține rădăcinile unității de ordin $p-1$. \square

Definiția 3.14. Grupul $V = \{x \in U \mid x^{p-1} = 1\}$ se numește **grupul reprezentanților** lui \mathbb{F}_p^* în \mathbb{Q}_p^* .

3.3.2 Structura grupului $U_1 := 1 + p\mathbb{Z}_p$

Lema 3.15. Fie $x \in U_n - U_{n+1}$ cu $n \geq 1$, dacă $p \neq 2$ și $n \geq 2$, dacă $p = 2$. Atunci $x^p \in U_{n+1} - U_{n+2}$.

Demonstrație: Deoarece $x \in U_n - U_{n+1}$, rezulta ca $x = 1 + p^n x_2$, cu $x_2 \in \mathbb{Z}_p - p\mathbb{Z}_p$. Să calculăm x^p :

$$x^p = (1 + p^n x_2)^p = 1 + \binom{p}{1} p^n y + \sum_{i=2}^{p-1} \binom{p}{i} p^{ni} y^i + p^{np} y^p.$$

Exponentul lui p din fiecare termen al sumei $\sum_{i=2}^{p-1} \binom{p}{i} p^{ni} y^i$ este $\geq 2n+1$, deci $\geq n+2$. Dar și $np \geq n+2$ (datorită faptului că $n \geq 2$ pentru $p = 2$); rezultă atunci că

$$x^p \equiv 1 + p^{n+1} y \pmod{p^{n+2}},$$

deci $x^p \in U_{n+1} - U_{n+2}$. □

Propoziția 3.16. 1) Dacă $p \neq 2$, atunci U_1 este izomorf cu \mathbb{Z}_p .

2) Dacă $p = 2$, atunci $U_1 = \{\pm 1\} \times U_2$ și U_2 este izomorf cu \mathbb{Z}_2 .

Demonstrație: 1) Fie pentru început p un număr prim, $p \neq 2$ și α un element din $U_1 - U_2$, de exemplu $\alpha = 1 + p$.

Din lema precedentă, avem $\alpha^p \in U_2 - U_3$ și, inductiv, obținem $\alpha^{p^n} \in U_{n+1} - U_{n+2}$, pentru orice $n \geq 1$.

Notând cu $\alpha_n := \alpha \pmod{U_n}$, $\alpha_n \in U_1/U_n$ pentru $n \geq 1$, observăm că $\alpha^{p^{n-1}} = 1$ și $\alpha^{p^{n-2}} \neq 1$. Dar știm că $(U_1 : U_n) = p^{n-1}$; rezultă că U_1/U_n este

un grup ciclic generat de α_n . Morfismul surjectiv

$$\begin{aligned} \mathbb{Z} &\twoheadrightarrow U_1/U_n \\ i &\mapsto \alpha_n^i \end{aligned}$$

are nucleul $p^{n-1}\mathbb{Z}$; să notăm cu $\varphi_{n,\alpha} : \mathbb{Z}/p^{n-1}\mathbb{Z} \rightarrow U_1/U_n$ izomorfismul indus de acesta.

Deoarece diagrama:

$$\begin{array}{ccccc} \mathbb{Z} & \longrightarrow & \mathbb{Z}/p^n\mathbb{Z} & \xrightarrow{\varphi_{n+1,\alpha}} & U_1/U_{n+1} & \longleftarrow & U_1 \\ & \searrow & \downarrow & & \downarrow & & \swarrow \\ & & \mathbb{Z}/p^{n-1}\mathbb{Z} & \xrightarrow{\varphi_{n,\alpha}} & U_1/U_n & & \end{array}$$

este comutativă, rezultă că familia de izomorfisme $(\varphi_{n,\alpha})_{n \geq 1}$ este coerentă.

Prin urmare, $\varphi_n := \varprojlim_{n \geq 1} \varphi_{n,\alpha}$ definește un izomorfism

$$\varphi_\alpha : \varprojlim_{n \geq 1} \mathbb{Z}/p^{n-1}\mathbb{Z} \rightarrow \varprojlim_{n \geq 1} U_1/U_n,$$

adică de la $\mathbb{Z}_p = \varprojlim_{n \geq 1} \mathbb{Z}/p^{n-1}\mathbb{Z}$ în $U_1 = \varprojlim_{n \geq 1} U_1/U_n$.

2) Fie un $\alpha \in U_2 - U_3 := (1 + 4\mathbb{Z}_2) - (1 + 8\mathbb{Z}_2)$, de forma $\alpha = 1 + 4x$, unde x nu este multiplu de 2 în \mathbb{Z}_2 ; rezulta $x \equiv 1 \pmod{2}$ și deci $\alpha \equiv 5 \pmod{8}$.

Folosind Lema 3.15, obținem inductiv $\alpha^{2^n} \in U_{n+2} - U_{n+3}$, pentru $n \geq 1$. Ca și în cazul precedent, notând $\alpha_n := \alpha \pmod{U_n} \in U_2/U_n$, pentru $n \geq 2$, obținem că U_2/U_n este un grup ciclic de ordin 2^{n-2} generat de α_n .

Fie $\varphi_{n,\alpha} : \mathbb{Z}/2^{n-2}\mathbb{Z} \rightarrow U_2/U_n$ izomorfismul indus de $\mathbb{Z} \rightarrow U_2/U_n$, $i \in \mathbb{Z} \mapsto \alpha_n^i$; familia de morfisme $(\varphi_{n,\alpha})_{n \geq 2}$ este coerentă, i.e. diagrama

$$\begin{array}{ccccc} \mathbb{Z} & \longrightarrow & \mathbb{Z}/2^{n-1}\mathbb{Z} & \xrightarrow{\varphi_{n+1,\alpha}} & U_2/U_{n+1} & \longleftarrow & U_2 \\ & \searrow & \downarrow & & \downarrow & & \swarrow \\ & & \mathbb{Z}/2^{n-2}\mathbb{Z} & \xrightarrow{\varphi_{n,\alpha}} & U_2/U_n & & \end{array}$$

este comutativă, pentru $n \geq 2$. Rezultă că $\varphi_n := \varprojlim_{n \geq 1} \varphi_{n,\alpha}$ definește un izomorfism de la \mathbb{Z}_p în U_2 :

$$\varphi_\alpha : \underbrace{\varprojlim_{n \geq 2} \mathbb{Z}/2^{n-2}\mathbb{Z}}_{\cong \mathbb{Z}_p} \rightarrow \underbrace{\varprojlim_{n \geq 2} U_2/U_n}_{\cong U_2}.$$

Pe de altă parte, morfismul surjectiv

$$\begin{aligned} U_1 := 1 + 2\mathbb{Z}_2 &\rightarrow (\mathbb{Z}/2\mathbb{Z}, +) \rightarrow 0 \\ 1 + 2x &\mapsto x \pmod{2\mathbb{Z}_2} \end{aligned}$$

are nucleul U_2 . Deci, avem șirul exact:

$$1 \rightarrow U_2 \rightarrow U_1 \rightarrow \mathbb{Z}/2\mathbb{Z} \rightarrow 0,$$

de unde obținem:

$$U_1 = U_2 \times \{1, -1\} \cong U_2 \times \mathbb{Z}/2\mathbb{Z}.$$

□

3.3.3 Structura grupului multiplicativ \mathbb{Q}_p^*

Vom formula și demonstra următoarea teoremă de structură a grupului multiplicativ al corpului \mathbb{Q}_p , \mathbb{Q}_p^* .

Teorema 3.17 (Teorema de structură a lui \mathbb{Q}_p^*). *Grupul multiplicativ \mathbb{Q}_p^* este izomorf cu $\mathbb{Z} \times \mathbb{Z}_p \times \mathbb{Z}/(p-1)\mathbb{Z}$, dacă $p \neq 2$ și cu $\mathbb{Z} \times \mathbb{Z}_2 \times \mathbb{Z}/2\mathbb{Z}$, dacă $p = 2$.*

Demonstrație: Orice element $x \in \mathbb{Q}_p^*$ se poate scrie, în mod unic, sub forma $x = p^n u$, unde $n = v_p(x) \in \mathbb{Z}$ și $u \in U$. Prin urmare,

$$\mathbb{Q}_p^* \cong \langle p \rangle \times U \cong (\mathbb{Z}, +) \times U.$$

Dar din Propoziția 3.12, $U \cong V \times U_1$, unde V este ciclic de ordin $p - 1$, deci izomorf cu $\mathbb{Z}/(p - 1)\mathbb{Z}$. Prin urmare,

$$\mathbb{Q}_p^* \cong \mathbb{Z} \times V \times U_1,$$

și teorema rezultă acum din Propoziția 3.16. \square

3.3.4 Patrate în \mathbb{Q}_p^*

Teorema 3.18. *Fie p un număr prim, $p \neq 2$ și fie $x = p^n u$ un element din \mathbb{Q}_p^* , cu $n \in \mathbb{Z}$ și $u \in U$.*

*Atunci $x \in \mathbb{Q}_p^{*2}$, i.e. elementul x este pătrat, dacă și numai dacă n este par și $\bar{u} := u \pmod{U_1}$ este patrat, i.e. $\left(\begin{smallmatrix} \bar{u} \\ p \end{smallmatrix} \right) = 1$ (simbolul Legendre al lui \bar{u} este 1).*

Demonstrație: Fie $u = v \cdot u_1$, cu $v \in V$ și $u_1 \in U_1$. Deoarece

$$\mathbb{Q}_p^* \cong \mathbb{Z} \times V \times U_1,$$

rezulta ca x este patrat daca si numai daca n este par si v si u_1 sunt patrate. Numărul prim p fiind diferit de 2, U_1 este izomorf cu \mathbb{Z}_p și 2 este inversabil în \mathbb{Z}_p ; prin urmare, toate elementele lui U_1 sunt pătrate, i.e. $U_1 = U_1^2$. Pe de altă parte, conform Propoziției 3.12, V este izomorf cu \mathbb{F}_p^* și teorema este acum demonstrată. \square

Corolar 3.19. *Dacă p este un număr prim diferit de 2, atunci*

$$\mathbb{Q}_p^*/\mathbb{Q}_p^{*2} \cong \mathbb{Z}/2\mathbb{Z} \times \mathbb{Z}/2\mathbb{Z},$$

*iar un sistem de reprezentanți este $\{1, p, u, up\}$, cu $u \in U$ astfel încât $u \pmod{U_1} \notin \mathbb{F}_p^{*2}$.*

Demonstrație: Din Teorema 3.17 de structura a lui \mathbb{Q}_p^* și teorema precedentă, obținem:

$$\mathbb{Q}_p^*/\mathbb{Q}_p^{*2} \cong \frac{\mathbb{Z} \times V \times U_1}{2\mathbb{Z} \times V^2 \times U_1^2} \cong \frac{\mathbb{Z}}{2\mathbb{Z}} \times \frac{\mathbb{F}_p^*}{\mathbb{F}_p^{*2}} \times \frac{U_1}{U_1} \cong \mathbb{Z}/2\mathbb{Z} \times \mathbb{Z}/2\mathbb{Z},$$

deoarece $(p, 2) = 1$. Cum ultima parte a enunțului este evidentă, corolarul este demonstrat. \square

Teorema 3.20. *Un element $x = p^n u$ din \mathbb{Q}_2^* este pătrat dacă și numai dacă n este par și $u \equiv 1 \pmod{8}$.*

Demonstrație: Deoarece $U = U_1 \cong \{\pm 1\} \times U_2$, $u \in U$ este pătrat dacă și numai dacă $u \in U_2$ și este pătrat în U_2 . Ținând cont acum de faptul că $U_2^2 = U_3$, obținem că $u \in U$ este pătrat dacă și numai dacă $u \equiv 1 \pmod{8}$, ceea ce încheie demonstrația teoremei. \square

Corolar 3.21. $\mathbb{Q}_2^*/\mathbb{Q}_2^{*2} \cong \mathbb{Z}/2\mathbb{Z} \times \mathbb{Z}/2\mathbb{Z} \times \mathbb{Z}/2\mathbb{Z}$, iar un sistem de reprezentanți este $\{\pm 1, \pm 5, \pm 2, \pm 10\}$.

Demonstrație: Din teorema precedentă, obținem:

$$\mathbb{Q}_2^*/\mathbb{Q}_2^{*2} \cong \frac{\mathbb{Z} \times U}{2\mathbb{Z} \times U_3} \cong \mathbb{Z}/2\mathbb{Z} \times U/U_3.$$

Din $U \cong \{\pm 1\} \times U_2$ rezulta că

$$U/U_3 \cong \frac{\{\pm 1\} \times U_2}{U_3} \cong \{\pm 1\} \times U_2/U_3 \cong \mathbb{Z}/2\mathbb{Z} \times \mathbb{Z}/2\mathbb{Z},$$

de unde

$$\mathbb{Q}_2^*/\mathbb{Q}_2^{*2} \cong \mathbb{Z}/2\mathbb{Z} \times \mathbb{Z}/2\mathbb{Z} \times \mathbb{Z}/2\mathbb{Z}.$$

Un sistem de reprezentanți în \mathbb{Q}_2^* pentru clasele modulo \mathbb{Q}_2^{*2} este constituit deci din $\{\pm 1, \pm 5, \pm 2, \pm 10\}$ ($\{\pm 1, \pm 5\}$ este un sistem de reprezentanți pentru U/U_3). \square

3.4 Lema lui Hensel și aplicații

Teorema cunoscută drept ”Lema lui Hensel” este una dintre cele mai importante proprietăți algebrice ale numerelor p -adice.

Teorema 3.22. (*”Lema lui Hensel”*) Fie $f(x)$ un polinom într-o variabilă x cu coeficienți în \mathbb{Z}_p și $k \in \mathbb{N} \setminus \{0\}$. Fie $a \in \mathbb{Z}_p$ astfel încât $f(a) \equiv 0 \pmod{p^k}$ și $f'(a) \not\equiv 0 \pmod{p}$, unde $f'(x)$ este derivata lui $f(x)$.

Atunci există un unic $\xi \in \mathbb{Z}_p$ astfel încât

$$f(\xi) = 0 \text{ și } \xi \equiv a \pmod{p^k}.$$

Demonstrație: Vom demonstra teorema pentru $k = 1$. Cazul $k > 1$ rezultă din cazul $k = 1$ aplicat polinomului $g(y) = p^{-(k-1)}f(a + p^{k-1}y)$, care are coeficienții în \mathbb{Z}_p deoarece $f(a) \equiv 0 \pmod{p^k}$.

Pentru $k = 1$, vom demonstra existența rădăcinii ξ construind un șir Cauchy care converge către ξ (idee cunoscută sub numele de ”metoda lui Newton”). Șirul $\alpha_1 = a, \alpha_2, \dots, \alpha_n, \dots$ pe care îl vom construi va avea, pentru orice $n \geq 1$, următoarele proprietăți: *i)* $f(\alpha_n) \equiv 0 \pmod{p^n}$;

$$\textit{ii)} \alpha_n \equiv \alpha_{n+1} \pmod{p^n}.$$

Este clar că un astfel de șir este Cauchy și limita sa satisface $f(\xi) = 0$ (din continuitate) și $\xi \equiv a \pmod{p}$ (din construcție). Prin urmare, dacă construim un șir $(\alpha_n)_{n \geq 1}$ cu cele două proprietăți de mai sus, teorema este demonstrată.

Fie acum $\alpha_1 = a$. Pentru a determina α_2 , din condiția *ii)*, rezultă că trebuie să avem $\alpha_2 = \alpha_1 + b_1p$, cu $b_1 \in \mathbb{Z}_p$. Înlocuind în $f(x)$ și dezvoltând în serie Taylor, obținem:

$$\begin{aligned} f(\alpha_2) &= f(\alpha_1 + b_1p) = \\ &= f(\alpha_1) + f'(\alpha_1)b_1p + \text{termeni în } p^n, \quad n \geq 2 \\ &\equiv f(\alpha_1) + f'(\alpha_1)b_1p \pmod{p^2}. \end{aligned}$$

Așadar, pentru a arata că există un α_2 cu proprietățile cerute, trebuie să demonstrăm că există un b_1 astfel încât $f(\alpha_1) + f'(\alpha_1)b_1p \equiv 0 \pmod{p^2}$. Deoarece $f(\alpha_1) \equiv 0 \pmod{p}$, $f(\alpha_1) = px$, cu $x \in \mathbb{Z}_p$ și ecuația precedentă devine $px + f'(\alpha_1)b_1p \equiv 0 \pmod{p^2}$, adică $x + f'(\alpha_1)b_1 \equiv 0 \pmod{p}$. Nefiind divizibil cu p , $f'(\alpha_1)$ este element inversabil în \mathbb{Z}_p și deci putem lua $b_1 \equiv -x(f'(\alpha_1))^{-1} \pmod{p}$. (De fapt, putem alege $b_1 \in \mathbb{Z}$, cu $0 \leq b_1 \leq p-1$). Obținem astfel $\alpha_2 = \alpha_1 + b_1p$ care are proprietățile cerute.

Am demonstrat în acest fel primul pas: dat α_1 , am determinat α_2 . Analog, construim întreg șirul $(\alpha_n)_{n \geq 1}$ care îndeplinește proprietățile cerute. \square

Una dintre aplicațiile lemei lui Hensel este **determinarea rădăcinilor unității care se găsesc în \mathbb{Q}_p** .

Să ne reamintim că un element ξ dintr-un corp arbitrar se numește *rădăcină de ordin m a unității* dacă $\xi^m = 1$ și se numește *rădăcină primitivă de ordin m a unității* dacă, în plus, $\xi^n \neq 1$, pentru orice $0 < n < m$. De exemplu, corpul numerelor reale \mathbb{R} conține doar două rădăcini ale unității: 1 și -1 . Pe de altă parte, de exemplu, ecuația $x^2 + 1 = 0$ are o rădăcină în \mathbb{Q}_5 care, în mod evident, este rădăcină de ordin 4 a unității.

Pentru a aplica lema lui Hensel, avem nevoie de un polinom. Deoarece căutăm rădăcini de ordin m ale unității, vom folosi polinomul $f(x) = x^m - 1$. Din $f'(x) = mx^{m-1}$ obținem că $f'(\lambda) = m\lambda^{m-1}$ va fi congruent cu 0 modulo p dacă sau p divide λ (caz în care λ nu mai poate fi soluție a lui $f(x) \pmod{p}$), fie p divide m . Prin urmare, cea de-a doua condiție din teorema va fi satisfăcută dacă m este divizibil cu p . Pentru prima condiție, trebuie să găsim o rădăcină a lui $f(x)$ modulo p .

Propoziția 3.23. *Fie p un număr prim fixat și m un întreg care nu este divizibil cu p . Atunci există un întreg $\alpha_1 \in \mathbb{Z}$ astfel încât $\alpha_1^m \equiv 1 \pmod{p}$ și $\alpha_1 \not\equiv 1 \pmod{p}$ dacă și numai dacă $(m, p-1) \neq 1$.*

În plus, dacă există un astfel de α_1 în \mathbb{Z} , cel mai mic întreg pozitiv m cu proprietatea de mai sus trebuie să fie divizor al lui $p - 1$.

Demonstrație: Dacă există un întreg $\alpha_1 \in \mathbb{Z}$ astfel încât $\alpha_1^m \equiv 1 \pmod{p}$ și $\alpha_1 \not\equiv 1 \pmod{p}$, atunci $\bar{\alpha}_1 \equiv \alpha_1 \pmod{p}$ este un element din grupul ciclic cu $p - 1$ elemente $(\mathbb{Z}/p\mathbb{Z})^\times$ care are ordinul un divizor al lui m . Rezulta că $(m, p - 1) \neq 1$, pentru că $\alpha_1 \not\equiv 1 \pmod{p}$.

Mai mult, cel mai mic exponent m cu acesta proprietate este un divizor al $(m, p - 1)$, deci al lui $p - 1$.

Reciproc, într-un grup ciclic de ordin $p - 1$ există elemente de orice ordin d , cu d divizor al lui $p - 1$ (dacă x este un generator, $x^{\frac{p-1}{d}}$ este un element de ordin d). \square

Astfel, din lema lui Hensel, rezultă imediat următoarea

Propoziția 3.24. Pentru orice număr prim p și orice număr întreg pozitiv m care nu este divizibil cu p , există o rădăcină primitivă de ordin m a unității în \mathbb{Q}_p dacă și numai dacă m divide $p - 1$.

Demonstrație: Rezultă folosind lema lui Hensel și propoziția anterioară. \square

Dacă m divide $p - 1$, atunci orice rădăcină de ordin m a unității este și rădăcină de ordin $p - 1$ a unității. Prin urmare, rădăcinile unității de ordin prim cu p care se găsesc în \mathbb{Q}_p sunt cele de ordin $p - 1$.

În acest mod am determinat toate rădăcinile unității din \mathbb{Q}_p , cu excepția celor de ordin o putere a lui p . Se poate arăta că acestea nu sunt în \mathbb{Q}_p , excepție făcând cazul $p = 2$, când ± 1 aparțin lui \mathbb{Q}_p .

Propoziția 3.25. 1. Multimea rădăcinilor unității din \mathbb{Q}_p formează un subgrup al lui \mathbb{Z}_p^\times .

2. Multimea rădăcinilor unității de ordin $p - 1$ din \mathbb{Q}_p este un grup ciclic de ordin $p - 1$.

Demonstrație: Cum orice rădăcină de ordin m a unității se găsește în \mathbb{Z}_p^\times (valoarea sa absolută trebuie să fie 1), rădăcinile unității de un ordin m sunt exact acele elemente din \mathbb{Z}_p^\times care satisfac $x^m = 1$. Se arată ușor că mulțimea tuturor rădăcinilor de un ordin m ale unității din orice grup formează întotdeauna un subgrup.

Pentru a vedea ca sunt exact $p - 1$ rădăcini de ordin $p - 1$ ale unității, se observă că $1, 2, \dots, p - 1$ sunt soluții ale congruenței $x^{p-1} \equiv 1 \pmod{p}$, și nu sunt congruențe între ele modulo p . Aplicând lema lui Hensel polinomului $x^{p-1} - 1$, "ridicăm" aceste soluții în \mathbb{Z}_p și obținem astfel toate cele $p - 1$ rădăcini ale acestuia care, nefiind congruente modulo p , sunt toate diferite între ele. Cum, din propoziția precedentă, orice rădăcină a unității trebuie să fie rădăcină a polinomului precedent, rezultă că acestea sunt toate rădăcinile unității din \mathbb{Q}_p . În plus, orice subgrup finit al unui corp este ciclic. \square

3.5 Măsura Haar pe \mathbb{Q}_p

Mulțimea mulțimilor măsurabile din \mathbb{Q}_p este cea mai mică submulțime a mulțimii părților lui \mathbb{Q}_p care conține mulțimile deschise din \mathbb{Q}_p și satisface următoarele proprietăți:

(M1) dacă o mulțime E este măsurabilă, atunci și complementara sa $\mathbb{Q}_p \setminus E$ este măsurabilă;

(M2) dacă $(E_n)_{n \geq 1}$ este o familie de mulțimi măsurabile, atunci și reuniunea

$\bigcup_{n \geq 1} E_n$ este măsurabilă.

De aici rezultă și că intersecție finită de mulțimi măsurabile, mulțimile închise din \mathbb{Q}_p și mulțimile compacte din \mathbb{Q}_p sunt măsurabile.

Definiția 3.26. O **măsura Haar** $meas$ pe \mathbb{Q}_p este funcție (nenula) definită pe mulțimea mulțimilor măsurabile ale lui \mathbb{Q}_p cu valori în $[0, \infty]$ care satisface următoarele proprietăți:

(H1) $meas(\emptyset) = 0$;

(H2) dacă $(E_n)_{n \geq 1}$ este o familie de mulțimi măsurabile disjuncte, atunci

$$meas \left(\bigcup_{n \geq 1} E_n \right) = \sum_{n \geq 1} meas(E_n);$$

(H3) pentru orice mulțime compactă C din \mathbb{Q}_p are loc $meas(C) < \infty$;

(H4) funcția $meas$ este invariantă la translații, adică, pentru orice mulțime măsurabilă E din \mathbb{Q}_p și pentru orice $x \in \mathbb{Q}_p$ are loc $meas(x + E) = meas(E)$;

(H5) pentru orice mulțime măsurabilă E are loc

$$meas(E) = \inf \{ meas(O) \mid O \text{ mulțime deschisă în } \mathbb{Q}_p, O \supseteq E \};$$

(H6) pentru orice mulțime deschisă O din \mathbb{Q}_p are loc

$$meas(O) = \sup \{ meas(C) \mid C \text{ mulțime deschisă în } \mathbb{Q}_p, C \subset O \}.$$

Măsura Haar $meas$ pe \mathbb{Q}_p este complet determinată dacă presupunem că măsura Haar pe mulțimea compactă \mathbb{Z}_p este egală cu 1, deoarece toate măsurile Haar pe \mathbb{Q}_p sunt egale până la un factor normalizator.

În continuare, vom arăta că $meas(\mathbb{Z}_p) = 1$ implica $meas(x + p^k\mathbb{Z}_p) = p^{-k}$, pentru orice $x \in \mathbb{Q}_p$ și orice $k \in \mathbb{N}$. Deoarece mulțimea \mathbb{Z}_p este egală cu reuniunea disjunctă $\bigcup_{a \in \{0, \dots, p^k-1\}} a + p^k\mathbb{Z}_p$, obținem:

$$1 = meas(\mathbb{Z}_p) = \sum_{a \in \{0, \dots, p^k-1\}} meas(a + p^k\mathbb{Z}_p) \quad \text{cf. (H2)}$$

$$= \sum_{a \in \{0, \dots, p^k-1\}} meas(p^k\mathbb{Z}_p) \quad \text{cf. (H4)} \quad \text{de unde rezultă}$$

$$= p^k meas(p^k\mathbb{Z}_p)$$

$$= p^k meas(x + p^k\mathbb{Z}_p), \quad \text{cf. (H4)}$$

că $meas(x + p^k\mathbb{Z}_p) = p^{-k}$.

Din proprietățile valorii pe \mathbb{Q}_p , rezultă că orice mulțime deschisă din \mathbb{Q}_p este o reuniune disjunctă de mulțimi de forma $x + p^k\mathbb{Z}_p$ cu $x \in \mathbb{Q}_p$ și $k \in \mathbb{N}$; măsura oricărei mulțimi măsurabile este determinată de (H2) și de (H5), iar măsura Haar pe \mathbb{Q}_p^n este produsul a n mulțimi măsurabile din \mathbb{Q}_p .

Capitolul 4

Funcția zeta a lui Igusa și seria Poincaré

4.1 Funcția zeta a lui Igusa și seria Poincaré - definiții generale

Definiția 4.1. Fie $f(x) = f(x_1, \dots, x_n) \in \mathbb{Z}_p[x_1, \dots, x_n]$. Pentru $z \in \mathbb{Q}_p$, notăm cu $v_p(z) \in \mathbb{Z} \cup \{\infty\}$ valoarea sa p -adică și cu $|z|_p := p^{-v_p(z)}$ valoarea sa absolută.

Funcția zeta a lui Igusa asociată lui f se definește ca fiind

$$Z_f(s) = \int_{x \in \mathbb{Z}_p^n} |f(x)|^s |dx|,$$

unde $s \in \mathbb{C}$, cu $\operatorname{Re}(s) > 0$, iar $|dx|$ reprezintă măsura Haar pe \mathbb{Q}_p^n normată astfel încât \mathbb{Z}_p^n are măsura 1.

Funcția zeta a lui Igusa $Z_f(s)$ conține toate informațiile referitoare la numărul de soluții modulo p^e ale congruenței $f(x) \equiv 0 \pmod{p^e}$, $e = 1, 2, 3, \dots$, fiind strâns legată de seria Poincaré asociată lui f , pe care o definim în con-

tinuare.

Definiția 4.2. Fie $f(x) = f(x_1, \dots, x_n) \in \mathbb{Z}_p[x_1, \dots, x_n]$. **Seria Poincaré asociată lui f** este seria formală

$$P(t) = \sum_{e=0}^{\infty} N_e p^{-ne} t^e,$$

unde N_e reprezintă cardinalul mulțimii

$$\{x + p^e \mathbb{Z}_p^n \mid x \in \mathbb{Z}_p^n \text{ și } f(x) \equiv 0 \pmod{p^e}\},$$

pentru $e \geq 1$ și $N_0 = 1$.

Relația dintre seria Poincaré asociată lui f și funcția zeta a lui Igusa $Z_f(s)$ este dată în următoarea propoziție:

Propoziția 4.3. Fie $f(x) = f(x_1, \dots, x_n) \in \mathbb{Z}_p[x_1, \dots, x_n]$, $t := p^{-s}$, cu $s \in \mathbb{C}$ și $\operatorname{Re}(s) > 0$.

Atunci

$$Z_f(s) = P(t) - \frac{P(t) - 1}{t} \quad \text{și} \quad P(t) = \frac{1 - tZ_f(s)}{1 - t}.$$

Demonstrație: Vom rescrie funcția zeta a lui Igusa asociată lui F astfel:

$$\begin{aligned} Z_f(s) &= \int_{x \in \mathbb{Z}_p^n} |f(x)|^s |dx| = \\ &= \sum_{e=0}^{\infty} \int_{\{x \in \mathbb{Z}_p^n \mid v_p(f(x)) = e\}} |f(x)|^s |dx| = \\ &= \sum_{e=0}^{\infty} p^{-es} \cdot \operatorname{meas} \{x \in \mathbb{Z}_p^n \mid v_p(f(x)) = e\}, \end{aligned}$$

unde cu $\operatorname{meas} \{x \in \mathbb{Z}_p^n \mid v_p(f(x)) = e\}$ am notat măsura Haar a mulțimii.

Ținând cont de definiția valorii și de proprietățile măsurii Haar, obținem:

$$\begin{aligned}
& \text{meas} \{x \in \mathbb{Z}_p^n \mid v_p(f(x)) = e\} = \\
& = \text{meas} \left(\{x \in \mathbb{Z}_p^n \mid f(x) \equiv 0 \pmod{p^e}\} \setminus \{x \in \mathbb{Z}_p^n \mid f(x) \equiv 0 \pmod{p^{e+1}}\} \right) = \\
& = \text{meas} \left(\{x \in \mathbb{Z}_p^n \mid f(x) \equiv 0 \pmod{p^e}\} \right) - \text{meas} \left(\{x \in \mathbb{Z}_p^n \mid f(x) \equiv 0 \pmod{p^{e+1}}\} \right) = \\
& = \text{meas} \bigcup_{\substack{a \in \{0,1,\dots,p^e-1\}^n, \\ f(a) \equiv 0 \pmod{p^e}}} a + p^e \mathbb{Z}_p^n - \\
& \quad - \text{meas} \bigcup_{\substack{a \in \{0,1,\dots,p^{e+1}-1\}^n, \\ f(a) \equiv 0 \pmod{p^{e+1}}}} a + p^{e+1} \mathbb{Z}_p^n = \\
& = N_e p^{-en} - N_{e+1} p^{-(e+1)n}.
\end{aligned}$$

Prin urmare, am obținut:

$$\begin{aligned}
Z_f(s) & = \sum_{e=0}^{\infty} p^{-es} (N_e p^{-en} - N_{e+1} p^{-(e+1)n}) = \\
& = \sum_{e=0}^{\infty} N_e p^{-en} (p^{-s})^e - \sum_{e=0}^{\infty} N_{e+1} p^{-n(e+1)} (p^{-s})^e = \\
& = P(t) - \frac{P(t) - 1}{t}
\end{aligned}$$

□

Folosind rezoluția singularităților, Igusa [Igu74] a arătat că $Z_f(s)$ este o funcție rațională în p^{-s} (vezi și [Igu78]). O demonstrație complet diferită a raționalității seriei Poincaré a fost dată, zece ani mai târziu, de Jan Denef în [Den84] care a folosit descompunerea celulară p -adica în locul rezoluției singularităților a lui Hironaka.

Să facem următoarea observație: faptul că $Z_f(s)$ este o funcție rațională în p^{-s} arată că infinitate de informații, și anume numerele N_e , pentru orice $e \in \mathbb{N}$, este conținută într-un număr finit de coeficienți ai numărătorului și numitorului funcției raționale zeta. Polii lui $Z_f(s)$ și ordinul acestora

determină comportamentul numărului de soluții ale congruenței $f(x) \equiv 0 \pmod{p^e}$, pentru e suficient de mare. Mai mult, polii care au partea reală cea mai mare au cea mai mare contribuție la aceste numere (pentru e suficient de mare). Dacă $f(0) = 0$, toți N_e din Definiția 4.2 sunt > 0 . Deci, în acest caz, Definiția 4.2, legătura dintre $Z_f(s)$ și $P(t)$ din Propoziția 4.3 și raționalitatea acestora implică faptul că seria $Z_f(s)$ are cel puțin un pol.

4.2 Formula fazei staționare

În [Igu94], Igusa a introdus o formula pe care a numit-o ”*formula fazei staționare*”, care permite calcularea efectivă a multor funcții zeta Igusa. Demonstrația pe care a dat-o Igusa în articolul menționat folosește așa-numitele ”*restricted power series*”. Demonstrația pe care o vom face în această secțiune este una elementară, dată de Denef și Hoornaert în [DH01] și are la bază lema lui Hensel.

4.2.1 Calculul unei integrale bine-cunoscute folosind

Lema lui Hensel

Propoziția 4.4. *Fie $f(x) = f(x_1, \dots, x_n) \in \mathbb{Z}_p[x_1, \dots, x_n]$ și $a \in \mathbb{Z}_p^n$ astfel încât sistemul de congruențe:*

$$\begin{cases} f(x) \equiv 0 \pmod{p}, \\ \frac{\partial f}{\partial x_i}(x) \equiv 0 \pmod{p}, \quad i = 1, \dots, n, \end{cases}$$

nu are soluții în $a + (p\mathbb{Z}_p)^n$.

Pentru o variabilă complexă s cu $\operatorname{Re}(s) > 0$, avem:

$$\int_{a+(p\mathbb{Z}_p)^n} |f(x)|^s |dx| = \begin{cases} p^{-n} & , \text{daca } f(a) \not\equiv 0 \pmod{p}, \\ p^{-n}(p-1) \frac{p^{-(s+1)}}{1-p^{-(s+1)}} & , \text{daca } f(a) \equiv 0 \pmod{p}, \end{cases}$$

unde $|dx|$ reprezintă măsura Haar pe \mathbb{Q}_p^n normalată astfel încât \mathbb{Z}_p^n are măsura 1.

Observația 4.5. Propoziția de mai sus reprezintă, de fapt, un caz special al unui rezultat mai general (vezi [Den87]), dar aici vom da o demonstrație bazată pe Lema lui Hensel. Din propoziția de mai sus rezultă imediat următorul corolar care ne va fi foarte util în calculul funcțiilor zeta Igusa asociate diferitelor polinoame.

Corolar 4.6. Fie p un număr prim și $f(x) = f(x_1, \dots, x_n) \in \mathbb{Z}_p[x_1, \dots, x_n]$. Fie \bar{f} polinomul cu coeficienți în \mathbb{F}_p obținut din f prin reducerea modulo $p\mathbb{Z}_p$ a coeficienților lui f . Să notăm cu N numărul de elemente al mulțimii $\{a \in \mathbb{F}_p^\times \mid \bar{f}(a) = 0\}$. Să presupunem că sistemul de congruențe

$$\begin{cases} f(x) \equiv 0 \pmod{p}, \\ \frac{\partial f}{\partial x_i}(x) \equiv 0 \pmod{p}, \quad i = 1, \dots, n, \end{cases}$$

nu are soluții în $(\mathbb{Z}_p^\times)^n$. Atunci, pentru o variabilă complexă s cu $\operatorname{Re}(s) > 0$, avem:

$$\int_{a+(p\mathbb{Z}_p)^n} |f(x)|^s |dx| = p^{-n} \left((p-1)^n - pN \frac{(p^s - 1)}{p^{s+1} - 1} \right),$$

unde $|dx|$ reprezintă măsura Haar pe \mathbb{Q}_p^n normalată astfel încât \mathbb{Z}_p^n are măsura 1.

Demonstrație: Deoarece $\bigcup_{a \in \{1, \dots, p\}^n} a + (p\mathbb{Z}_p)^n$ reprezintă o partiție a lui $(\mathbb{Z}_p^\times)^n$, obținem:

$$\begin{aligned} \int_{(\mathbb{Z}_p^\times)^n} |f(x)|^s |dx| &= \sum_{\substack{a \in \{0, 1, \dots, p-1\}^n \\ f(a) \not\equiv 0 \pmod{p}}} \int_{a+(p\mathbb{Z}_p)^n} |f(x)|^s |dx| + \\ &+ \sum_{\substack{a \in \{0, 1, \dots, p-1\}^n \\ f(a) \equiv 0 \pmod{p}}} \int_{a+(p\mathbb{Z}_p)^n} |f(x)|^s |dx|. \end{aligned}$$

Din condiția pusă în enunțul Corolarului 4.6 și din Propoziția 4.4 rezultă că:

$$\begin{aligned} \int_{(\mathbb{Z}_p^\times)^n} |f(x)|^s |dx| &= ((p-1)^n - N) p^{-n} + N p^{-n} (p-1) \frac{p^{-(s+1)}}{1 - p^{-(s+1)}} = \\ &= p^{-n} \left((p-1)^n - N \frac{1 - p^{-s}}{1 - p^{-(s+1)}} \right). \end{aligned}$$

□

Din Teorema 3.22 lui Hensel, rezultă ușor următorul corolar:

Corolar 4.7. Fie $f(x) \in \mathbb{Z}_p[x]$, $k \in \mathbb{N} \setminus \{0\}$. Fie $a \in \mathbb{Z}_p$ astfel încât $f(a) \equiv 0 \pmod{p^k}$ și $f'(a) \not\equiv 0 \pmod{p}$. Atunci există un $\xi \in \mathbb{Z}_p$ astfel încât

$$\xi + p^k \mathbb{Z}_p = \{x \in a + p\mathbb{Z}_p \mid f(x) \equiv 0 \pmod{p^k}\}.$$

Demonstrație: Din Teorema 3.22, rezultă că există un unic $\xi \in \mathbb{Z}_p$ astfel încât $f(\xi) = 0$ și $\xi \equiv a \pmod{p^k}$. Vrem să arătăm că

$$\xi + p^k \mathbb{Z}_p = \{x \in a + p\mathbb{Z}_p \mid f(x) \equiv 0 \pmod{p^k}\}.$$

Pentru incluziunea \subseteq , fie $x \in \mathbb{Z}_p$ astfel încât $x \equiv \xi \pmod{p^k}$. Atunci $x \equiv \xi \equiv a \pmod{p}$ și $f(x) \equiv f(\xi) \equiv 0 \pmod{p^k}$.

Reciproc, pentru incluziunea \supseteq , fie $x \in a + p\mathbb{Z}_p$ astfel încât $f(x) \equiv 0 \pmod{p^k}$. Deoarece $x \equiv a \pmod{p}$, rezultă $f'(x) \equiv f'(a) \not\equiv 0 \pmod{p}$. Din Teorema 3.22, rezultă atunci că există un unic $\eta \in \mathbb{Z}_p$ astfel încât $f(\eta) = 0$ și $\eta \equiv x \pmod{p^k}$. Mai mult, $\eta \equiv x \equiv a \pmod{p}$ și, din unicitatea lui ξ , obținem $\eta = \xi$ și deci $x \equiv \xi \pmod{p^k}$. □

Corolarul precedent se poate generaliza pentru polinoame în mai multe variabile:

Lema 4.8. Fie $f(x) = f(x_1, \dots, x_n) \in \mathbb{Z}_p[x_1, \dots, x_n]$ și $k \in \mathbb{N} \setminus \{0\}$. Fie $a = (a_1, \dots, a_n) \in \mathbb{Z}_p^n$ astfel încât $f(a) \equiv 0 \pmod{p}$ și $(\frac{\partial f}{\partial x_1})(a) \not\equiv 0 \pmod{p}$. Fie $\xi_2, \dots, \xi_n \in \mathbb{Z}_p$ cu $\xi_i \equiv a_i \pmod{p}$, pentru $i = 2, \dots, n$.

Atunci exista un $\xi_1 = \xi_1(\xi_2, \dots, \xi_n) \in \mathbb{Z}_p$ astfel incat, pentru orice $x_2, \dots, x_n \in \mathbb{Z}_p$ cu proprietatea că $x_i \equiv \xi_i \pmod{p^k}$, cu $i = 2, \dots, n$, avem:

$$\xi_1 + p^k \mathbb{Z}_p = \{x_1 \in a_1 + p\mathbb{Z}_p \mid f(x_1, \dots, x_n) \equiv 0 \pmod{p^k}\}.$$

De aici rezulta ca mulțimea $\{(x_1, \dots, x_n) \in a + (p\mathbb{Z}_p)^n \mid f(x_1, \dots, x_n) \equiv 0 \pmod{p^k}\}$ este egală cu

$$\bigcup (\xi_1(\xi_2, \dots, \xi_n), \xi_2, \dots, \xi_n) + (p^k \mathbb{Z}_p)^n,$$

reuniunea de mai sus făcându-se după toate acele $(n-1)$ -upluri $(\xi_2 + p^k \mathbb{Z}_p, \dots, \xi_n + p^k \mathbb{Z}_p)$, cu $\xi_i \equiv a_i \pmod{p}$, cu $i = 2, \dots, n$.

Observația 4.9. Este clar faptul că avem un rezultat similar pentru orice altă variabilă x_i care satisface $(\frac{\partial f}{\partial x_i})(a) \not\equiv 0 \pmod{p}$.

Demonstrație: Lema de mai sus rezultă din Corolarul 4.7 deoarece

$f(x_1, x_2, \dots, x_n) \equiv f(x_1, \xi_2, \dots, \xi_n) \pmod{p^k}$ pentru orice $x_2, \dots, x_n \in \mathbb{Z}_p$ cu $x_i \equiv \xi_i \pmod{p^k}$; $f(a_1, \xi_2, \dots, \xi_n) \equiv f(a_1, a_2, \dots, a_n) \equiv 0 \pmod{p}$ și $(\frac{\partial f}{\partial x_1})(a_1, \xi_2, \dots, \xi_n) \equiv (\frac{\partial f}{\partial x_1})(a_1, a_2, \dots, a_n) \not\equiv 0 \pmod{p}$. \square

4.10 (Demonstrația Propoziției 4.4).

Cazul 1: $f(a) \not\equiv 0 \pmod{p}$. Pentru orice $x \in a + (p\mathbb{Z}_p)^n$, avem: $f(x) \equiv f(a) \not\equiv 0 \pmod{p}$. Prin urmare, $v_p(f(x)) = 0$ și $|f(x)|^s = 1$, pentru orice $x \in a + (p\mathbb{Z}_p)^n$. Rezultă că:

$$\int_{a+(p\mathbb{Z}_p)^n} |f(x)|^s |dx| = \int_{a+(p\mathbb{Z}_p)^n} 1 |dx| = p^{-n}.$$

Cazul 2: $f(a) \equiv 0 \pmod{p}$. Pentru orice $x \in a + (p\mathbb{Z}_p)^n$, avem: $f(x) \equiv f(a) \equiv 0 \pmod{p}$. Prin urmare, $v_p(f(x)) \geq 1$, pentru orice $x \in a + (p\mathbb{Z}_p)^n$.

Rezultă că:

$$\begin{aligned} \int_{a+(p\mathbb{Z}_p)^n} |f(x)|^s |dx| &= \sum_{k=1}^{\infty} \int_{\substack{x \in a+(p\mathbb{Z}_p)^n \\ v_p(f(x))=k}} |f(x)|^s |dx| = \\ &= \sum_{k=1}^{\infty} p^{-ks} \cdot \text{meas} \{x \in a + (p\mathbb{Z}_p)^n \mid v_p(f(x)) = k\}. \end{aligned}$$

Vom arăta că măsura mulțimii $\{x \in a + (p\mathbb{Z}_p)^n \mid v_p(f(x)) = k\}$ este $p^{-k-n+1} - p^{-k-n}$. Dacă arătăm acest lucru, obținem:

$$\begin{aligned} \int_{a+(p\mathbb{Z}_p)^n} |f(x)|^s |dx| &= \sum_{k=1}^{\infty} p^{-ks} (p^{-k-n+1} - p^{-k-n}) = \\ &= p^{-n}(p-1) \sum_{k=1}^{\infty} (p^{-(s+1)})^k = \\ &= p^{-n}(p-1) \frac{p^{-(s+1)}}{1-p^{-(s+1)}}, \end{aligned}$$

deoarece $\text{Re}(s) > 0$ implică faptul că modulul lui $p^{-(s+1)}$ este < 1 .

Să demonstrăm acum afirmația de mai sus, și anume faptul că măsura mulțimii $\{x \in a + (p\mathbb{Z}_p)^n \mid v_p(f(x)) = k\}$ este $p^{-k-n+1} - p^{-k-n}$. Cum mulțimea de mai sus este complementul mulțimii $\{x \in a + (p\mathbb{Z}_p)^n \mid f(x) \equiv 0 \pmod{p^{k+1}}\}$ în

$\{x \in a + (p\mathbb{Z}_p)^n \mid f(x) \equiv 0 \pmod{p^k}\}$, din aditivitatea măsurii Haar, rezultă că este suficient să arătăm că mulțimea $\{x \in a + (p\mathbb{Z}_p)^n \mid f(x) \equiv 0 \pmod{p^k}\}$ are măsura p^{-k-n+1} , pentru $k \in \mathbb{N} \setminus \{0\}$.

Din ipoteza Propoziției 4.4 și din faptul că $f(a) \equiv 0 \pmod{p}$, rezulta ca exista un $i \in \{1, \dots, n\}$ astfel încât $(\frac{\partial f}{\partial x_i})(a) \not\equiv 0 \pmod{p}$. Putem presupune acum, fără pierderea generalității, că $(\frac{\partial f}{\partial x_1})(a) \not\equiv 0 \pmod{p}$. Din Lema 4.8 rezultă atunci că mulțimea $\{x \in a + (p\mathbb{Z}_p)^n \mid f(x) \equiv 0 \pmod{p^k}\}$ este egală cu reuniunea

$$\bigcup (\xi_1 (\xi_2, \dots, \xi_n), \xi_2, \dots, \xi_n) + (p^k \mathbb{Z}_p)^n,$$

unde ξ_1 (ξ_2, \dots, ξ_n) este ca în Lema 4.8 și reuniunea se face după toate acele $(n-1)$ -upluri $(\xi_2 + p^k \mathbb{Z}_p, \dots, \xi_n + p^k \mathbb{Z}_p)$, cu $\xi_i \equiv a_i \pmod{p}$, pentru $i = 2, \dots, n$. Aceasta reuniune este în mod evident disjunctă și măsura lui $\xi + (p^k \mathbb{Z}_p)^n$ este p^{-kn} . Obținem astfel că mulțimea $\{x \in a + (p\mathbb{Z}_p)^n \mid f(x) \equiv 0 \pmod{p^k}\}$ are măsura egală cu $p^{(k-1)(n-1)} p^{-kn} = p^{-k-n+1}$. \square

4.2.2 Formula Fazei staționare

Teorema 4.11 (Formula Fazei staționare; SPF-stationary phase formula).

Fie p un număr prim și $f(x) = f(x_1, x_2, \dots, x_n) \in \mathbb{Z}_p[x]$. Fie $\bar{f} \in \mathbb{F}_p[x]$ polinomul obținut din f prin reducerea modulo $p\mathbb{Z}_p$ a coeficienților. Fie \bar{E} o submulțime a lui \mathbb{F}_p^n și fie \bar{S} submulțimea sa formată din toți acei $\bar{a} \in \bar{E}$ soluții ale sistemului

$$\begin{cases} \bar{f}(\bar{a}) = 0 \\ \frac{\partial \bar{f}}{\partial x_i}(\bar{a}) = 0, \quad i = 1, \dots, n. \end{cases}$$

Să notăm cu E, S preimaginele lui \bar{E}, \bar{S} prin proiecția canonică $\mathbb{Z}_p^n \rightarrow \mathbb{Z}_p^n/p\mathbb{Z}_p^n$ și cu N numărul de elemente al mulțimii $\{\bar{a} \in \bar{E} \mid \bar{f}(\bar{a}) = 0\}$. Atunci

$$\begin{aligned} \int_E |f(x)|^s |dx| &= p^{-n} (\text{card}(\bar{E}) - N) + p^{-n} (N - \text{card}(\bar{S})) \frac{(1 - p^{-1})t}{1 - p^{-1}t} + \\ &+ \int_S |f(x)|^s |dx|, \end{aligned}$$

unde $t := p^{-s}$, iar cu $\text{card}(\bar{E}), \text{card}(\bar{S})$ am notat cardinalul mulțimilor \bar{E} , respectiv \bar{S} și cu $|dx|$ măsura Haar pe \mathbb{Q}_p^n , normată astfel încât \mathbb{Z}_p^n are măsura 1.

Observația 4.12. *Aceasta teoremă este demonstrată în [Igu00], folosind SRP-uri ("special restricted power series"). Aici vom prefera să dăm o demonstrație elementară, folosind rezultatele precedente.*

Demonstrație: Evident,

$$\int_E |f(x)|^s |dx| = \int_S |f(x)|^s |dx| + \int_{E \setminus S} |f(x)|^s |dx|.$$

Să calculăm cea de-a doua integrală. Pentru toți $a \in \mathbb{Z}_p^n$, notăm cu $\bar{a} = a \pmod{p}$; obținem:

$$\int_{E \setminus S} |f(x)|^s |dx| = \sum_{\bar{a} \in \bar{E} \setminus \bar{S}} \int_{x \in a + (p\mathbb{Z}_p)^n} |f(x)|^s |dx|.$$

Desfacem suma de mai sus în două părți:

i) $\bar{a} \in \bar{E} \setminus \bar{S}$, cu $\bar{f}(\bar{a}) \neq 0$;

ii) $\bar{a} \in \bar{E} \setminus \bar{S}$, astfel încât $\bar{f}(\bar{a}) = 0$ și există $1 \leq i \leq n$ cu $\frac{\partial \bar{f}}{\partial x_i}(\bar{a}) \neq 0$.

În cazul *i)*, conform Propoziției 4.4 (condiția din ipoteza propoziției este satisfăcută deoarece $\bar{a} \in \bar{E} \setminus \bar{S}$), $\int_{x \in a + (p\mathbb{Z}_p)^n} |f(x)|^s |dx| = p^{-n}$. Deoarece numărul acelor \bar{a} care satisfac *i)* este $\text{card}(\bar{E} - N)$, am obținut că:

$$\sum_{\{\bar{a} \in \bar{E} \setminus \bar{S} | \bar{f}(\bar{a}) \neq 0\}} \int_{x \in a + (p\mathbb{Z}_p)^n} |f(x)|^s |dx| = p^{-n} (\text{card}(\bar{E} - N)).$$

În cazul *ii)*, conform Propoziției 4.4, deoarece numărul acelor \bar{a} care satisfac *ii)* este $N - \text{card}(\bar{S})$, am obținut că

$$\sum_{\left\{ \begin{array}{l} a \in \bar{E} \setminus \bar{S} | \bar{f}(\bar{a}) = 0, \\ \exists 1 \leq i \leq n \text{ a.i. } \frac{\partial \bar{f}}{\partial x_i}(\bar{a}) \neq 0 \end{array} \right\}} \int_{x \in a + (p\mathbb{Z}_p)^n} |f(x)|^s |dx| = (N - \text{card}(\bar{S})) p^{-n} t \frac{1 - p^{-1}}{1 - p^{-1}t},$$

ceea ce încheie demonstrația teoremei. □

Propoziția 4.13 (Igusa). *Fie p un număr prim și $f(x) = f(x_1, \dots, x_n) \in \mathbb{Z}_p[x_1, \dots, x_n]$ un polinom omogen de grad d astfel încât singura soluție a sistemului*

$$\begin{cases} \bar{f}(\bar{a}) & = 0 \\ \frac{\partial \bar{f}}{\partial x_i}(\bar{a}) & = 0 \quad i=1, \dots, n, \end{cases}$$

este $\bar{a} = 0$. Dacă notăm cu N numărul de elemente al mulțimii $\{\bar{a} \in \mathbb{F}_p^n \mid \bar{f}(\bar{a}) = 0\}$,

atunci:

$$Z_f(s) = \frac{(1 - p^{-1})(1 - p^{-n})t + (1 - p^{-n})N(1 - t)}{(1 - p^{-1}t)(1 - p^{-n}t^d)},$$

unde $t := p^{-s}$, cu $s \in \mathbb{C}$ astfel încât $\operatorname{Re}(s) > 0$.

Demonstrație: În teorema precedentă, luând $\bar{E} = \mathbb{F}_p^n$, din ipoteza propoziției rezultă că $\bar{S} = 0$, adică $E = \mathbb{Z}_p^n$ și $S = (p\mathbb{Z}_p)^n$. Aplicând formula fazei staționare, obținem:

$$\begin{aligned} Z_f(s) &= \int_{x \in \mathbb{Z}_p^n} |f(x)|^s |dx| = p^{-n}(p^n - N) + p^{-n}(N - 1) \frac{(1 - p^{-1})t}{1 - p^{-1}t} + \\ &+ \int_{x \in (p\mathbb{Z}_p)^n} |f(x)|^s |dx|. \end{aligned}$$

În integrala de mai sus, dacă facem schimbarea de variabilă $y = px$, obținem $|dy| = p^{-n} |dx|$. Pe de altă parte, deoarece f este un polinom omogen de grad d , $f(px) = p^d f(x)$ și avem:

$$\int_{x \in (p\mathbb{Z}_p)^n} |f(x)|^s |dx| = p^{-n} t^d \int_{x \in \mathbb{Z}_p^n} |f(x)|^s |dx| = p^{-n} t^d Z_f(s).$$

Înlocuind în formula de mai sus, obținem $Z_f(s)$ ca în enunțul propoziției. \square

4.2.3 Exemple

1) Fie p un număr prim diferit de 2 și 3, $f(x_1, x_2) = x_1^3 + x_2^3 \in \mathbb{Z}_p[x_1, x_2]$ forma cubică binară Fermat și $Z_f(s)$ funcția zeta Igusa asociată. Dacă notăm cu \bar{f} polinomul obținut din f prin reducerea modulo $p\mathbb{Z}_p$ a coeficienților, avem $\bar{f}(x_1, x_2) = x_1^3 + x_2^3 \in \mathbb{F}_p[x_1, x_2]$, $\frac{\partial \bar{f}}{\partial x_1}(x_1, x_2) = 3x_1^2$, $\frac{\partial \bar{f}}{\partial x_2}(x_1, x_2) = 3x_2^2$.

Cu notațiile din SPF , fie $\bar{E} = \mathbb{F}_p^2$. Cum p este un număr prim diferit de 3, soluția în \mathbb{F}_p^2 a sistemului

$$\begin{cases} x_1^3 + x_2^3 = 0 \\ 3x_1^2 = 0 \\ 3x_2^2 = 0 \end{cases}$$

este $\bar{S} = (0, 0)$. Prin urmare, $E = \mathbb{Z}_p^2$ și $S = p\mathbb{Z}_p \times p\mathbb{Z}_p$.

Dacă calculăm numărul N de elemente ale mulțimii $\{\bar{x} \in \mathbb{F}_p^2 \mid \bar{f}(\bar{x}) = 0\}$, obținem:

$$N = \begin{cases} 3(p-1) + 1 = 3p - 2, & \text{daca } p \equiv 1 \pmod{3}, \\ p, & \text{daca } p \equiv 2 \pmod{3}. \end{cases}$$

Aplicând formula fazei staționare, obținem:

$$\begin{aligned} Z_f(s) &= \int_{\mathbb{Z}_p^2} |f(x)|^s |dx| = p^{-2} [(p^2 - N) + p^{-2}(N - 1)] \frac{(1 - p^{-1})t}{1 - p^{-1}t} + \\ &+ \int_{(p\mathbb{Z}_p)^2} |x_1^3 + x_2^3|^s |dx_1| |dx_2|. \end{aligned}$$

Să calculăm acum integrala de mai sus. Cu schimbarea de variabilă $(x_1, x_2) := (py_1, py_2)$, rezulta $|dx_1| = p^{-1} |dy_1|$, $|dx_2| = p^{-1} |dy_2|$ și integrala devine:

$$\begin{aligned} \int_{(p\mathbb{Z}_p)^2} |x_1^3 + x_2^3|^s |dx_1| |dx_2| &= p^{-2} t^3 \int_{\mathbb{Z}_p^2} |x_1^3 + x_2^3|^s |dx_1| |dx_2| = \\ &= p^{-2} t^3 Z_f(s). \end{aligned}$$

Prin urmare, făcând calculele, obținem că:

$$Z_f(s) = \begin{cases} \frac{(1-p^{-1})(1-2p^{-1}+2p^{-1}t-p^{-2}t)}{(1-p^{-1}t)(1-p^{-2}t^3)} = \frac{(p-1)(p^2-2p+2tp-t)}{(p-t)(p^2-t^3)}, & \text{daca } p \equiv 1 \pmod{3} \\ \frac{(1-p^{-1})(1-p^{-2}t)}{(1-p^{-1}t)(1-p^{-2}t^3)} = \frac{(p-1)(p^2-t)}{(p-t)(p^2-t^3)}. & \text{daca } p \equiv 2 \pmod{3} \end{cases}$$

Să mai remarcăm aici faptul că funcția zeta Igusa asociată formei cubice binare Fermat $x_1^3 + x_2^3$ se mai putea calcula folosind Propoziția lui Igusa 4.13:

deoarece $\bar{f}(x_1, x_2) = x_1^3 + x_2^3$, $\frac{\partial \bar{f}}{\partial x_1}(x_1, x_2) = 3x_1^2$, iar $\frac{\partial \bar{f}}{\partial x_2}(x_1, x_2) = 3x_2^2$, rezultă că singura soluție a sistemului $\bar{f}(x_1, x_2) = \frac{\partial \bar{f}}{\partial x_1}(x_1, x_2) = \frac{\partial \bar{f}}{\partial x_2}(x_1, x_2) = 0$ este $(0, 0)$ și, astfel, ipoteza de nedegenerare din propoziția lui Igusa este satisfăcută.

2) Fie p un număr prim diferit de 2 și 3 și $f(x_1, x_2) = px_1^3 + x_2^3 \in \mathbb{Z}_p[x_1, x_2]$.

Să calculăm funcția zeta Igusa asociată lui f .

Deoarece $\bar{f}(x_1, x_2) = x_2^3$, $\frac{\partial \bar{f}}{\partial x_1}(x_1, x_2) = 0$, $\frac{\partial \bar{f}}{\partial x_2}(x_1, x_2) = 3x_2^2$, cum $p \neq 3$, rezultă că soluțiile sistemului:

$$\begin{cases} \bar{f}(x_1, x_2) = 0 \\ \frac{\partial \bar{f}}{\partial x_1}(x_1, x_2) = 0 \\ \frac{\partial \bar{f}}{\partial x_2}(x_1, x_2) = 0, \end{cases}$$

echivalent cu

$$\begin{cases} x_2^3 = 0 \\ 3x_2^2 = 0 \end{cases}$$

sunt de forma $\bar{S} = \{(x_1, 0) | x_1 \in \mathbb{F}_p\}$ și, prin urmare, $S = \mathbb{Z}_p \times p\mathbb{Z}_p$. Pe de altă parte, numărul de elemente al mulțimii $\{\bar{x} \in \mathbb{F}_p^2 | \bar{f}(\bar{x}) = 0\}$ este $N = p$.

Cu formula fazei staționare, obținem:

$$\begin{aligned} Z_f(s) &= p^{-2}(p^2 - p) + p^{-2}(p - p) \frac{(1 - p^{-1})t}{1 - p^{-1}t} + \int_{\mathbb{Z}_p \times (p\mathbb{Z}_p)} |px_1^3 + x_2^3|^s |dx_1| |dx_2| = \\ &= (1 - p^{-1}) + p^{-1}t \int_{\mathbb{Z}_p^2} |x_1^3 + p^2x_2^3|^s |dx_1| |dx_2| \end{aligned}$$

Pentru calculul integralei din relația de mai sus, mai aplicăm o dată SPF.

Avem:

$$\begin{aligned} Z_f(s) &= 1 - p^{-1} + p^{-1}t \left(1 - p^{-1} + p^{-1}t^2 \int_{\mathbb{Z}_p^2} |px_1^3 + x_2^3|^s |dx_1| |dx_2| \right) = \\ &= (1 - p^{-1}) + p^{-1}t (1 - p^{-1} + p^{-1}t^2 Z_f(s)). \end{aligned}$$

Am obținut astfel că:

$$Z_f(s) = \frac{(p-1)(p+t)}{p^2-t^3}.$$

4.3 Corpuri locale. Structura grupului multiplicativ al unui corp local.

Definiția 4.14. Să ne reamintim că un corp valuat $(K, |\cdot|)$ se numește **complet** dacă orice șir Cauchy $(a_n)_{n \in \mathbb{N}}$ din K converge către un element $a \in K$ i.e.

$$\lim_{n \rightarrow \infty} |a_n - a| = 0.$$

Definiția 4.15. Prin **sir Cauchy** înțelegem un șir $(a_n)_{n \in \mathbb{N}}$ cu proprietatea că pentru orice $\epsilon > 0$ există $N \in \mathbb{N}$ astfel încât

$$|a_n - a_m| < \epsilon, \text{ pentru orice } n, m \geq N.$$

Din orice corp valuat $(K, |\cdot|)$ putem obține un corp valuat complet $(\hat{K}, |\cdot|)$ prin procesul de *completare* în același mod în care este construit corpul numerelor reale pornind de la corpul numerelor raționale. Pentru un corp valuat complet $(K, |\cdot|)$ și L o extindere algebrică a lui K , valuarea de pe K se extinde în mod unic la o valuare pe L . Mai precis are loc:

Teorema 4.16. Fie $(K, |\cdot|)$ un corp valuat complet și L/K o extindere algebrică a lui K de grad finit $[L : K] = n$. Atunci $|\cdot|$ se extinde în mod unic la o valuare pe L dată prin formula

$$|\alpha| = \sqrt[n]{N_{L/K}(\alpha)}, \text{ pentru orice } \alpha \in L,$$

unde $N_{L/K}(\alpha)$ reprezintă norma lui α în extinderea L/K . În acest caz, L este de asemenea complet.

Demonstrație: Vezi [Neu99], pagina 131. \square

Dintre toate corpurile valuate complete (nearhimedeene) cele care apar drept completatul unui *corp global* i.e. o extindere finită a lui \mathbb{Q} sau $\mathbb{F}_p(t)$ au cea mai mare importanța în teoria numerelor. Valuarea unui astfel de corp complet este *discretă* (i.e. grupul sau de valuare este izomorf cu \mathbb{Z}), iar corpul rezidual este finit.

Definiția 4.17. *Toate corpurile care sunt complete în raport cu o valuare discretă și au corpul rezidual finit se numesc **corpuri locale**.*

Propoziția 4.18. *Un corp K este local dacă și numai dacă este o extindere finită a lui \mathbb{Q}_p sau $\mathbb{F}_p((t))$.*

Demonstrație: Vezi [Neu99], pagina 135. \square

De fapt, se arată că corpurile locale de caracteristică p sunt seriile de puteri $\mathbb{F}_q((t))$, unde q este o putere a lui p , iar corpurile locale de caracteristică 0 sunt extinderi finite ale lui \mathbb{Q}_p și se numesc *corpuri de numere p -adice*.

Structura grupului multiplicativ K^* a unui corp local K este următoarea:

Teorema 4.19 (Structura grupului multiplicativ local compact K^* al unui corp local K). *Fie K un corp local și $q = p^f$ numărul de elemente din corpul său rezidual. Au loc atunci următoarele afirmații:*

1) *Dacă K este un corp de caracteristică 0,*

$$K^* \cong \mathbb{Z} \oplus \mathbb{Z}/(q-1)\mathbb{Z} \oplus \mathbb{Z}/p^a\mathbb{Z} \oplus \mathbb{Z}_p^d,$$

unde $a \geq 0$ și $d = [K : \mathbb{Q}_p]$ (algebric și topologic).

2) *Dacă K este un corp de caracteristică p ,*

$$K^* \cong \mathbb{Z} \oplus \mathbb{Z}/(q-1)\mathbb{Z} \oplus \mathbb{Z}_p^{\mathbb{N}} \text{ (algebric și topologic).}$$

Demonstrație: Vezi [Neu99]. \square

Capitolul 5

Rezultate fundamentale privind funția zeta Igusa

5.1 Prezentarea rezultatelor fundamentale urmărite

Invariantii numerici asociați unei rezoluții scufundate determină polii candidați ai funcției zeta Igusa. În această lucrare determinăm, în completă generalitate, care poli reali candidați sunt poli în cazul curbelor. O serie de matematicieni au obținut rezultate parțiale legate de determinarea polilor reali ai funcției zeta Igusa pentru curbe. În această lucrare am determinat polii reali pentru un polinom arbitrar f în două variabile care este definit peste un corp p -adic. Interesul pentru polii funcției zeta Igusa $Z_f(s)$ este justificat pe de o parte de faptul că aceștia determină comportamentul asimptotic al numărului de soluții al congruențelor polinomiale, iar pe de alta parte deoarece aceștia sunt subiectul unei renumite conjecturi matematice: conjectura momodromiei (vezi de exemplu [Den91]).

Cronologic, au fost considerate la început curbe absolut analitic ireductibile. Rezultate parțiale au fost obținute de Igusa [Ig1] și Strauss [St]. Meuser [Me]

a determinat polii reali, dar nu a considerat polul candidat -1 . În 1985 Igusa [Ig2] a rezolvat problema complet. El a demonstrat polii candidați asociați unei transformări stricte ale lui f sunt poli cand domeniul de integrare este suficient de mic. Mai mult, un alt pol candidat al unei rezoluții minimale scufundate ale lui f este pol dacă și numai dacă este asociat unei curbe excepționale care este intersectată de alte trei componente ireductibile ale pull back-ului lui f . Am incorporat o generalizare a acestui rezultat în Propoziția 5.7.

În cazul general, Loeser [Lo] a demonstrat că o curbă excepțională E_i nu contribuie la polii lui $Z_f(s)$ dacă E_i este intersectat o dată sau de două ori de alte componente ale pull back-ului lui f și dacă nu sunt alte puncte de intersecție peste o închidere algebrică. Acest lucru a fost demonstrat pentru prima dată de Strauss în cazul absolut analitic ireductibil, caz în care ultima condiție este automat satisfăcută.

Următoarea lucrare pe care vrem să o menționăm este [Ve1] a lui Veys. El a considerat polinoame f în două variabile peste un corp de numere F și a luat o rezoluție minimală scufundată a lui f peste o închidere algebrică a lui F . Acest context i-a permis să folosească formula [De1] lui Denef pentru $Z_f(s)$, valabilă pentru aproape toți completații p -adici ai lui F . Veys a presupus de asemenea ca toate punctele de intersecție ale componentelor ireductibile ale pull-back-ului lui f sunt definite peste F . În aceste condiții, el a demonstrat reciproca rezultatului lui Loeser pentru poli candidați reali și pentru aproape toți completații p -adici ai lui F . Mai mult, el a considerat și problema unei posibile simplificări ale mai multor contribuții la același pol candidat real.

În demonstrațiile rezultatelor menționate mai sus este nevoie de anumite relații dintre invarianții numerici asociați unei rezoluții scufundate. Aceste

relații au fost obținute în [St], [Me] și [Ig2] pentru curbe absolut analitic ireductibile. De asemenea, Loeser [Lo] a demonstrat relația necesară în cazul general. Igusa [Ig2] și Loeser [Lo] au folosit formula lui Langlands [La] pentru a calcula contribuția unei curbe excepționale la reziduul lui $Z_f(s)$ în cazul unui pol candidat de ordin unu. În continuare vom folosi o variantă îmbunătățită a acestui rezultat demonstrată în [Se1]. Pe scurt, dată o rezoluție minimală scufundată scisă ca o compunere de blow-ing-up-uri, Segers a obținut modalitatea în care se poate calcula aceasta contribuție la reziduu exact în momentul în care curba excepțională este creată. În Propoziția 5.1 demonstrăm când această contribuție este zero și când nu. Pentru acest lucru, este nevoie de idei noi. Ceea ce vom face nu este o generalizare directă a unor rezultate cunoscute deja. De asemenea, în finalul acestui capitol, vom demonstra faptul că contribuțiile la același pol candidat nu se simplifică. Pentru aceasta, am folosit faptul că graful dual al rezoluției scufundate este un arbore ordonat. Acest lucru a fost demonstrat în [Ve2] în cazul în care corpul de bază este algebric în chis.

5.2 Rezultate cheie obținute și contribuții personale

5.2.1 Evidențierea contribuțiilor proprii la determinarea polilor funcției zeta Igusa pentru curbe

Fie K un corp p -adic, adică o extindere finită a lui \mathbb{Q}_p . Fie R inelul de valuare al lui K , P idealul maximal al lui R și q cardinalul corpului rezidual R/P . Pentru $z \in K$, notăm cu $\text{ord } z \in \mathbb{Z} \cup \{+\infty\}$ valoarea lui z și cu $|z| = q^{-\text{ord } z}$ valoarea absolută (p -adică) a lui z .

Fie $f(x_1, x_2) \in K[x_1, x_2]$ un polinom în două variabile peste K . Fie $x = (x_1, x_2)$. Fie X o submulțime deschisă și compactă a lui K^2 . În acest context, funcția zeta Igusa p -adică a lui f este definită de

$$Z_f(s) = \int_X |f(x)|^s |dx|$$

pentru $s \in \mathbb{C}$, $\operatorname{Re}(s) > 0$, unde $|dx|$ este măsura Haar K^2 , normalizată astfel încât R^2 are măsura 1. Igusa a demonstrat că $Z_f(s)$ este o funcție rațională în q^{-s} folosind o rezoluție scufundată a lui f . Aceasta se extinde prin urmare la o funcție meromorfică $Z_f(s)$ pe \mathbb{C} care se numește tot funcția zeta Igusa p -adică asociată lui f .

Fie $g : Y \rightarrow X$ o rezoluție scufundată a lui f . Aici, Y este o K -varietate analitică. Despre rezoluția scufundată a lui f mai multe detalii sunt prezentate în [Ig3, Section 3.2]. Fie $g = g_1 \circ \dots \circ g_t : Y = Y_t \rightarrow X = Y_0$ o compunere de blowing-up-uri $g_i : Y_i \rightarrow Y_{i-1}$, $i \in T_e := \{1, \dots, t\}$. Curba excepțională a lui g_i și transformarea strictă a acestei curbe sunt notate cu E_i . Subvarietățile lui Y de codimensiune unu reprezentate de zerourile transformării stricte ale unui factor ireductibil f din $K[x, y]$ sunt notate cu E_j , $j \in T_s$. Transformările corespunzătoare în Y_i , $i \in \{0, \dots, t-1\}$ sunt notate analog. Atenție aici și la noțiunea de ireductibil, deoarece X este total disconex ca spațiu topologic. Fie $T = T_e \cup T_s$. Pentru $i \in T$, fie N_i și respectiv $\nu_i - 1$ multiplicitățile lui $f \circ g$ și respectiv g^*dx în E_i . Perechea (N_i, ν_i) reprezintă invariantii numerici ai lui E_i .

Vom reaminti în continuare pe scurt demonstrația dată de Igusa raționalității lui $Z_f(s)$. Așa cum am menționat mai sus, calculăm integrala de definiție pe Y :

$$Z_f(s) = \int_X |f(x)|^s |dx| = \int_Y |f \circ g|^s |g^*dx|.$$

Fie b un punct arbitrar al lui Y . Sunt posibile următoarele trei situații.

Primul caz este cel în care sunt două varietăți E_i și E_j , cu $i, j \in T$, care trec prin b . Considerăm o vecinătate V a lui b și coordonatele analitice (y_1, y_2) în V astfel încât y_1 reprezintă ecuația lui E_i , y_2 este ecuația lui E_j ,

$$f \circ g = \varepsilon y_1^{N_i} y_2^{N_j} \quad \text{și} \quad g^* dx = \eta y_1^{\nu_i-1} y_2^{\nu_j-1} dy$$

pe V , unde ε și η sunt funcții K -analitice pe V . Putem presupune că $y(V) = P^{k_1} \times P^{k_2}$, cu $k_1, k_2 \in \mathbb{Z}_{\geq 0}$, și că $|\varepsilon|$ și $|\eta|$ sunt constante pe V . Obținem

$$\begin{aligned} \int_V |f \circ g|^s |g^* dx| &= \int_{P^{k_1} \times P^{k_2}} |\varepsilon|^s |\eta| |y_1|^{N_i s + \nu_i - 1} |y_2|^{N_j s + \nu_j - 1} |dy| \\ &= |\varepsilon|^s |\eta| \left(\frac{q-1}{q} \right)^2 \frac{q^{-k_1(N_i s + \nu_i)}}{1 - q^{-(N_i s + \nu_i)}} \frac{q^{-k_2(N_j s + \nu_j)}}{1 - q^{-(N_j s + \nu_j)}}. \end{aligned}$$

Să observăm că am obținut o funcție rațională în q^{-s} .

În cel de-al doilea caz, să considerăm situația în care există o varietate E_i , $i \in T$, care trece prin b . Considerăm o varietate V a lui b și coordonatele analitice (y_1, y_2) pe V astfel încât y_1 este ecuația lui E_i ,

$$f \circ g = \varepsilon y_1^{N_i} \quad \text{și} \quad g^* dx = \eta y_1^{\nu_i-1} dy$$

pe V , unde ε și η sunt funcții K -analitice pe V . Putem presupune că $y(V) = P^{k_1} \times P^{k_2}$, cu $k_1, k_2 \in \mathbb{Z}_{\geq 0}$, și că $|\varepsilon|$ și $|\eta|$ sunt constante pe V . Obținem

$$\begin{aligned} \int_V |f \circ g|^s |g^* dx| &= \int_{P^{k_1} \times P^{k_2}} |\varepsilon|^s |\eta| |y_1|^{N_i s + \nu_i - 1} |dy| \\ &= |\varepsilon|^s |\eta| q^{-k_2} \frac{q-1}{q} \frac{q^{-k_1(N_i s + \nu_i)}}{1 - q^{-(N_i s + \nu_i)}}. \end{aligned}$$

În cea de-a treia situație, nu există nici o varietate E_i , $i \in T$, care tece prin b . Fie V o vecinătate a lui b și fie (y_1, y_2) coordonate analitice pe V astfel încât $f \circ g = \varepsilon$ și $g^* dx = \eta dy$ pe V , unde ε și η sunt funcții K -analitice pe V . Putem presupune că $y(V) = P^{k_1} \times P^{k_2}$, cu $k_1, k_2 \in \mathbb{Z}_{\geq 0}$, și că $|\varepsilon|$ și $|\eta|$ sunt constante pe V . Obținem

$$\int_V |f \circ g|^s |g^* dx| = |\varepsilon|^s |\eta| q^{-k_1 - k_2}.$$

Rezultă atunci că $Z_f(s)$ este o funcție rațională în q^{-s} deoarece putem partiționa mulțimea Y în submulțimi V de forma de mai sus.

Din cele de mai sus rezultă și că orice pol al lui $Z_f(s)$ este de forma

$$-\frac{\nu_i}{N_i} + \frac{2k\pi\sqrt{-1}}{N_i \log q},$$

cu $k \in \mathbb{Z}$ și $i \in T$. Aceste valori se numesc poli candidați ai lui $Z_f(s)$. Pentru un $i \in T$ fixat, valorile $-\nu_i/N_i + (2k\pi\sqrt{-1})/(N_i \log q)$, $k \in \mathbb{Z}$, se numesc polii candidați ai lui $Z_f(s)$ asociați lui E_i . Deoarece polii proveniți din $1/(1-q^{-N_i s - \nu_i})$ au ordinul unu, definim ordinul posibil (ordinul candidat) al unui pol candidat s_0 ca fiind cel mai mare număr de curbe excepționale E_i care au drept pol candidat pe s_0 . Evident, ordinul (efectiv) lui s_0 este întotdeauna mai mic sau cel mult egal cu ordinul candidat al lui s_0 . De asemenea, este clar și faptul că un pol candidat de ordin candidat unu este pol dacă și numai dacă reziduul lui $Z_f(s)$ calculat în s_0 este diferit de 0.

În continuare vom explica formula de calcul a reziduului pe care o vom folosi. Fie s_0 un pol candidat asociat unei curbe excepționale E_i , $i \in T$ astfel încât s_0 nu este pol candidat pentru nici o altă curbă excepțională E_j , cu $j \in T$ și $j \neq i$, care intersectează E_i în Y . Fie U o submulțime compactă deschisă a lui E_i . Contribuția lui U la reziduul lui $Z_f(s)$ calculat în s_0 este prin definiție contribuția la reziduul lui $Z_f(s)$ calculat în s_0 a unei submulțimi compacte, deschise V a lui Y care satisface condiția $V \cap E_i = U$ și care în plus este disjunctă de toate celelalte E_j care au polul candidat s_0 .

Să presupunem că W este o submulțime deschisă și compactă a lui Y_r cu proprietatea că $W \cap E_i = U$. Fie (z_1, z_2) coordonatele analitice pe W astfel încât $z_1 = 0$ este ecuația lui U pe W . Fie

$$f \circ g_1 \circ \cdots \circ g_r = \gamma z_1^{N_i} \quad \text{și} \quad (g_1 \circ \cdots \circ g_r)^* dx = \delta z_1^{\nu_i - 1} dy$$

pe W , unde γ și δ sunt funcții K -analitice pe W . Cu aceste notații, contribuția

lui U la reziduul lui $Z_f(s)$ calculat în s_0 este egal cu

$$\frac{q-1}{qN_i \log q} \left[\int_U |\gamma|^s |\delta| |dz_2| \right]_{s=s_0}^{\text{mc}}, \quad (5.1)$$

unde cu $[\cdot]_{s=s_0}^{\text{mc}}$ am notat prelungirea meromorfică a funcției dintre paranteze calculată în $s = s_0$. Această formulă a fost obținută prima dată de Langlands [La] în cazul $r = t$ și apoi în cazul general de Dirk Segers în [Se1, Section 2.6].

Vom explica în continuare relațiile de care vom avea nevoie în cele ce urmează. Fie $r \in T_e$ fixat. Curba excepțională E_r este obținută prin procesul de eclatare (blowing-up) în punctul $P \in Y_{r-1}$. Fie $y = (y_1, y_2)$ coordonatele locale ale lui Y_{r-1} centrate în P . Scriind acum relațiile în coordonate locale, obținem

$$f \circ g_1 \circ \cdots \circ g_{r-1} = d \left(\prod_{i \in S} (a_{i2}y_1 - a_{i1}y_2)^{M_i} \right) \left(\prod_{i \in S'} h_i^{M_i}(y_1, y_2) \right) + \text{termeni de grad mai mare},$$

unde toți factorii $a_{i2}y_1 - a_{i1}y_2$ și h_i sunt polinoame esențialmente diferite peste K , adică nici un factor nu este egal cu un altul înmulțit eventual cu o constantă din K^\times , și unde polinoamele h_i sunt polinoame omogene, ireductibile de grad cel puțin doi, cu $M_i \geq 1$ pentru toți $i \in S \cup S'$ și unde $d \in K^\times$.

Fie

$$(g_1 \circ \cdots \circ g_{r-1})^* dx = \left(e \prod_{i \in S} (a_{i2}y_1 - a_{i1}y_2)^{\mu_i - 1} + \text{termeni de grad mai mare} dy, \right)$$

unde $\mu_i \geq 1$ pentru orice $i \in S$ și unde $e \in K^\times$. Fie $s_0 = -\nu_r/N_r + (2k\pi\sqrt{-1})/(N_r \log q)$ un pol candidat al funcției zeta Igusa $Z_f(s)$ asociat curbei excepționale E_r . Fie $\alpha_i := \mu_i + s_0 M_i$ pentru toți $i \in S$. Deoarece

$$N_r = \sum_{i \in S} M_i + \sum_{i \in S'} (\deg h_i) M_i \quad \text{și} \quad \nu_r = \sum_{i \in S} (\mu_i - 1) + 2,$$

se verifică printr-un calcul direct că

$$\sum_{i \in S} (\alpha_i - 1) + \sum_{i \in S'} s_0(\deg h_i) M_i = -2 + \frac{2k\pi\sqrt{-1}}{\log q}. \quad (5.2)$$

În continuare, vom da o altă descriere pentru α_i . Fie F_i punctul de pe E_r care are coordonatele $(a_{i1} : a_{i2})$ relativ la coordonatele omogene $(y_1 : y_2)$ pe $E_r \subset Y_r$. Fie j unicul element din $T \setminus \{r\}$ cu proprietatea că E_j trece prin F_i în Y . Fie ρ numărul de blowing-up-uri de-a lungul lui g_r, \dots, g_t care sunt centrate în F_i . Obținem atunci descrierea lui α_i ca fiind $\alpha_i = \nu_j + s_0 N_j - (2\rho k \pi \sqrt{-1}) / (\log q)$. Acest rezultat este demonstrat în [Se1, Secțiunea 2.7] în cazul $k = 0$, iar cazul general poate fi tratat în mod similar. Obținem astfel că $\operatorname{Re}(\alpha_i) < 0$ dacă și numai dacă $-\nu_r / N_r < -\nu_j / N_j$. Se poate de asemenea verifica fără mare dificultate că

$$\begin{aligned} s_0 \text{ este pol candidat al lui } E_j &\iff \nu_j + s_0 N_j \text{ este multiplu de } 2\pi\sqrt{-1}/(\log q) \\ &\iff \alpha_i \text{ este multiplu de } 2\pi\sqrt{-1}/(\log q). \end{aligned}$$

Se știe (a fost demonstrat în [Lo, Proposition II.3.1]) că $\operatorname{Re}(\alpha_i) < 1$. Împreună cu relația (5.2), aceasta arată că $\operatorname{Re}(\alpha_i) \geq -1$ și că există cel mult un $i \in S$ cu $\operatorname{Re}(\alpha_i) < 0$.

5.2.2 Contribuția unei curbe excepționale

Condițiile (ipotezele) de lucru pentru Propozițiile 5.1 și 5.7 Fie $f \in K[x_1, x_2]$ și fie X o submulțime deschisă și compactă a lui K^2 . Fie $g : Y \rightarrow X$ o rezoluție scufundată a lui f . Fie $g = g_1 \circ \dots \circ g_t : Y = Y_t \rightarrow X = Y_0$ compunerea blowing-up-urilor $g_i : Y_i \rightarrow Y_{i-1}$, $i \in T_e := \{1, \dots, t\}$. Curba excepțională a lui g_i și transformarea strictă a lui sunt notate cu E_i . Fie $r \in T_e$. Curba excepțională E_r este obținută prin blowing-up în punctul

$P \in Y_{r-1}$. Fie (y_1, y_2) coordonatele locale ale lui Y_{r-1} centrate în P . Putem atunci scrie aceste coordonate locale sub forma

$$f \circ g_1 \circ \cdots \circ g_{r-1} = d \left(\prod_{i \in S} (a_{i2}y_1 - a_{i1}y_2)^{M_i} \right) \left(\prod_{i \in S'} h_i^{M_i}(y_1, y_2) \right) + \text{termeni de grad mai mare},$$

unde factorii $a_{i2}y_1 - a_{i1}y_2$ și h_i sunt polinoame esențialmente diferite peste K (în sensul definit mai sus), și în plus polinoamele h_i sunt polinoame omogene ireductibile de grad mai mare sau egal cu doi, iar $M_i \geq 1$ pentru orice $i \in S \cup S'$, iar $d \in K^\times$. Fie de asemenea

$$(g_1 \circ \cdots \circ g_{r-1})^* dx = \left(e \prod_{i \in S} (a_{i2}y_1 - a_{i1}y_2)^{\mu_i - 1} + \text{termeni de grad mai mare} \right) dy,$$

cu $\mu_i \geq 1$ pentru toți $i \in S$ și $e \in K^\times$.

Propoziția 5.1. *Fie $s_0 := -\nu_r/N_r$ polul real candidat al lui $Z_f(s)$ asociat curbei E_r . Scriem α_i sub forma $\alpha_i := \mu_i + s_0 M_i \neq 0$ pentru orice $i \in S$.*

Fie \mathcal{R} contribuția curbei excepționale E_r la reziduul lui $Z_f(s)$ în punctul s_0 . Atunci, $\mathcal{R} \neq 0$ dacă și numai dacă $|S| \geq 3$ sau $|S'| \geq 1$.

Mai mult, dacă $\mathcal{R} \neq 0$, atunci

1. $\mathcal{R} > 0$ dacă și numai dacă $\alpha_i > 0$ pentru toți $i \in S$ și
2. $\mathcal{R} < 0$ dacă și numai dacă există $i \in S$ (și acesta este unic) astfel încât $\alpha_i < 0$.

Demonstrație. Dacă mulțimea S are una sau două elemente și S' este mulțime vidă, este atunci bine-cunoscut faptul că $\mathcal{R} = 0$. Am menționat deja în introducere că Loeser [Lo] a demonstrat acest rezultat folosind formula lui Langlands, iar Dirk Segers a redemonstrat acest rezultat în [Se1, Secțiunea 3.1] ca un caz particular al formulei obținute de el.

Putem atunci presupune în continuare că $|S| \geq 3$ sau $|S'| \geq 1$.

Să considerăm pentru început cazul în care exista un element $l \in S$ astfel încat $\alpha_l < 0$. Fie $Q := S \setminus \{l\}$ și $Q' = S'$. Aplicând, eventual, o transformare afină de coordonate, putem presupune că

$$f \circ g_1 \circ \cdots \circ g_{r-1} = d \left(y_2^{M_l} \prod_{i \in Q} (y_1 - a_i y_2)^{M_i} \right) \left(\prod_{i \in Q'} h_i^{M_i}(y_1, y_2) \right) +$$

+ termeni de grad mai mare,

și

$$(g_1 \circ \cdots \circ g_{r-1})^* dx = \left(e y_2^{\mu_l - 1} \prod_{i \in Q} (y_1 - a_i y_2)^{\mu_i - 1} + \right. \\ \left. + \text{termeni de grad mai mare} \right) dy,$$

de grad $d_i \geq 2$ având coeficientul lui $y_1^{d_i}$ egal cu 1, $M_i \geq 1$ pentru orice $i \in Q \cup Q'$ iar $d, e \in K^\times$.

Știm că \mathcal{R} este sumă a două contribuții, contribuții pe care le calculăm în două chart-uri diferite folosind formula (5.1). Pentru a calcula prima contribuție, considerăm coordonatele (z_1, z_2) ale lui Y_r pentru care $g_r(z_1, z_2) = (z_1, z_1 z_2)$, și obținem $\kappa := (q-1)/(qN_r \log q)$ înmulțit cu

$$\left[|d|^s |e| \int_P |z_2|^{M_l s + \mu_l - 1} \prod_{i \in Q} (|1 - a_i z_2|^{M_i s + \mu_i - 1}) \left(\prod_{i \in Q'} |h_i(1, z_2)|^{M_i s} \right) |dz_2| \right]_{s=s_0}^{\text{mc}} \\ = |d|^{s_0} |e| \left[\int_P |z_2|^{M_l s + \mu_l - 1} |dz_2| \right]_{s=s_0}^{\text{mc}} \\ = |d|^{s_0} |e| \frac{q-1}{q} \frac{1}{q^{\alpha_l} - 1}.$$

Pentru a calcula a doua contribuție, considerăm coordonatele (z'_1, z'_2) ale lui Y_r pentru care $g_r(z'_1, z'_2) = (z'_1 z'_2, z'_2)$, și obținem faptul că această contribuție este κ înmulțit cu

$$\left[|d|^s |e| \int_R \prod_{i \in Q} (|z'_1 - a_i|^{M_i s + \mu_i - 1}) \left(\prod_{i \in Q'} |h_i(z'_1, 1)|^{M_i s} \right) |dz'_1| \right]_{s=s_0}^{\text{mc}},$$

care corespundă tor Lemei 5.6 este mai mic decât κ înmulțit cu

$$|d|^{s_0}|e| \left[\int_R |z'_1 - a|^{Ms+\mu-1} |dz'_1| \right]_{s=s_0}^{\text{mc}} = |d|^{s_0}|e| \frac{q-1}{q} \frac{1}{1-q^{-(Ms_0+\mu)}},$$

unde $a \in R$, $M := \left(\sum_{i \in Q} M_i \right) + \left(\sum_{i \in Q'} d_i M_i \right)$ și $\mu := \left(\sum_{i \in Q} (\mu_i - 1) \right) + 1$. Folosind faptul că $\alpha_l + (Ms_0 + \mu) = 0$, rezultă că

$$\frac{1}{q^{\alpha_l} - 1} + \frac{1}{1 - q^{-(Ms_0+\mu)}} = 0,$$

deci $\mathcal{R} < 0$.

Să considerăm acum cazul în care $\alpha_i > 0$ pentru toți $i \in S$. Acest caz este mai simplu decât celelalte. După ce se calculează \mathcal{R} procedând exact ca în cazul precedent și folosind formula (5.1), se obține faptul că \mathcal{R} este o sumă de numere pozitive și prin urmare este pozitiv. De asemenea, se mai folosește și faptul că $|h|$ este o funcție local constantă dacă h este un polinom ireductibil peste K într-o variabilă de grad cel puțin doi. \square

Ne-a mai rămas de demonstrat Lema 5.6. Vom demonstra pentru început Lema 5.3, care este un caz special al Lemei 5.6. În demonstrația Lemei 5.3, avem nevoie de Lema 5.2.

Lema 5.2. *Fie $h \in R[x]$ un polinom monic, ireductibil, de grad $d \geq 2$ într-o singură variabilă. Există atunci un unic $r \in \mathbb{N}$ și un element b în R astfel încât*

$$|h(x)| = |(x - b)^d| \quad \text{dacă } x \in R \text{ și } x \not\equiv b \pmod{P^r}$$

și

$$q^{-dr} \leq |h(x)| < q^{-d(r-1)} \quad \text{dacă } x \in R \text{ și } x \equiv b \pmod{P^r}.$$

Mai mult, b este unic determinat modulo P^r și $|h(x)|$ este constant pe $b + P^r$.

Demonstrație. Fie β_1, \dots, β_d rădăcinile polinomului h într-o închidere algebrică a lui K . Fie $L := K(\beta_1, \dots, \beta_d)$ și fie R_L inelul de valuare al lui L . Notăm extinderea normei de pe K pe L tot cu $|\cdot|$. Să observăm că β_1, \dots, β_d sunt diferiți deoarece lucrăm în caracteristică zero. De asemenea, β_1, \dots, β_d se găsesc în R_L deoarece h este monic iar R_L este închiderea lui R în L . Deoarece

$$\begin{aligned} |h(x)| &= |(x - \beta_1)(x - \beta_2) \cdots (x - \beta_d)| \\ &= |x - \beta_1| |x - \beta_2| \cdots |x - \beta_d|, \end{aligned}$$

trebuie să evaluăm $|x - \beta_i|$.

Fie $i \in \{1, \dots, d\}$. Fie r_i cel mai mare număr natural pentru care există un element $b_i \in R$ care satisface $|b_i - \beta_i| < q^{-(r_i-1)}$. Să remarcăm că există un cel mai mare astfel de număr deoarece $\beta_i \notin R$. Să remarcăm de asemenea că b_i este determinat doar modulo P^{r_i} . Se verifică în continuare că

$$|x - \beta_i| = |x - b_i| \quad \text{dacă } x \in R \text{ și } x \not\equiv b_i \pmod{P^{r_i}}$$

și

$$q^{-r_i} \leq |x - \beta_i| < q^{-(r_i-1)} \quad \text{dacă } x \in R \text{ și } x \equiv b_i \pmod{P^{r_i}}.$$

mai mult, $|x - \beta_i|$ este constant pe $b_i + P^{r_i}$.

În final, vom demonstra că $r_1 = r_2 = \cdots = r_d$ și vom nota valoarea lor comună cu r . Vom demonstra de asemenea că toate elementele b_i , $i \in \{1, \dots, d\}$, coincid modulo P^r . Dacă demonstrăm aceste lucruri, cum elementele b_i sunt unic determinate modulo P^r , putem considera $b_1 = b_2 = \cdots = b_d$ și vom nota valoarea lor comună cu b . Lema atunci rezultă imediat.

Fie $i, j \in \{1, \dots, d\}$ și să presupunem că $r_i \geq r_j$. Deoarece β_i și β_j sunt conjugate și deoarece $b_i \in R$, obținem că $b_i - \beta_i$ și $b_i - \beta_j$ sunt de asemenea conjugate. Cum elementele conjugate au aceeași normă, rezultă că

$|b_i - \beta_j| = |b_i - \beta_i| < q^{-(r_i-1)}$. Acest fapt implică $r_i \leq r_j$ și astfel $r_i = r_j$ și deci $b_i \equiv b_j \pmod{P^{r_i}}$. \square

Lema 5.3. Fie s_0 un număr rațional negativ. Fie a_1, \dots, a_k elemente diferite din R . Să presupunem că pentru fiecare $i \in \{1, \dots, k\}$ numerele întregi $M_i \geq 1$ și $\mu_i \geq 1$ satisfac $\alpha_i := \mu_i + s_0 M_i < 1$. Fie $h_{k+1}, \dots, h_l \in R[x]$ polinoame monice ireductibile într-o variabilă de grad cel puțin doi. Să notăm cu d_i gradul polinomului h_i și să presupunem că pentru fiecare $i \in \{k+1, \dots, l\}$ avem un întreg $M_i \geq 1$. Fie r_i numărul natural pe care l-am asociat lui h_i în lema precedentă, și fie b_i elementul corespunzător din R care este determinat modulo P^{r_i} .

Să presupunem că $r_{k+1} = \dots = r_l$ și să notăm acest număr cu r . Să presupunem că $a_1 \equiv \dots \equiv a_k \equiv b_{k+1} \equiv \dots \equiv b_l \pmod{P^r}$ și că $a_i \not\equiv a_j \pmod{P^{r+1}}$ pentru $i \neq j$. Fie acum $a \in R$ astfel încât $a \equiv a_1 \pmod{P^r}$. Să notăm $M := M_1 + \dots + M_k + d_{k+1} M_{k+1} + \dots + d_l M_l$, $\mu := (\mu_1 - 1) + \dots + (\mu_k - 1) + 1$ și $\alpha := \mu + s_0 M$. Să presupunem că $0 < \alpha$ și că $k \geq 2$ sau $l \geq k+1$. Atunci

$$\left[\int_{a+P^r}^{\text{mc}} |x - a_1|^{M_1 s + \mu_1 - 1} \dots |x - a_k|^{M_k s + \mu_k - 1} |h_{k+1}(x)|^{M_{k+1} s} \dots |h_l(x)|^{M_l s} |dx| \right]_{s=s_0}^{\text{mc}} < \left[\int_{a+P^r}^{\text{mc}} |x - a|^{M s + \mu - 1} |dx| \right]_{s=s_0}^{\text{mc}}.$$

Mai mult, integranții sunt aceiași pentru fiecare $x \in R \setminus (a + P^r)$.

Observația 5.4. Condițiile $a_i \equiv a_j \pmod{P^r}$ și $a_i \not\equiv a_j \pmod{P^{r+1}}$ pentru $i, j \in \{1, \dots, k\}$ cu $i \neq j$ implică faptul că $k \leq q$.

Observația 5.5. Știm că

$$\alpha - 1 = \sum_{i=1}^k (\alpha_i - 1) + \sum_{i=k+1}^l s_0 d_i M_i.$$

Prin urmare, condiția $\alpha_i < 1$ pentru fiecare $i \in \{1, \dots, k\}$ implică faptul că $\alpha < \alpha_i$.

Demonstrație. Într-o primă etapă, ne reducem la cazul în care polinoamele h_i nu apar. Obținem succesiv că

$$\begin{aligned}
& \left[\int_{a+Pr} |x - a|^{Ms+\mu-1} |dx| \right]_{s=s_0}^{\text{mc}} \\
&= \frac{q-1}{q} \frac{q^{-r\alpha}}{1-q^{-\alpha}} \\
&= \frac{q-1}{q} \frac{q^{-r((M_1+\dots+M_k)s_0+\mu)}}{1-q^{-\alpha}} q^{-r(d_{k+1}M_{k+1}+\dots+d_lM_l)s_0} \\
&\geq \frac{q-1}{q} \frac{q^{-r((M_1+\dots+M_k)s_0+\mu)}}{1-q^{-((M_1+\dots+M_k)s_0+\mu)}} q^{-r(d_{k+1}M_{k+1}+\dots+d_lM_l)s_0} \\
&= q^{-r(d_{k+1}M_{k+1}+\dots+d_lM_l)s_0} \left[\int_{a+Pr} |x - a|^{(M_1+\dots+M_k)s+\mu-1} |dx| \right]_{s=s_0}^{\text{mc}},
\end{aligned}$$

cu inegalitate strictă dacă $l \geq k + 1$. Deoarece $|h_i|$ este constant pe $a + Pr$ cu $q^{-d_i r} \leq |h_i(a)|$, $s_0 < 0$ și cel de-al doilea factor din membrul drept al următoarei inegalități este pozitiv (acest fapt rezultă din calculul acestui factor în partea a doua a demonstrației), obținem:

$$\begin{aligned}
& \left[\int_{a+Pr} |x - a_1|^{M_1s+\mu_1-1} \dots |x - a_k|^{M_k s+\mu_k-1} |h_{k+1}(x)|^{M_{k+1}s} \dots |h_l(x)|^{M_l s} |dx| \right]_{s=s_0}^{\text{mc}} \\
&\leq q^{-r(d_{k+1}M_{k+1}+\dots+d_lM_l)s_0} \left[\int_{a+Pr} |x - a_1|^{M_1s+\mu_1-1} \dots |x - a_k|^{M_k s+\mu_k-1} |dx| \right]_{s=s_0}^{\text{mc}}.
\end{aligned}$$

Aceste două inegalități implică faptul că este suficient să considerăm cazul în care polinoamele h_i nu apar.

În cea de-a doua etapă, vom demonstra faptul că

$$\begin{aligned}
& \left[\int_{a+Pr} |x - a|^{Ms+\mu-1} |dx| \right]_{s=s_0}^{\text{mc}} > \\
&> \left[\int_{a+Pr} |x - a_1|^{M_1s+\mu_1-1} \dots |x - a_k|^{M_k s+\mu_k-1} |dx| \right]_{s=s_0}^{\text{mc}}
\end{aligned}$$

dacă $k \geq 2$, unde $M = M_1 + \dots + M_k$.

Să calculăm cei doi membrii. Pentru început, să partiționăm domeniul de integrare al integralei din membrul drept în următoarele $k + 1$ mulțimi:

$a_1 + P^{r+1}, \dots, a_k + P^{r+1}$ și în mulțimea constând din toate celelalte puncte ale mulțimii $a + P^r$. În acest fel, inegalitatea de mai sus devine.

$$\begin{aligned} \frac{q-1}{q} \frac{q^{-(r-1)\alpha}}{q^\alpha - 1} &> \frac{q-1}{q} \frac{q^{-r\alpha_1}}{q^{\alpha_1} - 1} q^{-r(\alpha_2-1)-r(\alpha_3-1)-\dots-r(\alpha_k-1)} + \dots \\ &+ \frac{q-1}{q} \frac{q^{-r\alpha_k}}{q^{\alpha_k} - 1} q^{-r(\alpha_1-1)-r(\alpha_2-1)-\dots-r(\alpha_{k-1}-1)} \\ &+ \frac{q-k}{q^{r+1}} q^{-r(\alpha_1-1)-r(\alpha_2-1)-\dots-r(\alpha_k-1)}. \end{aligned}$$

Dacă folosim faptul că $\alpha - 1 = \sum_{i=1}^k (\alpha_i - 1)$, acest inegalitatea devine echivalentă cu

$$(q-1) \frac{q^\alpha}{q^\alpha - 1} > \frac{q-1}{q^{\alpha_1} - 1} + \dots + \frac{q-1}{q^{\alpha_k} - 1} + q - k$$

și deci și cu

$$\frac{1}{q^\alpha - 1} + \frac{k-1}{q-1} > \frac{1}{q^{\alpha_1} - 1} + \dots + \frac{1}{q^{\alpha_k} - 1}.$$

Să considerăm funcția

$$h :]0, 1] \rightarrow \mathbb{R} : x \mapsto \frac{1}{q^x - 1}.$$

Se arată fără mare dificultate că funcția h este convexă, adică că, i.e. $h''(x) > 0$ pentru orice $x \in]0, 1[$. Fie funcția liniară g , i.e. funcția polinomială de grad unu, determinată unic de relațiile $g(\alpha) = h(\alpha) = 1/(q^\alpha - 1)$ și $g(1) = h(1) = 1/(q - 1)$. Atunci

$$\begin{aligned} \frac{1}{q^\alpha - 1} + \frac{k-1}{q-1} &= g(\alpha) + (k-1)g(1) \\ &= g(\alpha_1) + \dots + g(\alpha_k) \\ &> h(\alpha_1) + \dots + h(\alpha_k) \\ &= \frac{1}{q^{\alpha_1} - 1} + \dots + \frac{1}{q^{\alpha_k} - 1}. \end{aligned}$$

în relațiile de mai sus, am folosit în linia a doua faptul că funcția g este liniară și că $\alpha + k - 1 = \alpha_1 + \dots + \alpha_k$. În linia a treia a inegalităților de mai

sus am folosit faptul că funcția g este liniară și funcția h este convexă, adică $g(\alpha) = h(\alpha)$ și $g(1) = h(1)$ și de asemenea faptul că $0 < \alpha < \alpha_i < 1$ pentru orice $i \in \{1, \dots, k\}$.

Ultima afirmație din lema este ușor de verificat. \square

Lema 5.6. *Fie s_0 un număr rațional negativ. Fie $\gamma, \delta \in R[x]$ polinoame monice într-o variabilă. Să presupunem că δ se descompune în factori (polinoame) liniari peste R și că toate rădăcinile lui δ sunt de asemenea rădăcini ale lui γ .*

Scriem polinomul γ sub forma

$$\gamma(x) = \left(\prod_{i \in Q} (x - a_i)^{M_i} \right) \left(\prod_{i \in Q'} h_i^{M_i}(x) \right)$$

unde a_i , pentru $i \in Q$, sunt elemente diferite ale lui R , unde h_i , $i \in Q'$, polinoame monice ireductibile peste R , diferite, de grad cel puțin doi, și unde $M_i \geq 1$ pentru orice $i \in Q \cup Q'$.

Să notăm cu d_i gradul polinomului h_i . Scriem polinomul $\delta(x)$ sub forma

$$\delta(x) = \prod_{i \in Q} (x - a_i)^{\mu_i - 1},$$

unde $\mu_i \geq 1$ pentru orice $i \in Q$. Fie un $a \in R$ arbitrar. Notăm cu $M := \left(\sum_{i \in Q} M_i \right) + \left(\sum_{i \in Q'} d_i M_i \right)$ și $\mu := \left(\sum_{i \in Q} (\mu_i - 1) \right) + 1$. Să presupunem că $0 < \alpha := \mu + s_0 M$ și $1 > \alpha_i := \mu_i + s_0 M_i$ pentru orice $i \in Q$. Fie $|Q| \geq 2$ sau $|Q'| \geq 1$.

Atunci

$$\left[\int_R |\gamma(x)|^s |\delta(x)| |dx| \right]_{s=s_0}^{\text{mc}} < \left[\int_R |x - a|^{Ms + \mu - 1} |dx| \right]_{s=s_0}^{\text{mc}}.$$

Demonstrație. Pentru a demonstra această leamnă, vom asocia un arbore polinomului monic $g \in R[x]$ într-o singură variabilă. Construcția arborelui o

vom face astfel: dacă $a_1, a_2 \in R$ sunt rădăcini ale lui g și dacă $a_1 \equiv a_2 \pmod{P^r}$ astfel încât $a_1 \not\equiv a_2 \pmod{P^{r+1}}$, atunci asociem un vârf în arbore lui $a_1 + P^r$.

Dacă polinomul g are un factor ireductibil de grad cel puțin doi, acestui factor i-am asociat mai sus un număr natural $r \in \mathbb{N}$ precum și $b + P^r$; în arbore îi asociem lui $b + P^r$ un vârf. Dacă de exemplu $a + P^r$ apare de mai multe ori în ca în procedeul descris mai sus, îi asociem în arbore un singur vârf.

Muchiile din graf sunt definite astfel: dacă avem două vârfuri în graf asociate lui $a + P^r$ și lui $b + P^t$, cu $r > t$, atunci unim cele două vârfuri dacă $a + P^r \subset b + P^t$ și în plus dacă pentru orice $c + P^u$ corespunzător unui alt vârf, avem $a + P^r \subset c + P^u \subset b + P^t$.

Să observăm că acest arbore este finit și are o rădăcină.

Să pornim din membrul stâng al inegalității pe care vrem să o demonstrăm și să considerăm arborele asociat lui γ . Vom construi pas cu pas alți integranți cărora le asociem arbori construiți ca mai devreme, exceptând un vârf de la capătul arborelui. Prin urmare, arborele se reduce la fiecare pas și devine astfel din ce în ce mai simplu. Continuăm procedeul descris mai sus până când arborele dispare complet. La finalul acestui procedeu, integrandul care se va obține va fi cel din membrul drept al inegalității pe care vrem să o demonstrăm.

Pentru început, să explicăm în detaliu prima etapă. Alegem un vârf de la capătul (sfârșitul) arborelui lui γ . Acest vârf este asociat unui anumit element, deci există un r astfel încât elementul ales este de forma $a_0 + P^r$ și aparține lui R/P^r . Fie a_1, \dots, a_k toate rădăcinile lui γ pentru care $a_i \equiv a_0 \pmod{P^r}$. Să remarcăm faptul că $a_i \not\equiv a_j \pmod{P^{r+1}}$ pentru $i, j \in \{1, \dots, k\}$ cu $i \neq j$, deoarece am ales un vârf de la sfârșitul arborelui.

Să notăm cu h_{k+1}, \dots, h_l toți factorii ireductibili ai lui γ cărora li se

asociază $a_0 + P^r$. Fie

$$\gamma(x) = \tilde{\gamma}(x)(x - a_1)^{M_1} \cdots (x - a_k)^{M_k} h_{k+1}^{M_{k+1}} \cdots h_l^{M_l}$$

și

$$\delta(x) = \tilde{\delta}(x)(x - a_1)^{\mu_1 - 1} \cdots (x - a_k)^{\mu_k - 1}.$$

Notăm cu $M_0 := M_1 + \cdots + M_k + d_{k+1}M_{k+1} + \cdots + d_l M_l$ și cu $\mu_0 := (\mu_1 - 1) + \cdots + (\mu_k - 1) + 1$. Fie $\gamma_1(x) = \tilde{\gamma}(x)(x - a_0)^{M_0}$ și $\delta_1(x) = \tilde{\delta}(x)(x - a_0)^{\mu_0 - 1}$.

Rezultă atunci că

$$\begin{aligned} & \left[\int_{a_0 + P^r} |\gamma(x)|^s |\delta(x)| |dx| \right]_{s=s_0}^{\text{mc}} \\ &= \left[|\tilde{\gamma}(a_0)|^s |\tilde{\delta}(a_0)| \int_{a_0 + P^r} \prod_{i=1}^k |x - a_i|^{M_i s + \mu_i - 1} \prod_{j=k+1}^l |h_j(x)|^{M_j s} |dx| \right]_{s=s_0}^{\text{mc}} \\ &= |\tilde{\gamma}(a_0)|^{s_0} |\tilde{\delta}(a_0)| \left[\int_{a_0 + P^r} \prod_{i=1}^k |x - a_i|^{M_i s + \mu_i - 1} \prod_{j=k+1}^l |h_j(x)|^{M_j s} |dx| \right]_{s=s_0}^{\text{mc}} \\ &< |\tilde{\gamma}(a_0)|^{s_0} |\tilde{\delta}(a_0)| \left[\int_{a_0 + P^r} |x - a_0|^{M_0 s + \mu_0 - 1} |dx| \right]_{s=s_0}^{\text{mc}} \\ &= \left[|\tilde{\gamma}(a_0)|^s |\tilde{\delta}(a_0)| \int_{a_0 + P^r} |x - a_0|^{M_0 s + \mu_0 - 1} |dx| \right]_{s=s_0}^{\text{mc}} \\ &= \left[\int_{a_0 + P^r} |\tilde{\gamma}(x)|^s |\tilde{\delta}(x)| |x - a_0|^{M_0 s + \mu_0 - 1} |dx| \right]_{s=s_0}^{\text{mc}} \\ &= \left[\int_{a_0 + P^r} |\gamma_1(x)|^s |\delta_1(x)| |dx| \right]_{s=s_0}^{\text{mc}}. \end{aligned}$$

Am folosit aici lema precedentă și de două ori faptul că $|\tilde{\gamma}|$ și $|\tilde{\delta}|$ sunt constante pe $a_0 + P^r$.

Rezultă mai departe că

$$\begin{aligned}
& \left[\int_{R \setminus (a_0 + P^r)} |\gamma(x)|^s |\delta(x)| |dx| \right]_{s=s_0}^{\text{mc}} \\
&= \left[\int_{R \setminus (a_0 + P^r)} |\tilde{\gamma}(x)|^s |\tilde{\delta}(x)| \prod_{i=1}^k |x - a_i|^{M_i s + \mu_i - 1} \prod_{j=k+1}^l |h_j(x)|^{M_j s} |dx| \right]_{s=s_0}^{\text{mc}} \\
&= \left[\int_{R \setminus (a_0 + P^r)} |\tilde{\gamma}(x)|^s |\tilde{\delta}(x)| |x - a_0|^{M_0 s + \mu_0 - 1} |dx| \right]_{s=s_0}^{\text{mc}} \\
&= \left[\int_{R \setminus (a_0 + P^r)} |\gamma_1(x)|^s |\delta_1(x)| |dx| \right]_{s=s_0}^{\text{mc}},
\end{aligned}$$

unde am folosit ultima afirmație din lema precedentă, și am obținut că

$$\left[\int_R |\gamma(x)|^s |\delta(x)| |dx| \right]_{s=s_0}^{\text{mc}} < \left[\int_R |\gamma_1(x)|^s |\delta_1(x)| |dx| \right]_{s=s_0}^{\text{mc}}.$$

În cea de-a doua etapă procedăm analog cu ceea ce am făcut în prima fază, dar folosim acum $\gamma_1(x)$ în loc de $\gamma(x)$ și $\delta_1(x)$ în loc de $\delta(x)$. Să observăm că M și μ determinați de γ și δ sunt identice cu cele analoage determinate de γ_1 și δ_1 . Să mai observăm aici că arborele asociat lui γ_1 coincide cu arborele asociat lui γ , cu excepția faptului că lipsește un vârf.

Să notăm cu w numărul de vârfuri din arborele asociat lui γ . Atunci, după w pași, arborele dispare complet. Dacă rădăcina arborelui este asociată lui $a'_0 + P^{r'}$, atunci $\gamma_w(x) = (x - a'_0)^M$ și $\delta_w(x) = (x - a'_0)^{\mu-1}$.

Prin urmare,

$$\begin{aligned}
\left[\int_R |\gamma(x)|^s |\delta(x)| |dx| \right]_{s=s_0}^{\text{mc}} &< \left[\int_R |\gamma_1(x)|^s |\delta_1(x)| |dx| \right]_{s=s_0}^{\text{mc}} \\
&< \left[\int_R |\gamma_2(x)|^s |\delta_2(x)| |dx| \right]_{s=s_0}^{\text{mc}} \\
&< \dots \\
&< \left[\int_R |\gamma_w(x)|^s |\delta_w(x)| |dx| \right]_{s=s_0}^{\text{mc}} \\
&= \left[\int_R |x - a'_0|^{Ms+\mu-1} |dx| \right]_{s=s_0}^{\text{mc}} \\
&= \left[\int_R |x - a|^{Ms+\mu-1} |dx| \right]_{s=s_0}^{\text{mc}}.
\end{aligned}$$

□

Ipotezele de lucru ale propoziției care urmează sunt ipotezele de la începutul acestei secțiuni.

Propoziția 5.7. Fie $s_0 := -\nu_r/N_r + (2k\pi\sqrt{-1})/(N_r \log q)$ un pol arbitrar candidat al funcției $Z_f(s)$ asociat lui E_r .

Să presupunem că $\alpha_i := \mu_i + s_0 M_i$ nu este un multiplu al lui $2\pi\sqrt{-1}/(\log q)$ pentru toți $i \in S$.

Să presupunem că $|S| = 3$ și $|S'| = 0$. Fie \mathcal{R} contribuția lui E_r la reziduul lui $Z_f(s)$ în s_0 . Atunci, $\mathcal{R} \neq 0$.

Demonstrație. Notăm elementele mulțimii S cu 1, 2 și 3. Cu aceste notații, din egalitatea (5.2) rezultă că $\alpha_1 + \alpha_2 + \alpha_3 = 1 + (2k\pi\sqrt{-1})/(\log q)$.

Făcând eventual o transformare afină de coordonate, putem presupune că

$$f \circ g_1 \circ \dots \circ g_{r-1} = dy_2^{M_1} y_1^{M_2} (y_1 - ay_2)^{M_3} + \text{termeni de grad mai mare},$$

și

$$(g_1 \circ \dots \circ g_{r-1})^* dx = (ey_2^{\mu_1-1} y_1^{\mu_2-1} (y_1 - ay_2)^{\mu_3-1} + \text{termeni de grad mai mare}) dy$$

cu $a \in R \setminus P$ și $d, e \in K^\times$.

Prin urmare, am obținut

$$\begin{aligned} \mathcal{R} &= |d|^{s_0} |e| \left(\frac{q-1}{q} \frac{1}{q^{\alpha_1}-1} + \frac{q-1}{q} \frac{1}{q^{\alpha_2}-1} + \frac{q-1}{q} \frac{1}{q^{\alpha_3}-1} + \frac{q-2}{q} \right) \\ &= |d|^{s_0} |e| \left(\frac{1-q^{\alpha_1-1}}{1-q^{-\alpha_1}} \cdot \frac{1-q^{\alpha_2-1}}{1-q^{-\alpha_2}} \cdot \frac{1-q^{\alpha_3-1}}{1-q^{-\alpha_3}} \right) \\ &\neq 0. \end{aligned}$$

În calculele de mai sus, a doua egalitate poate fi verificată prin calcul direct și se datorează lui Sally and Taibleson[ST]. \square

Observația 5.8. *Determinarea tuturor polilor (reali și complecși) ai unei curbe absolut analitic ireductibile este acum imediată. Acesta a fost unul dintre rezultatele fundamentale ale lucrării [Ig2] a lui Igusa. Igusa a mai folosit în demonstrația acestui rezultat și formula lui Sally-Taibleson.*

Observația 5.9. *Să subliniem aici faptul că dacă $|S| \neq 3$ sau $|S'| \neq 0$, nu se știe care poli candidați non-reali sunt poli și care nu. Este posibil ca un pol candidat real să fie pol, iar alți poli candidat având aceeași parte reală să nu fie poli. Acest lucru se întâmplă de exemplu în cazul curbei $f = x_1^2 + x_2^2$ și $p = 2$ (vezi [Se1, Exemplul 2.8]).*

5.2.3 Concluzii finale: Polii funcției zeta Igusa p -adice

Fie $f \in K[x_1, x_2]$ și fie X o submulțime deschisă și compactă a lui K^2 . Să presupunem că f_{red} are doar un punct singular P_0 în X . Fie $g : Y \rightarrow X$ o rezoluție scufundată a lui f . Fie $g = g_1 \circ \cdots \circ g_t : Y = Y_t \rightarrow X = Y_0$ o compunere de blowing-up-uri $g_i : Y_i \rightarrow Y_{i-1}$, $i \in T_e := \{1, \dots, t\}$, centrată în $P_{i-1} \in Y_{i-1}$. Curba excepțională a lui g_i și transformarea strictă a acestei curbe sunt notate cu E_i . Subvarietățile închise ale lui Y de codimensiune

unu care reprezintă zerourile transformării stricte ale unui factor ireductibil al lui f în $K[x, y]$ le notăm cu E_j , $j \in T_s$.

Transformările corespunzătoare în Y_i , $i \in \{0, \dots, t-1\}$, le notăm similar. Fie $T = T_e \cup T_s$.

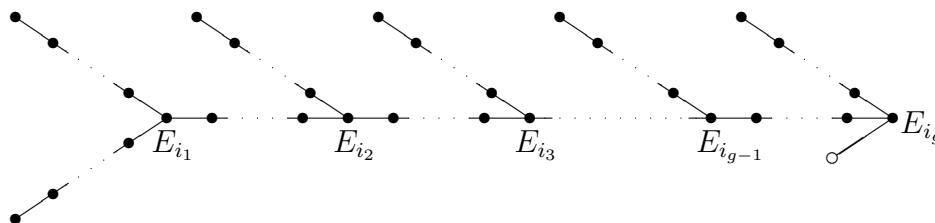
În graful (dual) al rezoluției scufundate al lui f în P_0 , se asociază fiecărei curbe excepționale un vârf (reprezentat printr-un punct) și fiecărei intersecții dintre curbe excepționale din Y o muchie, care leagă vârfurile corespunzătoare.

Asociem de asemenea fiecărei componente analitic ireductibile a transformării stricte a lui f în P_0 un vârf (reprezentat de un cerc), și unicului său punct de intersecție cu o curbă excepțională în Y muchia corespunzătoare. Este clar din construcție că acest graf este un arbore finit, conex.

În continuare, fiecărui vârf al grafului rezoluției scufundate îi asociem raportul corespunzător ν_i/N_i . Acest fapt transformă graful rezoluției scufundate într-un arbore ordonat. Mai precis, vârfurile pentru care numărul asociat este egal cu $\min_{i \in T} \nu_i/N_i$, împreună cu muchiile corespunzătoare, formează o componentă conexă \mathcal{M} a grafului rezoluției scufundate. Dacă începem cu un vârf terminal a părții minimale \mathcal{M} , numerele ν_i/N_i sunt strict crescătoare de-a lungul oricărui drum din arbore, exceptând \mathcal{M} .

Acest fapt rezultă din relația (5.2) și din marginea pentru α -uri, lucru care implică de exemplu că există cel mult un E_j care intersecționează un E_r dat, cu $r \in T_e$, în Y cu $\nu_j/N_j < \nu_r/N_r$ (vezi secțiunea precedentă). Pentru mai multe detalii, referința bibliografică este [Ve2, Teorema 3.3], unde corpul de bază peste care se lucrează este \mathbb{C} în loc de K , dar demonstrația este absolut similară.

Exemplul 5.10. *Dacă f este absolut analitic ireductibilă în P_0 cu g exponenți Puiseux diferiți, atunci graful rezoluției este de forma*



Aici, partea minimală \mathcal{M} constă doar din E_{i_1} (vezi [St, Corolarul 2.1] sau [Ve2, Propozitia 3.6]).

Teorema 5.11. *Să presupunem că suntem în ipotezele din primul paragraf al acestei sețiuni.*

Atunci:

1. un număr real s_0 este pol de ordin doi dacă și numai dacă există $i, j \in T$ cu $s_0 = -\nu_i/N_i = -\nu_j/N_j$ astfel încât E_i și E_j se intersectează în Y . Mai mult, $Z_f(s)$ are cel mult un pol real de ordin doi, iar dacă există un pol de ordin doi, acesta este polul cel mai apropiat de origine.
2. un număr real $s_0 \in \{-\nu_i/N_i \mid i \in T_e\} \setminus \{-\nu_i/N_i \mid i \in T_s\}$ care nu este pol de ordin doi este pol de ordin întâi dacă și numai dacă există cel puțin un $i \in T_e$ cu $s_0 = -\nu_i/N_i$ astfel încât $f \circ g_1 \circ \dots \circ g_{i-1}$ este dat în coordonate locale centrate în P_{i-1} de o serie de puteri a cărei componentă de grad cel mai mic este un polinom omogen care nu este o putere a unui polinom liniar (de grad unu) sau un produs de două astfel de puteri
3. un număr real $s_0 \in \{-\nu_i/N_i \mid i \in T_s\}$ care nu este pol de ordin doi este pol de ordin unu pentru o vecinătate deschisă și compactă X a lui P_0 suficient de mică.

Demonstrație. (1) Este clar că există $i, j \in T$ cu $s_0 = -\nu_i/N_i = -\nu_j/N_j$ astfel încât E_i și E_j se intersectează în Y dacă s_0 este un pol real de ordin 2. Dacă E_i și E_j se intersectează în Y cu $s_0 = -\nu_i/N_i = -\nu_j/N_j$, atunci contribuția lui $P := E_i \cap E_j$ la coeficientul b_{-2} în seria Laurent

$$\frac{b_{-2}}{(s - s_0)^2} + \frac{b_{-1}}{s - s_0} + b_0 + b_1(s - s_0) + \dots$$

a lui $Z_f(s)$ în s_0 este egal cu

$$|\varepsilon(P)|^{s_0} |\eta(P)| \frac{(q-1)^2}{q^2 N_i N_j (\log q)^2} > 0.$$

Prin urmare, contribuția a două perechi diferite care se intersectează ambele în Y nu se pot anula una pe cealaltă. Cealaltă afirmație din acest punct al teoremei rezultă din structura de arbore ordonat al grafului rezoluției scufundate.

(2) Partea cu ‘și numai dacă’ a afirmației din teoremă este partea cunoscută din Propoziția 5.1 și care se datorează lui Loeser.

Pentru implicația reciprocă, vom folosi Propoziția 5.1 și structura de arbore ordonat al grafului rezoluției scufundate. Există două posibilități.

Să considerăm primul caz în care E_i este partea minimală a grafului rezoluției scufundate. În acest caz, există o singură contribuție la reziduu, care este pozitivă. În celălalt caz, există cel puțin o contribuție la reziduu care nu este zero, iar toate contribuțiile de acest fel sunt negative.

(3) Există și în acest caz două posibilități. Primul caz este acela în care $s_0 = -\nu_i/N_i$, cu $i \in T_s$ și E_i este partea minimală a grafului rezoluției scufundate. În această situație există o singură contribuție la reziduu, care este pozitivă.

În cel de-al doilea caz, considerăm o vecinătate suficient de mică deschisă și compactă V a lui $\cup_{i \in T_e} E_i \subset Y$ pe care toți E_i cu $i \in T_s$ astfel încât $s_0 = -\nu_i/N_i$, au o contribuție negativă la reziduuul lui $Z_f(s)$ în s_0 . E_i -urile,

cu $i \in T_e$ și $s_0 = -\nu_i/N_i$, au o contribuție negativă la reziduul lui $Z_f(s)$ în s_0 . Dacă înlocuim X cu $g(V)$ sau cu o vecinătate deschisă și compactă a lui P conținută în $g(V)$, obținem ceea ce aveam de demonstrat. \square

Observația 5.12. *Din teorema precedentă și din rezultatul lui Loeser menționat în introducere, rezultă că $t \operatorname{Re}(s_0)$ este pol al lui $Z_f(s)$ dacă s_0 este pol al lui $Z_f(s)$. Prin urmare, mulțimea părților reale ale polilor lui $Z_f(s)$ este cunoscută. Acest lucru este important deoarece aceștia determină comportamentul asimptotic al numărului de soluții al congruențelor polinomiale corespunzătoare (vezi [Se2] pentru mai multe detalii).*

Capitolul 6

Rezultate fundamentale privind designurile eşalon și baze Gröbner asociate

Designul experimentelor este o ramură importantă a Statisticii care are ca subiect important de studiu designurile full-factorial. În cadrul acestui proiect ne-am propus și am reușit să folosim metode ale Algebrei Comutative pentru a explora probleme relevante (cum ar fi bazele Gröbner, fracțiile, polinomul Hilbert) ale designurilor eşalon, o mulțime \mathcal{E} de puncte experimentale având anumite proprietăți speciale.

Designurile eşalon generalizează designurile full factorial investigate în [CPRW], [CR], [R], [RR]. Pe scurt, contribuția noastră în acest domeniu constă într-o demonstrație originală a existenței unei baze Gröbner pentru un ideal design $\mathcal{I}(\mathcal{E})$. Mai mult, rezultatul nostru generalizează Teorema 2.18 a lui Robbiano [L.Robbiano, *Gröbner Bases and Statistics*, Gröbner Bases and Applications, London Mathematical Society Lecture Note Series 251, Edited by Bruno Buchberger & Franz Winkler, Cambridge University Press, 2001,

pp.179-204]. În plus, am obținut caracterizarea polinomului Hilbert polynomial asociat unui design eșalon și am introdus și studiat fracții ale designurilor eșalon. Rezultatele din teoremele pe care le-am obținut extind Teoremele 4.5 și 5.6 din [L.Robiano, *Gröbner Bases and Statistics*, Gröbner Bases and Applications, London Mathematical Society Lecture Note Series 251, Edited by Bruno Buchberger & Franz Winkler, Cambridge University Press, 2001, pp.179-204] de la cazul designurilor full factorial la cazul designurilor eșalon.

În ultimii ani, “Statistica Algebrică” s-a dezvoltat la granița dintre Algebra Comutativă și Statistică. Intr-adevăr, teoria și rezultatele din Algebra Comutativă au ajutat în procesul de înțelegere a unor diverse ramuri din statistică, cum ar fi Designul Experimentelor (DoE-Design of Experiments). Această interacțiune este ilustrată în lucrarea noastră, în care demonstrăm proprietăți importante pentru designurile eșalon.

Mai precis, folosim metode de Algebra Comutativă pentru a studia probleme referitoare la designurile eșalon care provin din DoE. Pentru a înțelege mai bine eficiența și importanța studiului designurilor eșalon în studiul și analiza unor modele economice cu aplicații practice, vom prezenta un exemplu. Un magazin care comercializează echipamente de calcul are o anumită strategie de aprovizionare, bazată pe diverse considerente economice, cu laptopuri de-a lungul unui an. Astfel, în prima perioadă (lunile ianuarie-aprilie) magazinul are în stoc următoarele modele de laptopuri: Allview, Acer, HP, Asus, Lenovo, Samsung, Toshiba și Dell. În următoarea perioadă (lunile mai-august), magazinul are în stoc mărcile Allview, Acer, HP, Asus și Lenovo, iar în ultima perioadă (lunile septembrie-decembrie), din anumite motive, poate are în stoc doar Allview, Acer și HP.

Această strategie poate fi văzută ca o mulțime de puncte din \mathbb{Z}_+^2 , notate (L, M) , unde M reprezintă marca (brand-ul) laptopului, iar L reprezintă

luna. Variabila M poate lua una dintre valorile 0,1,2,3,4,5,6 sau 7, care au semnificația: 0=Allview, 1=Acer, 2=HP, 3=Asus, 4=Lenovo, 5=Samsung, 6=Toshiba și 7=Dell. Valoarea pentru variabila L poate fi una din mulțimea $\{0, 1, 2, 3, 4, 5, 6, 7, 8, 9, 10, 11\}$, unde 0=ianuarie, 1=februarie, . . . , 11=decembrie.

Prin urmare, această mulțime de puncte împreună cu restricțiile date de disponibilitatea brand-ului într-o anumită lună, formează un design eșalon. Se poate observa că vectorii dominanți, adică vectorii care mărginesc designul eșalon, sunt $(0, 8)$, $(4, 5)$, $(8, 3)$ și $(12, 0)$. Astfel, de exemplu punctul $(3, 3)$ care se găsește în design arată că în luna aprilie brand-ul Asus este disponibil în magazin.

Departamentul de marketing al magazinului din acest exemplu dorește să analizeze profitul obținut din această strategie. În acest scop, își formează un grup de potențiali cumpărători cărora le cere să facă un rating, adică să noteze pe o scară de la 0 la 10 diverse posibilități, i.e. diverse puncte ale designului eșalon. În acest rating, cumpărătorii trebuie să ia în considerație bugetul lor într-o anumită perioadă de timp și preferința lor pentru un anumit brand. În acest fel, fiecărui punct al designului îi putem asocia o anumită valoare, de exemplu media notelor acordate de subiecții chestionarului. Obținem astfel o funcție care are ca domeniu de definiție punctele designului. Din Corolarul 2.14 din lucrarea lui Robiano [L.Robiano, *Gröbner Bases and Statistics*, Gröbner Bases and Applications, London Mathematical Society Lecture Note Series 251, Edited by Bruno Buchberger & Franz Winkler, Cambridge University Press, 2001, pp.179-204], rezultă că orice funcție definită pe o mulțime finită cu valori într-un corp arbitrar este o funcție polinomială și se numește în Statistica Algebrică modelul polinomial al designului. Această funcție polinomială furnizează multe informații care pot fi folosite pentru a îmbunătăți strategia de marketing a magazinului.

În afară de exemplului prezentat mai sus, există în mod evident numeroase alte exemple din domeniul economic care pot fi modelate folosind designurile experimentale.

Revenind la exemplul prezentat mai sus, este clar că nici un potențial client nu va dori să noteze toate punctele din design, fiind în general mult prea multe posibilități. Din acest motiv, se folosesc modele care vin din frații (anumite submulțimi) ale designului. Aceste modele pot fi apoi folosite pentru a obține o reconstrucție cât mai fidelă a modelului din problema de marketing prezentată.

Dat un design eșalon \mathcal{E} , o fracție \mathcal{F} a designului este o submulțime a acestei mulțimi de puncte, dar din punct de vedere algebric, descrierea fracției nu este deloc una canonică. Este clar că idealul de definiție $\mathcal{I}(\mathcal{F})$, care definește fracția dată \mathcal{F} , conține $\mathcal{I}(\mathcal{E})$ care reprezintă idealul de definiție al eșalonului \mathcal{E} . Acest lucru are o explicație algebrică simplă: orice polinom care se anulează pe toate punctele din \mathcal{E} automat se anulează pe toate punctele din \mathcal{F} . Pentru mai multe detalii despre aceste fracții, pentru a vedea cum pot fi convenabil alese aceste fracții și cum pot fi ele folosite în teoria generaă a DoE, recomandăm lucrarea lui Robiano, [L.Robiano, *Gröbner Bases and Statistics*, Gröbner Bases and Applications, London Mathematical Society Lecture Note Series 251, Edited by Bruno Buchberger & Franz Winkler, Cambridge University Press, 2001, pp.179-204].

Pentru a enunța principalele rezultate obținute în această direcție de cercetare, începem prin a reaminti definiția unui design eșalon.

Definiția 6.1. *Fie k un corp și fie $m \in \mathbb{N}^* = \mathbb{N} \setminus \{0\}$. Un **design** \mathcal{D} este o mulțime finită de puncte distincte din k^m .*

*Se numește **idealul designului** \mathcal{D} idealul $I(\mathcal{D})$ care conține toate polinoamele din $k[x_1, \dots, x_m]$ care se anulează în toate punctele lui \mathcal{D} .*

Un prim rezultat fundamental al acestei cercetări îl constituie teorema în care am obținut o bază Gröbner pentru idealul $\mathcal{I}(\mathcal{E})$, unde \mathcal{E} este un design eşalon, teoremă pe care o vom enunța mai jos după ce vom defini designul eşalon. Rezultatul obținut de noi generalizează Teorema 2.18 din lucrarea amintită a lui Robiano.

Am considerat apoi polinomul asociat unui design $\mathcal{D} \subset \mathbb{Z}_+^m$ definit de

$$H_{\mathcal{D}}(t) = \sum_{i \geq 0} a_i t^i,$$

unde $a_i = \#\{a = (a_1, \dots, a_m) \in \mathcal{D} \mid a_1 + \dots + a_m = i\}$. Polinomul $H_{\mathcal{D}}(t)$ se numește polinomul Hilbert al designului \mathcal{D} .

Al doilea rezultat principal al acestei cercetări în reprezintă caracterizarea polinoamelor cu coeficienți întregi care pot fi polinoame Hilbert ale unui design eşalon.

De asemenea, am studiat și fracțiile unui design eşalon și am obținut aici alte două rezultate pe care le vom prezenta mai jos. Cele două teoreme referitoare la fracțiile unui design eşalon extind Teoremele 4.5 and Theorem 5.6 din lucrarea lui Robiano la cazul designurilor eşalon.

Să defini în continuare designurie eşalon în dimensiune m .

Pentru $\alpha = (\alpha_1, \dots, \alpha_m) \in \mathbb{N}^m$, fie $\mathbf{x}^\alpha = x_1^{\alpha_1} \dots x_m^{\alpha_m} \in k[x_1, \dots, x_m]$.

Definiția 6.2. Fie $a = (a_1, \dots, a_m)$ și $b = (b_1, \dots, b_m)$ două puncte din \mathbb{Z}_+^m .

Spunem că a **domină pe** b dacă $a_i \leq b_i$, pentru orice $i = 1, \dots, m$.

În termeni de monoame, a **domină pe** b dacă $\mathbf{x}^a \mid \mathbf{x}^b$. Evident, dacă a domină pe b , atunci \mathbf{x}^a domină orice multiplu al lui \mathbf{x}^b .

Definiția 6.3. Fie $K \in \mathbb{N}^*$ și fie $\alpha^{(1)}, \dots, \alpha^{(K)}$ vectori cu componente întregi din \mathbb{Z}_+^m astfel încât nici un $\mathbf{x}^{\alpha^{(i)}}$ nu domină nici un $\mathbf{x}^{\alpha^{(j)}}$ pentru toți $1 \leq i \neq j \leq K$. **Designul eşalon** $\mathcal{E} \in \mathbb{Z}_+^m$ determinat de vectorii $\alpha^{(1)}, \dots, \alpha^{(K)}$ este

mulțimea tuturor punctelor $b \in \mathbb{Z}_+^m$ cu proprietatea că \mathbf{x}^b nu este divizibil cu $\mathbf{x}^{\alpha^{(i)}}$, pentru orice $1 \leq i \leq K$. Cu alte cuvinte, design-ul eșalon definit de vectorii $\alpha^{(1)}, \dots, \alpha^{(K)}$ este mulțimea de puncte din \mathbb{Z}_+^m care nu sunt dominate de $\alpha^{(1)}, \dots, \alpha^{(K)}$.

Vectorii $\alpha^{(1)}, \dots, \alpha^{(K)}$ se numesc **vectori dominanți (sau de definiție)** ai eșalonului \mathcal{E} . Monomul $\mathbf{x}^{\alpha^{(i)}}$, pentru $1 \leq i \leq K$, se numește **monomul dominant (sau de definiție)** al lui \mathcal{E} .

Exemplul 6.4. Fie $m = 2$ și $\alpha^{(1)} = (0, 4)$, $\alpha^{(2)} = (1, 3)$, $\alpha^{(3)} = (3, 1)$, $\alpha^{(4)} = (5, 0)$ vectorii dominanți care definesc eșalonul $\mathcal{E} \subset \mathbb{Z}_+^2$. Să observăm că nici un $\mathbf{x}^{\alpha^{(i)}}$ nu divide nici un $\mathbf{x}^{\alpha^{(j)}}$ pentru orice $1 \leq i \neq j \leq 4$.

Monoamele de definiție sunt prin urmare x_2^4 , $x_1x_2^3$, $x_1^3x_2$ și x_1^5 . Conform Definiției 6.3, designul $\mathcal{E} \subset \mathbb{Z}_+^2$ este format din toate punctele din \mathbb{Z}_+^2 care nu sunt dominate de $\alpha^{(1)}, \dots, \alpha^{(4)}$, și anume din punctele $(0, 0)$, $(0, 1)$, $(0, 2)$, $(0, 3)$, $(1, 0)$, $(1, 1)$, $(1, 2)$, $(2, 0)$, $(2, 1)$, $(2, 2)$, $(3, 0)$ și $(4, 0)$; vezi Figura 6.1.

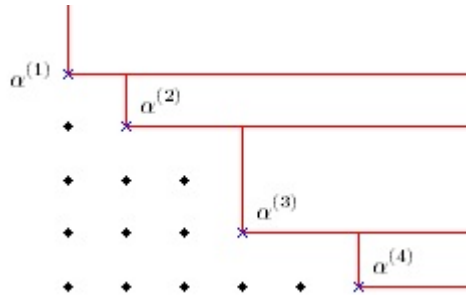


Figura 6.1: Un design eșalon definit prin vectorii dominanți

Este nu foarte dificil de văzut că un design eșalon de dimensiune m poate fi definit și astfel:

Definiția 6.5. Un design $\mathcal{E} \subset \mathbb{Z}_+^m$ este design eșalon dacă și numai dacă fiecare punct (d_1, \dots, d_m) din eșalon are proprietatea că toate punctele de

forma (y_1, \dots, y_m) cu $0 \leq y_j \leq d_j$, pentru orice $j = 1, \dots, m$ se găsesc în designul \mathcal{E} .

Exemplul 6.6. În designul eșalon \mathcal{E} din Exemplul 6.4, cum punctele $(0, 3)$, $(1, 2)$, $(2, 0)$, $(3, 0)$ și $(4, 0)$ se găsesc în designul \mathcal{E} , toate aceste puncte împreună cu cele care se află “mai jos” de ele, adică $(0, 0)$, $(0, 1)$, $(0, 2)$, $(1, 0)$, $(1, 1)$, $(2, 1)$, $(2, 0)$ sunt toate punctele designului.

6.1 Designuri eșalon: definiții, exemple

6.1.1 Definiții echivalente pentru designurile eșalon în dimensiune m

6.1.2 Designurile eșalon în dimensiune 2

Vom demonstra în continuare că un design eșalon în dimensiune 2 poate fi de asemenea definit ca o reuniune de puncte, vezi și [CPRW].

Propoziția 6.7. Fie $\mathcal{E} \subset \mathbb{Z}_+^2$ un design eșalon definit de vectorii dominanți $\alpha^{(1)}, \dots, \alpha^{(K)}$.

Există atunci $l + 1$ întregi pozitivi $k_0 \geq k_1 \geq \dots \geq k_l$ astfel încât designul \mathcal{E} este reuniunea coloanelor de puncte

$$\begin{aligned}
 (0, h), & \quad \text{cu } h = 0, \dots, k_0; \\
 (1, h), & \quad \text{cu } h = 0, \dots, k_1; \\
 & \quad \vdots \\
 (l, h), & \quad \text{cu } h = 0, \dots, k_l.
 \end{aligned} \tag{6.1}$$

Reciproc, dacă un design \mathcal{E} este o reuniune de coloane de puncte de forma (6.1), atunci există niste vectori $\alpha^{(1)}, \dots, \alpha^{(K)} \in \mathbb{Z}_+^2$ cu proprietatea că nici

un $\mathbf{x}^{\alpha^{(i)}}$ nu divide nici un $\mathbf{x}^{\alpha^{(j)}}$ pentru orice $1 \leq i \neq j \leq K$, iar designul \mathcal{E} este dat de reuniunea tuturor punctelor din \mathbb{Z}_+^2 care nu sunt dominate de $\mathbf{x}^{\alpha^{(i)}}$, pentru $i = 1, \dots, K$.

Demonstrație: Incepem demonstrația prin a face câteva observații generale asupra vectorilor $\alpha^{(1)}, \dots, \alpha^{(K)}$. Deoarece acești vectori satisfac condiția ca nici un $\mathbf{x}^{\alpha^{(i)}}$ nu divide nici un $\mathbf{x}^{\alpha^{(j)}}$ pentru orice $1 \leq i \neq j \leq K$, rezulta că acești vectori nu pot avea doi aceeași valoare nici pe prima, nici pe a doua coordonată.

De asemenea, printre vectorii $\alpha^{(1)}, \dots, \alpha^{(K)}$ există un singur vector care are prima coordonată egală cu 0. Într-adevăr, dacă nu ar exista un astfel de vector, atunci designul esalon ar conține o infinitate de puncte cu prima coordonată zero, în contradicție cu definiția designului esalon ca o mulțime finită de puncte. În mod analog, se poate justifica și faptul că există un unic vector dominant care are a doua coordonată zero.

Fie acum $\mathcal{E} \subset \mathbb{Z}_+^2$ un design esalon definit de vectorii dominanți $\alpha^{(1)}, \dots, \alpha^{(K)}$. Fie $(l+1, 0)$ unicul vector dominant cu a doua coordonată nulă. Am definit astfel întregul l .

Definim în continuare întregii $k_0 \geq k_1 \geq \dots \geq k_l \geq 0$ astfel: $k_0 + 1$ este a doua coordonată a unicului vectorului cu prima coordonată zero. Recursiv, pentru $1 \leq i \leq l$, fie $k_i + 1$ a doua coordonată a unicului vector care are prima coordonată egală cu i . Dacă un asemenea vector nu există, luăm $k_i = k_{i-1}$. Deoarece vectorii $\alpha^{(1)}, \dots, \alpha^{(K)}$ satisfac condiția ca nici un $\mathbf{x}^{\alpha^{(i)}}$ nu divide nici un $\mathbf{x}^{\alpha^{(j)}}$ pentru nici un $1 \leq i \neq j \leq K$, rezulta că $k_0 \geq k_1 \geq \dots \geq k_l$. Rezulta atunci că esalonul dat \mathcal{E} este reuniunea coloanelor de puncte (6.1), așa cum aveam nevoie.

Reciproc, dacă designul \mathcal{E} este dat de o reuniune de puncte ca în (6.1), atunci mulțimea de vectori dominanți se obține după următorul algoritm:

pentru fiecare $i = 0, \dots, l$, fie j_i cel mai mic întreg t cu proprietatea ca $k_{j_i} = k_t$ și fie $\alpha^{(K_i)} = (j_i, k_{j_i} + 1)$. La mulțimea de vectori astfel obținută adăugăm vectorul $(l + 1, 0)$ și apoi notăm acești vectorii cu $\alpha^{(1)}, \dots, \alpha^{(K)}$. Cum $k_0 \geq k_1 \geq \dots \geq k_l$, vectorii $\alpha^{(1)}, \dots, \alpha^{(K)}$ sunt chiar vectorii dominanți cautați. \square

Exemplul 6.8. *Să exemplificăm procedeul din demonstrația teoremei precedente definind un design esalon în dimensiune 2 folosind ambele definiții de mai sus.*

Fie vectorii dominanți $\alpha^{(1)}, \dots, \alpha^{(4)}$ definiți prin $\alpha^{(1)} = (0, 4)$, $\alpha^{(2)} = (1, 3)$, $\alpha^{(3)} = (3, 1)$, $\alpha^{(4)} = (5, 0)$. Să observăm că nici un $\mathbf{x}^{\alpha^{(i)}}$ nu divide $\mathbf{x}^{\alpha^{(j)}}$, pentru orice $1 \leq i \neq j \leq 4$. Monoamele dominante corespunzătoare sunt deci x_2^4 , $x_1x_2^3$, $x_1^3x_2$, x_1^5 . Din Definiția 6.3, designul $\mathcal{E} \subset \mathbb{Z}_+^2$ este format din punctele care nu sunt dominate de $\alpha^{(1)}, \dots, \alpha^{(4)}$. Aceste puncte sunt $(0, 0)$, $(0, 1)$, $(0, 2)$, $(0, 3)$, $(1, 0)$, $(1, 1)$, $(1, 2)$, $(2, 0)$, $(2, 1)$, $(2, 2)$, $(3, 0)$ și $(4, 0)$; vezi Figura 6.2.

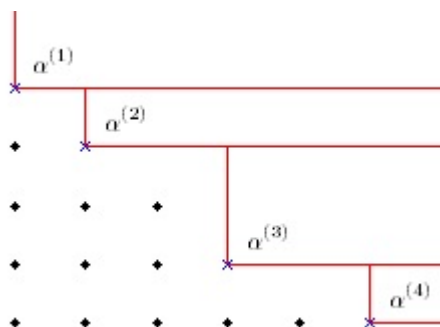


Figura 6.2: Un design esalon în dimensiune 2

De asemenea, plecând cu vectorii dominanți $\alpha^{(1)} = (0, 4)$, $\alpha^{(2)} = (1, 3)$, $\alpha^{(3)} = (3, 1)$, $\alpha^{(4)} = (5, 0)$ putem obține definiția echivalentă a unui esalon, așa cum apare ea în Propoziția 6.7: cum $\left\{ x_2^{k_0+1}, x_1x_2^{k_1+1}, \dots, x_1^l x_2^{k_l+1}, x_1^{l+1} \right\} =$

$\{x_2^4, x_1x_2^3, x_1^3x_2, x_1^5\}$, rezulta $l = 4$, $k_0 = 3$, $k_1 = 2$, $k_2 = 2$ și $k_3 = 0$. Deoarece în multimea dată nu există nici un monom care să conțină x_1^2 , întregul k_2 pe care îl căutam este egal cu precedentul, i.e. $k_2 = k_1 = 2$.

Este acum evident cum se obține lista de puncte (6.1) din esalon, așa cum apare în demonstrația Propoziției 6.7.

6.1.3 Baze Gröbner pentru designurile eşalon

Fie $\mathcal{E} \subset \mathbb{Z}_+^m$ un design eşalon definit de vectorii dominanți $\alpha^{(1)}, \dots, \alpha^{(K)} \in \mathbb{Z}_+^m$.

Fiecărui vector $\alpha = (\alpha_1, \dots, \alpha_m) \in \mathbb{Z}_+^m$ îi asociem un polinom $f_\alpha \in k[x_1, \dots, x_m]$ definit astfel:

$$f_\alpha = \prod_{i=1}^m x_i(x_i - 1) \dots (x_i - \alpha_i + 1).$$

În raport cu orice ordonare monomială $<$ pe $k[x_1, \dots, x_m]$, avem

$$\text{in}_<(f_\alpha) = x_1^{\alpha_1} \dots x_m^{\alpha_m},$$

unde cu $\text{in}_<(f)$ am notat monomul inițial al lui f relativ la $<$. Fie $f_{\alpha^{(1)}}, \dots, f_{\alpha^{(K)}}$ polinoamele asociate vectorilor $\alpha^{(1)}, \dots, \alpha^{(K)}$ ale lui $\mathcal{E} \subset \mathbb{Z}_+^m$. Rezultă atunci că $f_{\alpha^{(i)}} \in I(\mathcal{E})$, pentru orice $1 \leq i \leq K$, și deci pentru orice ordonare monomială $<$ pe $k[x_1, \dots, x_m]$ avem

$$(\text{in}(f_{\alpha^{(1)}}), \dots, \text{in}(f_{\alpha^{(K)}})) \subset \text{in}(I(\mathcal{E})),$$

unde cu $\text{in}(I(\mathcal{E}))$ am notat idealul inițial al lui $I(\mathcal{E})$ relativ la ordonarea monomială $<$.

Primul nostru rezultat din această cercetare este următoarea teoremă care stabilește o bază Gröbner a lui $I(\mathcal{E})$ relativ la orice ordonare monomială pe $k[x_1, \dots, x_m]$.

Teorema 6.9. Fie $\mathcal{E} \subset \mathbb{Z}_+^m$ un design eşalon definit de vectorii $\alpha^{(1)}, \dots, \alpha^{(K)} \in \mathbb{Z}_+^m$. Atunci mulțimea $G = \{f_{\alpha^{(1)}}, \dots, f_{\alpha^{(K)}}\}$ este o bază Gröbner a lui $I(\mathcal{E})$ relativ la orice ordonare monomială pe $k[x_1, \dots, x_m]$.

Demonstrație: Fie $J = (\text{in}(f_{\alpha^{(1)}}), \dots, \text{in}(f_{\alpha^{(K)}}))$ un ideal monomial din $k[x_1, \dots, x_m]$. Fie $R_1 = k[x_1, \dots, x_m]/J$ și $R_2 = k[x_1, \dots, x_m]/I(\mathcal{E})$ două k -algebre.

Deoarece $I(\mathcal{E}) = \bigcap_{P \in \mathcal{E}} \mathfrak{m}_P$, unde pentru $P = (a_1, \dots, a_m)$ am notat cu \mathfrak{m}_P idealul maximal generat de $x_1 - a_1, x_2 - a_2, \dots, x_m - a_m$, rezulta ca $k[x_1, x_2, \dots, x_m]/I(\mathcal{E}) \cong k^{|\mathcal{E}|}$, izomorfism de k -spații vectoriale. Sa observam si ca $\dim_k S/J = |\mathcal{E}|$, asa cum rezulta din definițiile lui J si ale lui \mathcal{E} .

Asadar, nici un monom care nu se gaseste in $\text{in}_<(I(\mathcal{E}))$ nu se gaseste nici in J . Pe de alta parte,

$$|\mathcal{E}| = \dim_k \frac{S}{J} \geq \dim_k \frac{S}{\text{in}_<(I(\mathcal{E}))} = \dim_k \frac{S}{I(\mathcal{E})} = |\mathcal{E}|,$$

ceea ce incheie domonstratia teoremei. □

Ca un caz spacial al teoremei de mai sus obtinem Teorema 2.18 din [R] si ecuatiile (2) din [CPRW]. Intr-adevar, orice design full factorial de leveluri (l_1, \dots, l_n) (i.e. produsul cartezian al multimilor finite $\{0, 1, \dots, l_1 - 1\}, \dots, \{0, 1, \dots, l_n - 1\}$) este un design esalon de monoame dominante $\mathbf{x}^{\alpha^{(i)}} = x_i^{l_i}$, pentru $1 \leq i \leq m$.

Inspirati de Definitia 2.19 din [R], numim polinoamele $f_{\alpha^{(1)}}, \dots, f_{\alpha^{(K)}}$ **polinoamele canomice** ale designului esalon \mathcal{E} .

6.2 Cocluzii finale

6.2.1 Polinomul Hilbert asociat unui design eşalon în dimensiune doi

Definiția 6.10. *Dat un design arbitrar $\mathcal{D} \subset \mathbb{Z}_+^m$, definim polinomul Hilbert asociat designului \mathcal{D} ca fiind:*

$$H_{\mathcal{D}}(t) = \sum_{i \geq 0} a_i t^i,$$

unde $a_i = \#\{a = (a_1, \dots, a_m) \in \mathcal{D} \mid a_1 + \dots + a_m = i\}$.

Vom nota $H_{\mathcal{D}}$ polinomul Hilbert asociat designului \mathcal{D} .

Al doilea rezultat din această cercetare îl reprezintă teorema următoare care caracterizează polinomul Hilbert al unui design eşalon în dimensiune 2.

Teorema 6.11. *Fie $H \in \mathbb{Z}[t]$ un polinom cu coeficienți întregi ne-negativi. Atunci H este polinomul Hilbert al unui design eşalon în dimensiune doi dacă și numai dacă există un întreg $i \geq 0$ astfel încât*

$$H(t) = 1 + 2t + 3t^2 + \dots + (i+1)t^i + a_{i+1}t^{i+1} + \dots + a_d t^d,$$

cu $d \geq 0$ și $i+1 \geq a_{i+1} \geq \dots \geq a_d$.

Demonstrație: Intai, demonstrem ca orice design esalon in dimensiune doi are polinomul Hilber ca mai sus. Toate partratele pe care le vom considera vor avea un varf in origine si o latura pe axa Ox .

Dat un design esalon \mathcal{E} in dimensiune doi, exista un cel mai mare intreg $i \geq 0$ astfel incat toate cele $i+1$ puncte de pe diagonala patratului de latura i apartin esalonului. Cum i este ales maxim cu aceasta proprietate, rezulta ca pentru toti $j = 0, \dots, i$, toti coeficientii lui t^j din polinomul Hilber sunt $a_j = j+1$; vezi Figura 6.3.

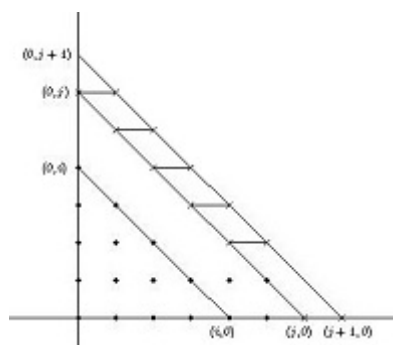


Figura 6.3: Polinomul Hilbert al unui design eşalon

Coeficientul a_{i+1} al lui t^{i+1} în polinomul Hilbert $H_{\mathcal{E}}(t)$ este egal cu numărul de puncte din eşalon care se găsesc pe diagonala pătratului de latura $i+1$. Deoarece sunt $i+2$ puncte pe diagonala și cel puțin un punct nu se găsește în eşalon (din alegerea lui i), rezulta că $a_{i+1} \leq i+1$.

Pentru $j \geq i+1$, avem $a_j \geq a_{j+1}$: într-adevăr, fiecărui punct de pe diagonala pătratului de latura j care nu se găsește în eşalon îi corespunde un punct de pe diagonala pătratului de latura $j+1$ care are aceeași coordonată a doua identică cu punctul fixat inițial și cea de-a doua coordonată cu o unitate mai mare. Acest punct nu se găsește în eşalon deoarece este dominat de punctul fixat inițial. Mai mult, această corespondență este o bijecție, așa cum ilustrează liniile orizontale din Figura 6.3. Prin urmare, numărul de puncte de pe diagonala pătratului de latura $j+1$ care nu sunt în eşalon este mai mare sau egal cu numărul de puncte de pe diagonala pătratului de latura j care nu sunt în eşalon. Deci, $a_j \geq a_{j+1}$, pentru orice $j \geq i+1$.

Reciproc, fie $H(t) = 1 + 2t + 3t^2 + \dots + (i+1)t^i + a_{i+1}t^{i+1} + \dots + a_d t^d$, cu $i+1 \geq a_{i+1} \geq \dots \geq a_d$ un polinom din $\mathbb{Z}[t]$. Construim un design eşalon $\mathcal{E} \subset \mathbb{Z}_+^2$ (care nu este neapărat unic) astfel încât $H_{\mathcal{E}}(t) = H(t)$.

Fie i cel mai mare întreg cu proprietatea că coeficientul lui t^i este $i+1$.

Rezulta atunci ca toate punctele de pe diagonalele patratelor de latura j , pentru orice $0 \leq j \leq i$ apartin esalonului \mathcal{E} .

In continuare, pentru orice j cu $i + 1 \leq j \leq d$, gasim a_j puncte din esalon situate pe diagonala corespunzatoare patratului de latura j prin urmatorul procedeu. Din toate cele $j + 1$ astfel de puncte, alegem $a_j < j + 1$ puncte avand, de exemplu, coordonata a doua cea mai mica. Se pot alege cele a_j din esalon dintre cele $j + 1$ puncte de pe diagonala avand coordonata a doua cea mai mare. Acest fapt arata ca designul esalon asociat unui polinom Hilbert dat nu este unic.

Designul esalon astfel construit are $l = d$ și $k_0 = a_i - 1 = i$. Fie acum $k_1 + 1$ cel mai mare coeficient al lui $H(t)$ diferit de a_{k_0+1} ; fie apoi $k_2 + 1$ cel mai mare dintre coeficientii lui $H(t)$ diferiti de a_{k_0+1} și a_{k_1+1} ; fie $k_3 + 1$ cel mai mare coeficient al lui $H(t)$ diferit de a_{k_0+1} , a_{k_1+1} și a_{k_2+1} și asa mai departe. Astfel, la fiecare pas alegem cel mai mare dintre coeficientii lui $H(t)$ care nu au fost anterior considerati. Astfel, deoarece $a_i \geq a_{k_1} \geq \dots \geq a_{k_d}$, rezulta ca $k_0 \geq k_1 \dots \geq k_l$. Am obtinut in acest fel un design esalon \mathcal{E} care are drept polinom Hilbert polinomul H dat. \square

Exemplul 6.12. Sa consideram un polinom H care satisface conditiile din Teorema 6.11:

$$H(t) = 1 + 2t + 3t^2 + 4t^3 + 5t^4 + 6t^5 + 6t^6 + 4t^7 + 2t^8 + 2t^9 + 2t^{10}.$$

Folosind procedeul descris in Teorema 6.11, construim un design esalon $\mathcal{E} \in \mathbb{Z}_+^2$ cu $H_{\mathcal{E}}(t) = H(t)$. Sa observam pentru inceput ca $i = 5$ este cel mai mare intreg cu proprietatea ca coeficientul corespunzator (in cazul nostru coeficientul lui t^5 , adica a_5) este egal cu $i + 1$. Prin urmare, toate punctele de pe diagonala patratului de latura j , cu $0 \leq j \leq 5$, se gasesc in designul esalon.

In continuare, pe diagonala corespunzatoare lui a_j , cu $j \geq 5$, asezam a_j puncte avand cea mai mica a doua coordonata. De exemplu, dintre punctele de pe diagonala patratului de latura 8 alegem punctele $(8, 0)$ și $(7, 1)$.

Procedand in acest fel, am obtinut designul esalon din Figura 6.4. Numerele intregi k_0, \dots, k_l sunt egale respectiv cu $5, 5, 4, 3, 3, 2, 1, 1, 1, 1, 0$, iar vectorii dominanti sunt $\alpha^{(1)} = (0, 6)$, $\alpha^{(2)} = (2, 5)$, $\alpha^{(3)} = (3, 4)$, $\alpha^{(4)} = (5, 3)$, $\alpha^{(5)} = (6, 2)$, $\alpha^{(6)} = (10, 1)$ și $\alpha^{(7)} = (11, 0)$.

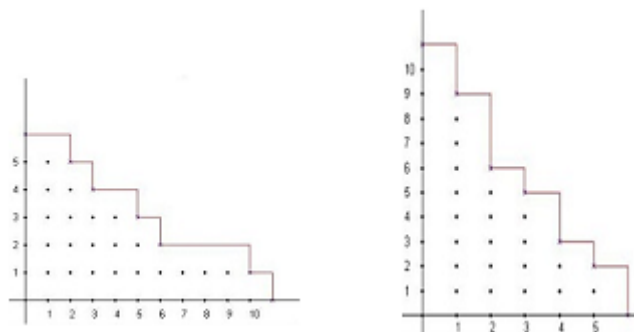


Figura 6.4: Un design eșalon \mathcal{E} asociat unui polinom Hilbert dat

Asa cum am mentionat si in demonstratia teoremei, designul esalon avand drept polinom Hilbert un polinomul dat nu este unic. In exemplul de mai sus, putem alege punctele cu a doua coordonata cea mai mare. Se obtine atunci esalonul din partea dreapta a figurii de mai sus. Ambele designuri esalon din Figura 6.4 au acelasi polinom Hilbert $H(t)$.

6.2.2 Fracții ale unui design eșalon

Dat un design eșalon \mathcal{E} , o **fracție a eșalonului** este o submulțime proprie $\mathcal{F} \subset \mathcal{E}$. În mod clar, idealul său de definiție $I(\mathcal{F})$ conține idealul $I(\mathcal{E})$.

Definiția 6.13. Fie $\mathcal{E} \subset \mathbb{Z}_+^m$ un design eșalon definit de vectorii dominanți

$\alpha^{(1)}, \dots, \alpha^{(K)} \in \mathbb{Z}_+^m$. Fiecărui astfel de vector $\alpha = (\alpha_1, \dots, \alpha_m) \in \mathbb{Z}_+^m$ îi asociem un polinom $f_\alpha \in k[x_1, \dots, x_m]$ definit astfel:

$$f_\alpha = \prod_{i=1}^m x_i(x_i - 1) \dots (x_i - \alpha_i + 1).$$

Polinoamele $f_{\alpha^{(1)}}, \dots, f_{\alpha^{(K)}}$ le-am numit **polinoamele canonice** ale designului eşalon \mathcal{E} .

Definiția 6.14. Orice submulțime de polinoame care, adăugate polinoamelor canonice ale unui design eşalon \mathcal{E} , generează idealul unei fracții \mathcal{F} , se numesc **polinoame confounding** ale lui \mathcal{F} în \mathcal{E} .

Definiția 6.15. Fie \mathcal{E} un design eşalon și fie \mathcal{F} o fracție a acestuia. Se numește **polinomul caracteristic al lui $\mathcal{F} \subset \mathcal{E}$** polinomul f cu proprietatea că $f(P) = 0$ pentru orice $P \in \mathcal{F}$ și $f(P) = 1$ pentru orice $P \in \mathcal{E} \setminus \mathcal{F}$.

Dacă aplicăm Teorema 6.9 și Proposition 4.4 din lucrarea menționată a lui Robiano, obținem:

Propoziția 6.16. Fie \mathcal{E} un design eşalon și fie $\mathcal{F} \subset \mathcal{E}$ o fracție a acestuia. Fie f polinomul caracteristic al lui \mathcal{F} . Atunci

$$I(\mathcal{F}) = (f_{\alpha^{(1)}}, \dots, f_{\alpha^{(K)}}, f).$$

Al treilea rezultat din acesta cercetare este dat în următoarea teoremă:

Teorema 6.17. Fie $<$ o ordonare monomială pe $k[x_1, \dots, x_m]$, $\mathcal{E} \in \mathbb{Z}_+^m$ un design eşalon, $f_{\alpha^{(1)}}, \dots, f_{\alpha^{(K)}}$ polinoamele canonice ale lui \mathcal{E} și fie $\mathcal{F} \subset \mathcal{E}$ o fracție a designului \mathcal{E} .

Există atunci un unic polinom caracteristic f al lui \mathcal{F} în \mathcal{E} astfel încat $\text{in}(f)$ nu este dominat de nici un $\text{in}_<(f_{\alpha^{(i)}})$, $1 \leq i \leq n$.

Demonstrație: Deoarece polinoamele $f_{\alpha^{(1)}}, \dots, f_{\alpha^{(K)}}$ formeaza o baza Gröbner pentru idealul designului \mathcal{E} , rezulta ca $I(\mathcal{E}) = (f_{\alpha^{(1)}}, \dots, f_{\alpha^{(K)}})$ și $\text{in}_{<}(I(\mathcal{E})) = (\text{in}_{<}(f_{\alpha^{(1)}}), \dots, \text{in}_{<}(f_{\alpha^{(K)}}))$.

Fie acum h polinomul caracteristic al fractiei \mathcal{F} in \mathcal{E} și fie r forma normala a lui h relativ la $\{f_{\alpha^{(1)}}, \dots, f_{\alpha^{(K)}}\}$, i.e. r este restul impartirii lui h la baza Gröbner $\{f_{\alpha^{(1)}}, \dots, f_{\alpha^{(K)}}\}$. Vom arata ca polinomul r este polinomul caracteristic pe care il cautam.

Din Teorema de impartire din $k[x_1, \dots, x_m]$, (vezi [PRW], Teorema 2) rezulta ca $\text{in}_{<}(f)$ nu este dominat de nici un $\text{in}_{<}(f_{\alpha^{(i)}})$, $1 \leq i \leq n$.

In mod evident, r se anuleaza in orice $P \in \mathcal{F}$, deoarece polinoamele $h, f_{\alpha^{(1)}}, \dots, f_{\alpha^{(K)}}$ se anuleaza toate in P . Mai mult, pentru $P \in \mathcal{E} \setminus \mathcal{F}$, obtinem $h(P) = 1$, $f_{\alpha^{(1)}}(P) = \dots = f_{\alpha^{(K)}}(P) = 0$ și deci $r(P) = 1$. Am obtinut astfel că r este un polinom caracteristic al lui \mathcal{F} in \mathcal{E} .

Fie h_1, h_2 doua polinoame caracteristice ale lui \mathcal{F} in \mathcal{E} . Prin definitie, $h_1 - h_2$ se anuleaza pe \mathcal{E} , prin urmare apartine idealului $I(\mathcal{E}) = (f_{\alpha^{(1)}}, \dots, f_{\alpha^{(K)}})$. Daca am avea $h_1 - h_2 \neq 0$, ar rezulta ca $\text{in}_{<}(h_1 - h_2) \in (\text{in}_{<}(f_{\alpha^{(1)}}), \dots, \text{in}_{<}(f_{\alpha^{(K)}}))$. Dar $\text{in}_{<}(h_1 - h_2)$ este unul dintre monoamele din suportul lui h_1 sau h_2 , ceea ce contrazice definitia polinomului caracteristic. \square

In cazul special al designurilor full factorial, din teorema de mai sus rezulta Teorema 4.5 din [R].

Exemplul 6.18. Fie $\mathcal{E} := \{(0, 0), (1, 0), (0, 1)\}$ un design esalon definit de vectorii dominanti $\alpha^{(1)} = (2, 0)$, $\alpha^{(2)} = (1, 1)$ și $\alpha^{(3)} = (0, 2)$. Polinoamele sale canonice confounding sunt

$$f_{\alpha^{(1)}} := x_2(x_2 - 1); f_{\alpha^{(2)}} := x_1x_2, f_{\alpha^{(3)}} = x_1(x_1 - 1)$$

Fie $\mathcal{F} := \{(0, 0), (1, 0)\}$ o fractie a esalonului \mathcal{E} . Fie $P := (0, 1)$. Atunci $\mathcal{E} = \mathcal{F} \cup \{P\}$.

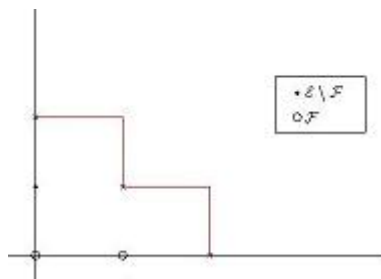


Figura 6.5: Un design eșalon \mathcal{E} și o fracție \mathcal{F} a sa

Folosind algoritmul Buchberger-Möller din $[R]$, separatorul $s_P = x_2$ este polinomul canonic confounding al lui \mathcal{F} în \mathcal{E} .

Prin urmare, conform Propozitiei 6.16, $\mathcal{I}(\mathcal{F}) = (x_2(x_2 - 1), x_1x_2, x_1(x_1 - 1), x_2)$

Definiția 6.19. Fie $\mathcal{E} \subset k^m$ un design eșalon. Notăm cu $\mathcal{O}(\mathcal{E})$ mulțimea de monoame $\{x_1^{\alpha_1} x_2^{\alpha_2} \dots x_m^{\alpha_m} \mid (\alpha_1, \alpha_2, \dots, \alpha_m) \in \mathcal{E}\}$.

Definiția 6.20. Fie $\mathcal{O} \subseteq \text{Mon}(\mathcal{S})$. Spunem că \mathcal{O} este o **mulțime standard de monoame** dacă $T \in \mathcal{O}$ și T' divide T implică $T' \in \mathcal{O}$, i.e. toți divizorii unui element din \mathcal{O} sunt de asemenea în \mathcal{O} .

Definiția 6.21. Date n variabile x_1, x_2, \dots, x_m , fie $\mathcal{E} \subset \mathbb{Z}_+^m$ un design eșalon și fie $\mathcal{O} \subset \mathcal{O}(\mathcal{E})$ o mulțime standard de monoame. Atunci, din Lema lui Dickson, vezi $[HH]$ rezultă că există o unică mulțime minimală, $\text{Min}(\mathcal{O})$, de monoame care generează $\text{Mon}(\mathcal{S}) \setminus \mathcal{O}$. Adică, fiecare element din $\text{Mon}(\mathcal{S}) \setminus \mathcal{O}$ este un multiplu al unui element din $\text{Min}(\mathcal{O})$. Mulțimea de monoame din $\text{Min}(\mathcal{O})$, care nu se găsesc printre termenii dominanți ai polinoamelor canonice ale lui \mathcal{E} , se notează cu $\text{CutOut}(\mathcal{O})$.

Exemplul 6.22. Fie $\mathcal{E} := \{(0, 0), (0, 1), (1, 0)\}$ designul esalon descris în Exemplul 6.18. Polinoamele sala canonice confounding sunt:

$$f_{\alpha^{(1)}} := x_2(x_2 - 1); f_{\alpha^{(2)}} := x_1x_2; f_{\alpha^{(3)}} = x_1(x_1 - 1)$$

Polinoamele dominante ale celor trei generatori ai idealului $\mathcal{I}(\mathcal{E})$ sunt x_2^2 , x_1x_2 și x_1^2 . Mai mult, stim ca $\mathcal{O}(\mathcal{E}) = \{1, x_1, x_2\}$.

Daca $\mathcal{O}_1 = \{1, x_1\}$, atunci $\text{Min}(\mathcal{O}_1) = \{x_2, x_1^2\}$ și astfel $\text{CutOut}(\mathcal{O}_1) = \{x_2\}$.

Daca $\mathcal{O}_2 = \{1, x_2\}$, atunci $\text{Min}(\mathcal{O}_2) = \{x_2^2, x_1\}$ și deci $\text{CutOut}(\mathcal{O}_2) = \{x_1\}$.

Înainte de a da cel de-al patrulea rezultat din această direcție de cercetare, să reamintim o definiție introdusă de L. Robbiano, în [R].

Definiția 6.23. Fie K un corp infinit, $T := x_1^{a_1}x_2^{a_2} \dots x_n^{a_n}$ și fie $\alpha_1, \alpha_2, \dots, \alpha_n$ n șiruri de elemente din corpul de bază K , unde $\alpha_r = (\alpha_{r,i})_{i \in \mathbb{N}}$, pentru $r := 1, 2, \dots, n$ și $\alpha_{r,i} \neq \alpha_{r,j}$, dacă $i \neq j$. Polinomul

$$D(T) := \prod_{i=1}^{a_1} (x_1 - \alpha_{1,i}) \prod_{i=1}^{a_2} (x_2 - \alpha_{2,i}) \cdots \prod_{i=1}^{a_n} (x_n - \alpha_{n,i})$$

se numește **distragerea** lui T relativ la $\alpha_1, \alpha_2, \dots, \alpha_n$.

Cel de-al patrulea rezultat din această direcție de cercetare este următorul rezultat:

Teorema 6.24. Fie \mathcal{E} un design esalon definit de vectorii dominanți $\alpha^{(1)}, \alpha^{(2)}, \dots, \alpha^{(K)} \in \mathbb{Z}_+^m$. Fie $\mathcal{I}(\mathcal{E}) := (f_{\alpha^{(1)}}, f_{\alpha^{(2)}}, \dots, f_{\alpha^{(K)}})$ idealul său de definiție, unde $f_{\alpha^{(j)}}$ sunt polinoamele canonice, pentru $j = 1, \dots, K$. Fie $\mathcal{O}(\mathcal{E})$ mulțimea standard de monoame corespunzătoare și fie $\mathcal{O} \subset \mathcal{O}(\mathcal{E})$ o mulțime standard de monoame. Să presupunem că $\{T_1, T_2, \dots, T_h\} = \text{CutOut}(\mathcal{O})$ și fie

$D(T_1), D(T_2), \dots, D(T_h)$ distragea lui T_1, T_2, \dots, T_h .

Atunci, pentru orice ordonare monomială pe $k[x_1, x_2, \dots, x_n]$, mulțimea

$$\{f_{\alpha^{(1)}}, f_{\alpha^{(2)}}, \dots, f_{\alpha^{(K)}}, D(T_1), D(T_2), \dots, D(T_h)\}$$

este o bază Gröbner neredusă pentru idealul $\mathcal{I}(\mathcal{F})$, unde $\mathcal{F} \subset \mathcal{E}$ este o fracție a eșalonului \mathcal{E} astfel încât $\mathcal{O}(\mathcal{F}) = \mathcal{O}$.

Demonstrație: În mulțimea $\{f_{\alpha^{(1)}}, f_{\alpha^{(2)}}, \dots, f_{\alpha^{(K)}}, D(T_1), D(T_2), \dots, D(T_h)\}$, putem observa ca dacă există o distragere al carei monom dominant domina monomul dominant al polinoamelor canonice ale designului esalon, atunci polinomul sau canonic va fi eliminat din multime.

Demonstrarea faptului ca aceasta multime formează o bază Gröbner a idealului design al fracției este analoagă cu demonstrația Proposition 5.6, din [R]. □

Bibliografie selectivă

- [AS89] A.Adolphson and S.Sperber, *Exponential sums and Newton polyhedra: Cohomology and estimates*, Ann. of Math., **130(2)(1989)**, 367-406.
- [AZ00] V.Albis W.A.Zúñiga-Galindo, *Un introducción elemental a la teoría de las funciones zeta locales de Igusa*, preprint, 2000;
- [Bru02] L.Brünjes, *Über die Zetafunktion von Formen von Fermatgleichungen. Dissertattion zur Erlangung des Doktorgrades*, Universitaet Regensburg, 2002, <http://www.bibliothek.uni-regensburg.de/opus/volltexte/2002/98/>.
- [Bru03] L.Brünjes, *On the Zeta Functions of forms of Fermat equations*, preprint, 2003;
- [BS66] Z.I.Borevici, I.R.Shafarevici, *Teoria numerelor*, Editura Științifică și Enciclopedică, București, 1985.
- [CFR] G.Carra'Ferro, L.Robianno, *On Super G-Bases*, Journal of Pure and Applied Algebra **68(1990)**, 279-292.
- [CPRW] M. Caboara, G. Pistone, E.Riccomagno, H.P.Wynn, *The Fan of an Experimental Design*, SCU Research Report **33(1997)**, Department of Statistics, University of Warwick.

- [CR] M.Caboara, L.Robbiano, *Families of Ideals in Statistics*, In Küchlin, (ed.) Proceeding ISSAC '97, ACM Press, New York, USA, 1997;
- [CDJ02] M.Campbell, E. Dubois, M.Joyce, A.Krishnachander, M.Robinson, K.Schneider, J.Slemons, *On Igusa local zeta function of elliptic curves*, preprint, 2002.
- [Den84] J. Denef, *The rationality of Poincaré series associated to the p -adic points on a variety*. Invent.Math., **77(1984)**, 1-23.
- [De1] J. Denef, *On the degree of Igusa's local zeta function*, Amer.J.Math. **109(1987)**, 991-1008.
- [Den91] J. Denef, *Report on Igusa's local zeta function*, Sémin. Bourbaki 741, Astérisque **201/202/203 (1991)**, 359-386.
- [Den95] J. Denef, *Poles of p -adic complex powers and Newton polyhedra*. Nieuw Arch.Wisk., **13(3)(1995)**, 289-295.
- [Den00] J. Denef, *Arithmetic and geometric applications of quantifier elimination for valued fields*, Model Theory, Algebra and Geometry, MSRI Publications, **39(2000)**.
- [DH01] J. Denef, K.Hoornaert, *Newton polyhedra and Igusa's local zeta function*, J.Number Theory, **89(2001)**, 31-64.
- [DL] J. Denef, F. Loeser, *Caractéristique d'Euler-Poincaré, fonctions zêta locales et modifications analytiques*, J. Amer. Math. Soc. 5, **4(1992)**, 705-720.
- [DL98] J. Denef, F.Loeser, *Motivic Igusa zeta functions*. J.Algebraic Geom., **7(1998)**, 505-537.

- [DL99] J. Denef, F.Loeser, *Definable sets, motives and p-adic integrals*, 1999, preprint.
- [DLS97] J. Denef, A.Laeremans, P.Sargos, *On the largest nontrivial pole of the distribution $|f|^s$* . RIMS Kokyuroku, **999(1997)**, 1-9.
- [DM91] J. Denef, D.Meuser, *A functional equation of Igusa's local zeta function*, **113(1991)**, 1135-1152.
- [DS89] J. Denef, P.Sargos, *Polyèdre de Newton et distribution f_+^s . I.* J.Anal.Math, 53(1989), 201-218.
- [DS92] J. Denef, P.Sargos, *Polyèdre de Newton et distribution f_+^s . II.* J.Anal.Math, 293(1992), 193-211.
- [DS99] J. Denef, S.Sperber, *Exponential sums mod p^n and Newton polyhedra..* Bull. Belg.Math. Soc-Simon Stevin, preprint 1999; se gaseste si pe <http://www.wis.kuleuven.ac.be/wis/algebra/denef.html>;
- [DV95] J. Denef, W.Veys, *On the holomorphy conjecture for Igusa's local zeta function.* Proc.Amer.Math.Soc., **123(10)(1995)**, 2981-2988.
- [EH] V.Ene, J.Herzog, *Gröbner Bases in Commutative Algebra*, Graduate Texts in Mathematics, **130**, Amer.Math.Soc, Providence, RI, 2011.
- [FGR94] R.Field, V.Gargeya, M.Robinson, F.Schoenberg, R.Scott, *The Igusa Local zeta function for $x^m + y^n$* . preprint, 1994.
- [Ful69] W.Fulton, *Algebraic Curves*, Mathematics Lecture Note Series. Benjamin, New-York-Amsterdam, 1969.

- [Gol83] J.R.Goldman, *Numbers of solutions of congruences: Poincaré series for strongly nondegenerate forms*, Proc.Amer.Math.Soc., 87(4)(1983), 586-590.
- [Gou97] F.Q.Gouvêa, *p-adic numbers. An introduction*, Springer Verlag, Berlin-Heidelberg-New York, 1997.
- [GR97] J.S.Grus, D.C.Reuman, *The Igusa local zeta function for Fermat hypersurfaces with exponent p^l* , preprint, 1997.
- [Gre65] N. Greenleaf, *Irreducible subvarieties and rational points*, Amer.J.Math., **87(1965)**, 25-31.
- [HH] J.Herzog, T.Hibi, *Monomial ideals*, Graduate Texts in Mathematics **260**, Springer, 2010;
- [Hi] H. Hironaka, *Resolution of singularities of an algebraic variety over a field of characteristic zero*, Ann.Math. **79 (1964)**, 109-326.
- [HL00] K.Hoornaert, D.Loots, *Polygusa: a computer program for Igusa's local zeta function*. <http://www.wis.kuleuven.ac.be/wis/algebra/kathleen.html>, 2000.
- [Hoo01] K.Hoornaert, *Newton Polyhedra and the poles of Igusa's local zeta function*. Bull.Belg.Math.Soc-Simon Stevin, 2001, preprint;
- [Hoo02a] K.Hoornaert, *Newton Polyhedra, unstable faces and the poles of Igusa's local zeta function*, Bull.Belg.Math.Soc-Simon Stevin, 2002, preprint;

- [Hoo02b] K.Hoornaert, *Newton Polyhedra and Igusa's local zeta function*. Teza de doctorat. <http://www.wis.kuleuven.ac.be/wis/algebra/kathleen.html>, 2002;
- [Iba98] D.Ibadula, *The Nonsingularity of the Gradient System Associated to a Finite Type Lie Algebra*, Analele stiintifice la Universitatii Ovidius Constanta, Seria Matematica VI Volume 6, Fasc.2, **1998**, 69-87.
- [Iba01] D.Ibadula, *Structura extinderilor moderat ramificate și aplicatii*, Analele stiintifice la Universitatii Ovidius Constanta, Seria Matematica VI Volume 9, Fasc.2, **2001**, 69-86.
- [Iba06] D.Ibadula, *On the Plane Cubics over \mathbb{Q}_p and the Associated Igusa Zeta Function*, Bulletin Mathematique Soc. Sci. Math. Roumanie, **Tome 49(97)**, Number **3/2006**, 253-277.
- [Iba] D.Ibadula, *The Arboreal Structure of the Metric Space $X := GL_2(\mathbb{Q}_p)/\mathbb{Q}_p^\times GL_2(\mathbb{Z}_p)$* , Communications in Algebra, Volume **34**, Number **12/2006**, 4563-4571.
- [Iba09] D.Ibadula, *On the rationality of Igusa zeta functions of some classes of polynomials*, Analele Universitatii din Bucuresti, Seria Matematica, Anul LVIII (2009), Number **2/2009**, 199-210.
- [Iba9] D.Ibadula, *The Igusa Zeta Functions of the $GL_2(\mathbb{Q}_p)$ -orbit of Fermat's Binary Form*, Combinatorial Aspects of Commutative Algebra, Contemporary Mathematics (CONM), AMS, vol **502 (2009)**, 59-72.

- [Iba12IS] D.Ibadula, Dirk Segers, *Determination of the real poles of the Igusa zeta functions for curves*, Revista Matematica Complutense, vol. **25**, no. 2, July 2012, 581-597.
- [Iba12] D.Ibadula, *Convex proofs of some inequalities*, The Mathematical Gazette, **11/2012**, 15-17.
- [Iba12ISC] D.Ibadula, Dirk Segers, Edwin Leon Cardenal, *Poles of the Igusa local zeta function of some hybrid polynomials*, preprint.
- [Iba12IB] D.Ibadula, Corina Birghilă, *Echelon Designs and Gröbner Bases*, preprint.
- [Igu74a] J.-I. Igusa, *Complex powers and asymptotic expansions I*. J.Reine Angew.Math.,268/269; 110-130, 1974, II, *ibid*, 278/279, 307-321, 1975.
- [Igu74b] J.-I. Igusa, *On a certain poisson formula*, Nagoya Math. J., **53:1974**, 211-233.
- [Ig1] J. Igusa, *On the first terms of certain asymptotic expansions*, Complex Analysis and Algebraic Geometry, Iwanami Shoten (**1977**), 357-368.
- [Igu78] J.-I. Igusa, *Lectures on Forms of Higher Degree*, volume 59 of Tata Institute Fund. Res. Lectures on Math. and Phys. Springer-Verlag, Heidelberg-New York-Berlin, 1978;
- [Ig2] J. Igusa, *Complex powers of irreducible algebroid curves*, Geometry today, Roma 1984, Progress in Math. **60**, Birkhäuser, **1985**, 207-230.

- [Igu94] J.-I. Igusa, *A stationary phase formula for p -adic integrals and its applications*, in "Algebraic geometry and its applications", Springer-Verlag, New York, 1994, 175-194.
- [Igu96] J.-I. Igusa, *On local zeta functions*, In Amer.Math.Soc.Transl., volume **172(2)(1996)**, 1-20.
- [Ig3] J. Igusa, *An Introduction to the Theory of Local Zeta Functions*, Amer. Math. Soc., Studies in Advanced Mathematics **14(2000)**.
- [Jol73] J.-R. Joly, *Équations et variétés algébriques sur un corps fini*, Enseignement Math.,2(1973), 1-117.
- [Kob77] N.Koblitz, *p -adic numbers, p -adic Analysis and Zeta-functions*, volumul **58**, Graduate Texts in Mathematics, 1977.
- [La] R.P. Langlands, *Orbital integrals on forms of $SL(3)$* , Amer. J. Math. **105(1983)**, 465-506.
- [Lin92] C.Y.Lin, *On the Igusa's Local Zeta Function of $x^a + y^b$* , in Algebraic geometry and algebraic number theory (Tianjin, 1989-1990), Nankai Ser.Pure Appl.Math Theoret. Phys, World Sci.Publishing, River Edge, NJ, **3 (1992)**, 64-70.
- [LM85] B.Lichtin, D.Meuser, *Poles of a local zeta function and Newton Polygons*, Compositio Math., **55(1985)**, 313-332.
- [Lo] F. Loeser, *Fonctions d'Igusa p -adiques et polynômes de Bernstein*, Amer. J. Math. **110(1988)**, 1-21.
- [Loe02] F.Loeser, *Arizona winter school lecture notes on p -adic and motivic integration*, preprint, 1998.

- [Mar95] R.Martin, *On simple Igusa local zeta functions*, Electr.Research Announc.of the Amer.Math.Soc., Vol.**1**,**1995**.
- [Me] D. Meuser, *On the Poles of a Local Zeta Function for Curves*, Invent. Math. **73(1983)**, 445-465.
- [MR02] D.Meuser, M.Robinson, *The Igusa local zeta function of elliptic curves*. Math.Comp, 2002.
- [MW03] B.Marko, A.H.Wiswell, *Igusa Local Zeta function of the cubic polynomial $f(x) = x_1^3 + \dots + x_n^3$* , preprint, 2003;
- [Neu99] J.Neukirch, *Algebraic Number Theory*. Translated from the German by Norbert Schappacher, Springer Verlag, Berlin-Heidelberg-New York, 1999;
- [PRW] G. Pistone, E. Riccomagno, H. Wynn, *Algebraic Statistics*, Computational Commutative Algebra in Statistics, Chapman & Hall, 2001.
- [PR84] A.Prestel, P.Roquette, *Formally p -adic Fields*. Springer Verlag, Berlin-Heidelberg-New York-Tokyo, 1984.
- [R] L. Robbiano, *Gröbner Bases and Statistics*, Gröbner Bases and Applications, London Mathematical Society Lecture Note Series **251(2001)**, Edited by Bruno Buchberger & Franz Winkler, Cambridge University Press, 179-204.
- [RR] L. Robbiano, M.P.Rogantin, *Full Factorial Designs and Distracted Fractions*, Gröbner Bases and Applications, London Mathematical Society Lecture Note Series 251(2001), Edited

by Bruno Buchberger & Franz Winkler, Cambridge University Press, 473-482.

- [Rup03] Christoper Rupprecht, *Cohomological Invariants for Higher Degree Forms*. Dissertation zur Erlangung des Doktorgrades, Universitaet Regensburg, 2003.
- [ST] P.J. Sally, M.H. Taibleson, *Special functions on locally compact fields*, Acta Math.**116(1966)**, 279-309.
- [Se1] D. Segers, *On the smallest poles of Igusa's p -adic zeta functions*, Math. Z. **252(2006)**, 429-455.
- [Se2] D. Segers, *The asymptotic behaviour of the number of solutions of polynomial congruences*, An. St. Univ. Ovidius Constanta, 2011.
- [Ser73] J.-P.Serre, *A course in arithmetic*. Springer Verlag, New York-Heidelberg-Berlin, 1973;
- [Ser80] J.-P.Serre, *Trees*. Springer Verlag, Berlin-Heidelberg-New York, 1980;
- [SG05] M.J.Saia, W.A.Zúñiga-Galindo, *Local zeta functions for curves, non-degeneracy conditions and Newton polygons*. Trans. Amer. Math. Soc. **357 (2005)**, no. 1, 59-88.
- [St] L. Strauss, *Poles of a two-variable p -adic complex power*, Trans. Amer. Math. Soc. **278(1983)**, 481-493.
- [Ve1] W. Veys, *On the poles of Igusa's local zeta function for curves*, J. London Math. Soc.**41(1990)**, 27-32.

- [Ve2] W. Veys, *Relations between numerical data of an embedded resolution*, Amer. J. Math. **113**(1991), 573-592.
- [Ve3] W. Veys, *Congruences for numerical data of an embedded resolution*, Compositio Math. **80**(1991), 151-169.
- [Ve4] W. Veys, *Poles of Igusa's local zeta function and monodromy*, Bull. Soc. Math. France **121**(1993), 545-598.
- [Ve2] W. Veys, *Determination of the poles of the topological zeta function for curves*, Manuscripta Math. **87**(1995), 435-448.
- [Ve6] W. Veys, *More congruences for numerical data of an embedded resolution*, Compositio Math. **112**(1998), 313-331.
- [We65] A. Weil, *Sur la formule de Siegel dans la théorie des groupes classiques*. Acta Math., **113** (1965), 1-87.
- [Zie95] G.M.Ziegler, *Lectures on Polytopes*, volume 152 of Graduate Texts in Mathematics. Springer-Verlag, Berlin, 1995.
- [Zn99] W.A.Zúñiga-Galindo, *Igusa's Local Zeta Functions of non-degenerated polynomials*, preprint, 1999.
- [Zn01] W.A.Zúñiga-Galindo, *Igusa's Local Zeta Functions of semiquasihomogeneous polynomials*. Trans.Amer.Math.Soc.,**353**(8)(2001), 3193-3207.
- [Zn03a] W.A.Zúñiga-Galindo, *Computing Igusa's Local Zeta Functions of univariate polynomials and linear feedback shift register*. J. Integer Seq. Vol **6**(2003).

- [Zn03b] W.A.Zúñiga-Galindo, *Local Zeta Functions and Newton polyhedra*. Nagoya Math.J., Vol **172** (2003), 31-58.
- [Zn04] W.A.Zúñiga-Galindo, *On the poles of Igusa's Local Zeta Function for algebraic sets*. Bull. London Math. Soc. **36** (2004), 310-320.
- [Zn05a] W.A.Zúñiga-Galindo, *Multiparametric exponential sums associated with semiquasi-homogeneous mappings*, Preprint 2005.
- [Zn05b] W.A.Zúñiga-Galindo, *Local Zeta Function for non-degenerate homogeneous mappings*. Pac. J. Math., no. 1(2005), 187-200.